

III. 机械磨损 IV. 无形磨损

- (A) I、II (B) II、III
 (C) I、IV (D) II、IV

118. 国外赠款、捐款建设的工程项目应符合下列哪项要求：

- (A) 必须委托国外监理单位承担建设监理业务
 (B) 必须委托中国监理单位承担建设监理业务
 (C) 一般由中国监理单位承担建设监理业务
 (D) 一般由国外监理单位和中国监理单位进行合作监理

第二节 基础考试手册样本

一、常用单位和基本物理常数

根据我国现行法定计量单位的要求，下列基本单位和辅助单位大都采用国际单位制（SI），少数是我国选定的非国际单位制的单位。

(一) 常用国际单位制（SI）单位

SI 基本单位

表 1-1

| 量的名称 | 量符号 | 单位名称 | 国际符号 | 量的名称 | 量符号 | 单位名称 | 国际符号 |
|------|---------|--------|------|-------|----------|-------|------|
| 长度 | l (L) | 米 | m | 热力学温度 | T | 开(尔文) | K |
| 质量 | m | 千克(公斤) | kg | 物质的量 | n | 摩(尔) | mol |
| 时间 | t | 秒 | s | 发光强度 | I (Iv) | 坎(德拉) | cd |
| 电流 | I | 安(培) | A | | | | |

SI 辅助单位

表 1-2

| 量的名称 | 量符号 | 单位名称 | 国际符号 | 量的名称 | 量符号 | 单位名称 | 国际符号 |
|------|---------------------------------|------|------|------|----------|------|------|
| 平面角 | $\alpha, \beta, \theta, \phi$ 等 | 弧度 | rad | 立体角 | Ω | 球面度 | sr |

SI 常用导出单位

表 1-3

| 量的名称 | 单位名称 | 单位符号 | 其他表示举例 | 量的名称 | 单位名称 | 单位符号 | 其他表示举例 |
|-----------|-------|------|------------------|-------------|--------|----------|---------------|
| 频率 | 赫(兹) | Hz | s^{-1} | 电阻 | 欧(姆) | Ω | V/A |
| 力、重力 | 牛(顿) | N | $kg \cdot m/s^2$ | 电导 | 西(门子) | S | A/V |
| 压力、压强、应力 | 帕(斯卡) | Pa | N/m^2 | 磁通量 | 韦(伯) | Wb | V·s |
| 能量、功、热量 | 焦(耳) | J | $N \cdot m$ | 磁通量密度、磁感应强度 | 特(特斯拉) | T | Wb/m^2 |
| 功率、辐射通量 | 瓦(特) | W | J/s | 电感 | 亨(利) | H | Wh/A |
| 电荷量 | 库(伦) | C | $A \cdot s$ | 摄氏温度 | 摄氏度 | °C | |
| 电位、电压、电动势 | 伏(特) | V | W/A | 光通量 | 流(明) | lm | $cd \cdot sr$ |
| 电容 | 法(拉) | F | C/V | 光强度 | 勒(克斯) | lx | lm/m^2 |

注：本章节中表的排列序号按基础考试手册。

用于构成十进倍数(含分数)单位的词头

表 1-4

| 表示的因数 | 词头名称 | 词头符号 | 表示的因数 | 词头名称 | 词头符号 |
|-----------|-------|------|------------|-------|-------|
| 10^{18} | 艾(可萨) | E | 10^{-1} | 分 | d |
| 10^{15} | 拍(它) | P | 10^{-2} | 厘 | c |
| 10^{12} | 太(拉) | T | 10^{-3} | 毫 | m |
| 10^9 | 吉(伽) | G | 10^{-6} | 微 | μ |
| 10^6 | 兆 | M | 10^{-9} | 纳(诺) | n |
| 10^3 | 千 | K | 10^{-12} | 皮(可) | p |
| 10^2 | 百 | h | 10^{-15} | 飞(母托) | f |
| 10^1 | 十 | da | 10^{-18} | 阿(托) | a |

(二) 非国际单位制单位及换算关系

我国选定的非国际单位制的一些单位

表 1-5

| 单位名称 | 单位名称 | 单位符号 | 换算关系 |
|------|------|--------|----------------------------|
| 长度 | 海里 | n mile | $1n\ mile = 1852m$ (只用于航程) |
| 质量 | 吨 | t | $1t = 10^3kg$ |
| 体积 | 升 | L (l) | $1L = 1dm^3 = 10^{-3}m^3$ |
| 平面角 | (角)秒 | (") | $1'' = (\pi/648000) rad$ |
| | (角)分 | (') | $1' = (\pi/10800) rad$ |
| | 度 | (°) | $1^\circ = (\pi/180) rad$ |

(三) 基本物理常数

基本物理常数

表 1-6

| 量 | 符 号 | 数 值 |
|-----------|---|--|
| 圆周率 | π | 3.1415927 |
| 自然对数的底 | e | 2.7182818 |
| 真空电容率 | ϵ_0 | $8.854187818 \pm 0.000000071) \times 10^{-12} C^2 \cdot N^{-1} \cdot m^{-2}$ |
| 真空磁导率 | μ_0 | $4\pi \times 10^{-7} H/m = 12.5663706144 \times 10^{-7} H/m$ |
| 真空中光速 | c | $(2.99792458 \pm 0.000000012) \times 10^8 m/s$ |
| 基本电荷(元电荷) | e | $(1.6021892 \pm 0.0000046) \times 10^{-19} C$ |
| 普朗克常数 | h | $(6.626176 \pm 0.000036) \times 10^{-34} J \cdot s$ |
| 阿伏加德罗常数 | N_A 、L | $(6.022045 \pm 0.000031) \times 10^{23} mol^{-1}$ |
| 原子质量单位 | $\mu = 10^{-3} Kg \cdot mol^{-1} / N_A$ | $(1.6605655 \pm 0.0000086) \times 10^{-27} kg$ |
| 法拉第常数 | $F = N_A \cdot e$ | $(9.648456 \pm 0.000027) \times 10^4 C/mol$ |
| 里德伯常数 | $R_\infty = \mu_0 m_e e^4 c^3 / 8\hbar^3$ | $(1.097373177 \pm 0.000000083) \times 10^7 m^{-1}$ |
| 摩尔气体常数 | R | $(8.31441 \pm 0.00026) J/mol \cdot K$ |
| 标准温标零度 | T_0 | 273.15K |
| 标准大气压 | P_0 | $1.01325 \times 10^5 Pa$ |

续表

| 量 | 符 号 | 数 值 |
|------------|------------------|--|
| 理想气体标准摩尔体积 | $V_0 = RT_0/P_0$ | $(2.241383 \pm 0.000070) \times 10^{-2} \text{ m}^3/\text{mol}$ |
| 理想气体标准数密度 | n_0 | $(2.6870 \pm 0.0003) \times 10^{25} \text{ m}^{-3}$ |
| 玻尔兹曼常数 | $K = R/N_A$ | $(1.380662 \pm 0.000044) \times 10^{-23} \text{ J/K}$ |
| 引力常数 | G | $(6.6720 \pm 0.0027) \times 10^{-11} \text{ m}^3 \text{ kg}^{-1} \text{ m}^{-2}$ |
| 标准自由落体加速度 | g_s | 9.80665 m/s^2 |
| 电子伏特 | eV | $(1.6021892 \pm 0.0000046) \times 10^{-19} \text{ J}$ |
| 电子半径 | r_e | $(2.8179380 \pm 0.0000070) \times 10^{-15} \text{ m}$ |

二、数学

(一) 代数公式

1. 乘法及因式分解公式

(1) $(a \pm b)^2 = a^2 \pm 2ab + b^2$

(2) $(a \pm b)^3 = a^3 \pm 3a^2b + 3ab^2 \pm b^3$

(3) $a^2 - b^2 = (a - b)(a + b)$

(4) $a^3 \pm b^3 = (a \pm b)(a^2 \mp ab + b^2)$

2. 二次方程 $ax^2 + bx + c = 0$

根 $x_{1,2} = \frac{-b \pm \sqrt{b^2 - 4ac}}{2a}$

判定式 $b^2 - 4ac \begin{cases} > 0 & \text{二不等实根} \\ = 0 & \text{相等实根} \\ < 0 & \text{一对共轭复根} \end{cases}$

3. 对数

若 $x = a^y$ ($a > 0, a \neq 1$), 则 $y = \log_a x$.

(1) 对数恒等式 $a^{\log_a M} = M$

(2) $\log_a a = 1, \log_a 1 = 0$

(3) $\log_a xy = \log_a x + \log_a y$

(4) $\log_a \frac{x}{y} = \log_a x - \log_a y$

(5) $\log_a x^a = a \log_a x$

(6) $\log_a b \cdot \log_b a = 1$

(7) 换底公式 $\log_a y = \frac{\log_b y}{\log_b a}$

常用对数 $\log_{10} x$ 记为 $\lg x$, 自然对数 $\log_e x$ 记为 $\ln x$, 其中 $e = 2.71828 \dots$, $\lg x = 0.4343 \cdot \ln x$, $\ln x = 2.3026 \lg x$.

4. 绝对值不等式

(1) $|A + B| \leq |A| + |B|$

(2) $|A - B| \geq |A| - |B|$

(3) $-|A| \leq A \leq |A|$

(4) $\sqrt{A^2} = |A|$

(5) $|AB| = |A||B|, \left| \frac{A}{B} \right| = \frac{|A|}{|B|}$

(6) $|A| \leq B$ ($B > 0$), 则 $-B \leq A \leq B$

(二) 初等几何

1. 三角形面积 = $\frac{1}{2}$ 底边 \times 高

2. 矩形面积 = 长 \times 宽

3. 圆面积 = $\frac{1}{4} \pi D^2 = \pi R^2$ 圆周长 = $\pi D = 2\pi R$

$$\text{圆扇形面积} = \frac{1}{2} R^2 \theta \quad \text{圆弧长} = R\theta$$

(其中 D 是圆直径, R 是半径, θ 是弧对的圆心角 (以弧度计))

4. 圆柱侧面积 = $2\pi RH$, 圆柱全面积 = $2\pi R(H + R)$

圆柱体积 = $\pi R^2 H$ (其中 R 为底半径, H 为柱高)

5. 圆锥侧面积 = πRL ($l = \sqrt{R^2 + H^2}$)

圆锥全面积 = $\pi R(l + R)$, 圆锥体积 = $\frac{1}{3}\pi R^2 H$ (其中 R 为底半径, H 为圆锥高)

6. 球全面积 = $4\pi R^2 = \pi D^2$, 球体积 = $\frac{4}{3}\pi R^3 = \frac{1}{6}\pi D^3$

(其中 R 为球半径, D 为球直径)

(三) 平面三角

1. 度与弧度的换算

$$\frac{\alpha}{\pi} = \frac{\theta}{180} \quad (\theta \text{ 与 } \alpha \text{ 分别表示同一角的度数与弧度数})$$

$180^\circ = \pi$ 弧度, 1 弧度 = $57^\circ 17' 44''$, $1^\circ = 0.017\ 453\ 29$ 弧度

2. 特殊角三角函数值

表 2-1

| α | 0 | $\frac{\pi}{6}$ | $\frac{\pi}{4}$ | $\frac{\pi}{3}$ | $\frac{\pi}{2}$ |
|--------------|---|----------------------|----------------------|----------------------|-----------------|
| $\sin\alpha$ | 0 | $\frac{1}{2}$ | $\frac{\sqrt{2}}{2}$ | $\frac{\sqrt{3}}{2}$ | 1 |
| $\cos\alpha$ | 1 | $\frac{\sqrt{3}}{2}$ | $\frac{\sqrt{2}}{2}$ | $\frac{1}{2}$ | 0 |
| $\tan\alpha$ | 0 | $\frac{\sqrt{3}}{3}$ | 1 | $\sqrt{3}$ | ∞ |

3. 诱导公式

表 2-2

| 角 函数 | $-\alpha$ | $\frac{\pi}{2} \pm \alpha$ | $\pi \pm \alpha$ | $\frac{3}{2}\pi \pm \alpha$ | $2\pi \pm \alpha$ | $n\pi \pm \alpha$ |
|---------|---------------|----------------------------|------------------|-----------------------------|-------------------|-------------------------|
| sin | $-\sin\alpha$ | $\cos\alpha$ | $\mp \sin\alpha$ | $-\cos\alpha$ | $\pm \sin\alpha$ | $\pm (-1)^n \sin\alpha$ |
| cos | $\cos\alpha$ | $\mp \sin\alpha$ | $-\cos\alpha$ | $\pm \sin\alpha$ | $\cos\alpha$ | $(-1)^n \cos\alpha$ |
| tg | $-\tan\alpha$ | $\mp \cot\alpha$ | $\pm \tan\alpha$ | $\mp \cot\alpha$ | $\pm \tan\alpha$ | $\pm \tan\alpha$ |

4. 基本关系公式

$$\sin\alpha \cdot \csc\alpha = 1, \quad \sin^2\alpha + \cos^2\alpha = 1, \quad \tan\alpha = \frac{\sin\alpha}{\cos\alpha}$$

$$\cos\alpha \cdot \sec\alpha = 1, \quad \sec^2\alpha - \tan^2\alpha = 1, \quad \cot\alpha = \frac{\cos\alpha}{\sin\alpha}$$

$$\tan\alpha \cdot \cot\alpha = 1, \quad \csc^2\alpha - \cot^2\alpha = 1,$$

$$\sin 2\alpha = 2\sin\alpha \cos\alpha, \quad \cos 2\alpha = \cos^2\alpha - \sin^2\alpha = 2\cos^2\alpha - 1 = 1 - 2\sin^2\alpha$$

$$\tan 2\alpha = \frac{2\tan\alpha}{1 - \tan^2\alpha}, \quad \sin^2\alpha = \frac{1}{2}(1 - \cos 2\alpha), \quad \cos^2\alpha = \frac{1}{2}(1 + \cos 2\alpha)$$

(四) 平面解析几何

1. 两点距离、中点公式

设两点 $M_1(x_1, y_1)$, $M_2(x_2, y_2)$,

$$|M_1M_2| = \sqrt{(x_2 - x_1)^2 + (y_2 - y_1)^2}$$

线段 M_1M_2 中点 $M(x, y)$ 的坐标: $x = \frac{1}{2}(x_1 + x_2)$, $y = \frac{1}{2}(y_1 + y_2)$

2. 直线方程

(1) 一般式 $Ax + By + C = 0$

(2) 斜截式 $y = kx + b$, (k 为直线斜率, b 为纵截距)

(3) 点斜式 $y - y_0 = k(x - x_0)$, (直线通过点 (x_0, y_0) , 斜率 k)

(4) 截距式 $\frac{x}{a} + \frac{y}{b} = 1$ ($a \neq 0, b \neq 0$), (a, b 分别是在 x, y 轴上的截距)

(5) 两点式 $\frac{y - y_1}{y_2 - y_1} = \frac{x - x_1}{x_2 - x_1}$, (直线过 (x_1, y_1) , (x_2, y_2) 两点)

3. 点 (x_0, y_0) 到直线 $Ax + By + C = 0$ 的距离

$$d = \frac{|Ax_0 + By_0 + C|}{\sqrt{A^2 + B^2}}$$

4. 二直线的相互关系

直线 $L_1: A_1x + B_1y + C_1 = 0$ (斜率 $k_1 = -\frac{A_1}{B_1}$, 纵截距 $b_1 = -\frac{C_1}{B_1}$)

直线 $L_2: A_2x + B_2y + C_2 = 0$ (斜率 $k_2 = -\frac{A_2}{B_2}$, 纵截距 $b_2 = -\frac{C_2}{B_2}$)

$L_1 \parallel L_2 \Leftrightarrow k_1 = k_2, b_1 \neq b_2$, 或 $\frac{A_1}{A_2} = \frac{B_1}{B_2} \neq \frac{C_1}{C_2}$ (符号 “ \Leftrightarrow ” 表示等价)

$L_1 \perp L_2 \Leftrightarrow k_1 = -\frac{1}{k_2}$, 或 $A_1A_2 + B_1B_2 = 0$

5. 常见二次曲线方程及其图形

(1) $(x - a)^2 + (y - b)^2 = R^2$ ——圆心在 (a, b) , 半径为 R 的圆

(2) $\frac{x^2}{a^2} + \frac{y^2}{b^2} = 1$ ($a > b > 0$) ——长轴为 $2a$, 短轴为 $2b$ 的椭圆

(3) $\frac{x^2}{a^2} - \frac{y^2}{b^2} = 1$ ——双曲线, 实轴 $= 2a$, 虚轴 $= 2b$, 渐近线为 $y = \pm \frac{b}{a}x$

(4) $xy = k$ ——以 x, y 轴为渐近线的双曲线, $k > 0$ 时, 图形在一、三象限, $k < 0$ 时, 图形在二、四象限

(5) 抛物线方程 ($p > 0$)

$y^2 = 2Px$ (开口向右) $y^2 = -2Px$ (开口向左)

$x^2 = 2Py$ (开口向上) $x^2 = -2Py$ (开口向下)

(五) 向量代数

1. 向量的坐标表示

$$\mathbf{a} = a_x \mathbf{i} + a_y \mathbf{j} + a_z \mathbf{k} = \{a_x, a_y, a_z\}$$

$$\text{模 } |\mathbf{a}| = \sqrt{a_x^2 + a_y^2 + a_z^2}, \text{ 单位向量 } \mathbf{a}^0 = \frac{\mathbf{a}}{|\mathbf{a}|}$$

方向余弦 $\cos\alpha = \frac{a_x}{|\mathbf{a}|}$, $\cos\beta = \frac{a_y}{|\mathbf{a}|}$, $\cos\gamma = \frac{a_z}{|\mathbf{a}|}$

起点为 $A(x_1, y_1, z_1)$, 终点为 $B(x_2, y_2, z_2)$ 的向量 \overrightarrow{AB} 表示为

$$\overrightarrow{AB} = (x_2 - x_1) \mathbf{i} + (y_2 - y_1) \mathbf{j} + (z_2 - z_1) \mathbf{k} = \{x_2 - x_1, y_2 - y_1, z_2 - z_1\}$$

2. 向量运算

设 $\mathbf{a} = \{a_1, a_2, a_3\}$, $\mathbf{b} = \{b_1, b_2, b_3\}$, $\mathbf{c} = \{c_1, c_2, c_3\}$

$$(1) \mathbf{a} \pm \mathbf{b} = \{a_1 \pm b_1, a_2 \pm b_2, a_3 \pm b_3\}, \lambda\mathbf{a} = \{\lambda a_1, \lambda a_2, \lambda a_3\}$$

$$(2) \mathbf{a} \cdot \mathbf{b} = |\mathbf{a}| |\mathbf{b}| \cos(\hat{\mathbf{a}}\hat{\mathbf{b}}), \mathbf{a} \cdot \mathbf{b} = \mathbf{b} \cdot \mathbf{a}, \mathbf{a} \cdot \mathbf{a} = |\mathbf{a}|^2$$

(3) $\mathbf{a} \times \mathbf{b}$ 是一个向量, 其模 $|\mathbf{a} \times \mathbf{b}| = |\mathbf{a}| |\mathbf{b}| \sin(\hat{\mathbf{a}}\hat{\mathbf{b}})$, 其方向垂直于 \mathbf{a} 、 \mathbf{b} 所决定的平面, 并且 \mathbf{a} 、 \mathbf{b} 、 $\mathbf{a} \times \mathbf{b}$ 构成右手系

$$\mathbf{a} \times \mathbf{b} = \begin{vmatrix} \mathbf{i} & \mathbf{j} & \mathbf{k} \\ a_1 & a_2 & a_3 \\ b_1 & b_2 & b_3 \end{vmatrix} = \begin{vmatrix} a_2 & a_3 \\ b_2 & b_3 \end{vmatrix} \mathbf{i} + \begin{vmatrix} a_3 & a_1 \\ b_3 & b_1 \end{vmatrix} \mathbf{j} + \begin{vmatrix} a_1 & a_2 \\ b_1 & b_2 \end{vmatrix} \mathbf{k}$$

$$\mathbf{a} \times \mathbf{b} = -\mathbf{b} \times \mathbf{a}$$

$$(4) (\mathbf{a} \times \mathbf{b}) \cdot \mathbf{c} = \begin{vmatrix} a_1 & a_2 & a_3 \\ b_1 & b_2 & b_3 \\ c_1 & c_2 & c_3 \end{vmatrix}, (\mathbf{a} \times \mathbf{b}) \cdot \mathbf{c} = \mathbf{a} \cdot (\mathbf{b} \times \mathbf{c})$$

3. 向量垂直、平行条件

设 $\mathbf{a} = \{a_1, a_2, a_3\}$, $\mathbf{b} = \{b_1, b_2, b_3\}$, \mathbf{a} , \mathbf{b} 为非零向量

$$\mathbf{a} \perp \mathbf{b} \Leftrightarrow \mathbf{a} \cdot \mathbf{b} = 0 \Leftrightarrow a_1 b_1 + a_2 b_2 + a_3 b_3 = 0$$

$$\mathbf{a} \parallel \mathbf{b} \Leftrightarrow \mathbf{a} \times \mathbf{b} = 0 \Leftrightarrow \frac{a_1}{b_1} = \frac{a_2}{b_2} = \frac{a_3}{b_3}$$

(六) 空间解析几何

1. 两点距离, 中心公式

设两点 $M_1(x_1, y_1, z_1)$, $M_2(x_2, y_2, z_2)$

$$|M_1 M_2| = \sqrt{(x_2 - x_1)^2 + (y_2 - y_1)^2 + (z_2 - z_1)^2}$$

线段 $M_1 M_2$ 中点 $M(x, y)$ 坐标: $x = \frac{x_1 + x_2}{2}$, $y = \frac{y_1 + y_2}{2}$, $z = \frac{z_1 + z_2}{2}$

2. 平面方程

(1) 一般式 $Ax + By + Cz + D = 0$, 法线向量 $\mathbf{n} = \{A, B, C\}$

(2) 点法式 $A(x - x_0) + B(y - y_0) + C(z - z_0) = 0$, 过点 (x_0, y_0, z_0) , 法向量 $\mathbf{n} = \{A, B, C\}$

(3) 截距式 $\frac{x}{a} + \frac{y}{b} + \frac{z}{c} = 1$, a, b, c 分别是平面在 x, y, z 轴上的截距

3. 直线方程

(1) 对称式 $\frac{x - x_0}{m} = \frac{y - y_0}{n} = \frac{z - z_0}{p}$, 直线过点 (x_0, y_0, z_0) , 方向向量 $s = \{m, n, p\}$

(2) 一般式 $\begin{cases} A_1x + B_1y + C_1z + D_1 = 0 \\ A_2x + B_2y + C_2z + D_2 = 0 \end{cases}$, 方向向量 $s = \{A_1, B_1, C_1\} \times \{A_2, B_2, C_2\}$

$C_2\}$

(3) 参数式 $\begin{cases} x = x_0 + mt \\ y = y_0 + nt \\ z = z_0 + pt \end{cases}$ 直线过点 (x_0, y_0, z_0) , 方向向量 $s = \{m, n, p\}$

4. 直线、平面之间的关系

设平面 I: $A_1x + B_1y + C_1z + D_1 = 0$; 平面 II: $A_2x + B_2y + C_2z + D_2 = 0$

直线 L_1 : $\frac{x - x_1}{m_1} = \frac{y - y_1}{n_1} = \frac{z - z_1}{p_1}$; 直线 L_2 : $\frac{x - x_2}{m_2} = \frac{y - y_2}{n_2} = \frac{z - z_2}{p_2}$

(1) 平行条件

平面 I \parallel 平面 II: $n_1 \parallel n_2$

直线 $L_1 \parallel$ 直线 L_2 : $s_1 \parallel s_2$

直线 $L_1 \parallel$ 平面 I: $s_1 \perp n_1$

(2) 垂直条件

平面 I \perp 平面 II: $n_1 \perp n_2$

直线 $L_1 \perp$ 直线 L_2 : $s_1 \perp s_2$

直线 $L_1 \perp$ 平面 I: $s_1 \parallel n_1$

5. 常用曲面及其方程

球面 $(x - a)^2 + (y - b)^2 + (z - c)^2 = R^2$ (球心 (a, b, c) 半径 R)

椭球面 $\frac{x^2}{a^2} + \frac{y^2}{b^2} + \frac{z^2}{c^2} = 1$ (a, b, c 为半轴)

母线平行于 z 轴的椭圆柱面 $\frac{x^2}{a^2} + \frac{y^2}{b^2} = 1$

母线平行 z 轴的圆柱面 $x^2 + y^2 = R^2$

圆锥面 $z^2 = a^2(x^2 + y^2)$

椭圆抛物面 $z = \frac{x^2}{2p} + \frac{y^2}{2q}$ (p, q 同号)

(七) 一元函数微分学

1. 极限

(1) 极限运算

$$\lim k u = k \lim u \quad (k \text{ 为常数})$$

$$\lim (u + v) = \lim u + \lim v$$

$$\lim (v u) = \lim u \cdot \lim v$$

$$\lim \frac{u}{v} = \frac{\lim u}{\lim v} = \quad (\lim v \neq 0)$$

(2) 几个极限

$$\lim_{x \rightarrow 0} \frac{\sin x}{x} = 1$$

$$\lim_{x \rightarrow 0} \frac{1 - \cos x}{x^2} = \frac{1}{2}$$

$$\lim_{x \rightarrow 0} \left(1 + \frac{1}{x}\right)^x = e$$

$$\lim_{x \rightarrow 0} (1 + x)^{\frac{1}{x}} = e$$

$$\lim_{x \rightarrow 0} \left(1 + \frac{k}{x}\right)^x = e^k$$

$$\lim_{x \rightarrow 0} \frac{\ln(1 + x)}{x} = 1$$

2. 连续

设 $y = f(x)$, 若 $\lim_{x \rightarrow x_0} f(x) = f(x_0)$ (或 $\lim_{\Delta x \rightarrow 0} \Delta y = \lim_{\Delta x \rightarrow 0} |f(x_0 + \Delta x) - f(x_0)| = 0$), 则说 $f(x)$ 在 x_0 点连续。

连续函数性质: 设 $f(x)$ 在 $[a, b]$ 上连续,

(1) 在 $[a, b]$ 上至少有一点 x_1 , $f(x_1)$ 为最大(或最小)值;

(2) 若 $f(a) \cdot f(b) < 0$, 则在 (a, b) 内至少有一点 ξ , $f(\xi) = 0$.

3. 导数与微分

(1) $y = f(x)$ 在点 x_0 处的导数 $f'(x_0) = \lim_{\Delta x \rightarrow 0} \frac{f(x_0 + \Delta x) - f(x_0)}{\Delta x}$, 或 $f'(x_0) = \lim_{x \rightarrow x_0} \frac{f(x) - f(x_0)}{x - x_0}$, 亦记为 $y' \Big|_{x=x_0}$, $\frac{dy}{dx} \Big|_{x=x_0}$, 并称 $dy = f'(x) dx$ 为微分。

(2) 微分法则

$$\textcircled{1} (cu)' = cu' \quad d(cu) = cdu \quad (c \text{ 为常数})$$

$$\textcircled{2} (u + v)' = u' \pm v' \quad d(u \pm v) = du \pm dv$$

$$\textcircled{3} (u \cdot v)' = u'v + uv' \quad d(u \cdot v) = vdu + udv$$

$$\textcircled{4} \left(\frac{u}{v} \right)' = \frac{vu' - uv'}{v^2} \quad d\left(\frac{u}{v} \right) = \frac{vdu - udv}{v^2}$$

⑤若 $y = f(u)$, $u = \varphi(x)$, 则

$$y' = f'(u) \varphi'(x) \text{ 或 } \frac{dy}{dx} = \frac{dy}{du} \cdot \frac{du}{dx}$$

⑥若 $y = f(x)$ 为 $x = \varphi(y)$ 的反函数, 则 $\frac{dy}{dx} = \frac{1}{\frac{dx}{dy}} \left(\text{当 } \frac{dx}{dy} \neq 0 \right)$

⑦参数方程: $\begin{cases} x = \varphi(t) \\ y = \psi(t) \end{cases}$, 则 $\frac{dy}{dx} = \frac{\psi'(t)}{\varphi'(t)}$ 或 $\frac{dy}{dx} = \frac{dy/dt}{dx/dt}$ (当 $dx/dt \neq 0$)

(3) 导数公式

$$\textcircled{1} (c)' = 0 \quad \textcircled{2} (x^\mu)' = \mu x^{\mu-1}$$

$$\textcircled{3} (\sin x)' = \cos x \quad \textcircled{4} (\cos x)' = -\sin x$$

$$\textcircled{5} (\operatorname{tg} x)' = \sec^2 x, \quad \textcircled{6} (\operatorname{ctg} x)' = -\operatorname{csc}^2 x$$

$$\textcircled{7} (\operatorname{sec} x)' = \operatorname{sec} x \operatorname{tg} x, \quad \textcircled{8} (\operatorname{csc} x)' = -\operatorname{csc} x \operatorname{ctg} x$$

$$\textcircled{9} (a^x)' = a^x \ln a, \quad \textcircled{10} (e^x)' = e^x$$

$$\textcircled{11} (\log_a x)' = \frac{1}{x \ln a} \quad \textcircled{12} (\ln x)' = \frac{1}{x}$$

$$\textcircled{13} (\arcsin x)' = \frac{1}{\sqrt{1-x^2}} \quad \textcircled{14} (\arccos x)' = -\frac{1}{\sqrt{1-x^2}}$$

$$\textcircled{15} (\operatorname{arc} \operatorname{tg} x)' = \frac{1}{1+x^2} \quad \textcircled{16} (\operatorname{arc} \operatorname{ctg} x)' = -\frac{1}{1+x^2}$$

4. 微分学基本定理

(1) 罗尔定理 若 $f(x)$ 在 $[a, b]$ 上连续, 在 (a, b) 内可导, 且 $f(a) = f(b)$, 则在 (a, b) 内至少有一点 ξ , 使 $f'(\xi) = 0$.

(2) 拉格朗日中值定理 若 $f(x)$ 在 $[a, b]$ 上连续, 在 (a, b) 内可导, 则在

(a, b) 内至少有一点 ξ , 使 $f(b) - f(a) = f'(\xi)(b-a)$ 。

5. 导数的应用

(1) 函数的增减性 设 $f(x)$ 在 $[a, b]$ 上连续, 在 (a, b) 内可导, 若 $f'(x) > 0$, 则 $f(x)$ 在 $[a, b]$ 上单调增加; 若 $f'(x) < 0$, 则 $f(x)$ 在 $[a, b]$ 上单调减少。

(2) 函数的极值判别法

①若 $f'(x_0) = 0$ (或 ∞), 且在 x_0 邻近, 当 $x < x_0$ 时, $f'(x) > 0$ ($f'(x) < 0$), 当 $x > x_0$ 时, $f'(x) < 0$ ($f'(x) > 0$), 则 $f(x_0)$ 为极大值 (极小值)。

②若 $f'(x_0) = 0$ 且 $f''(x_0) \neq 0$, 则当 $f''(x_0) < 0$ 时, $f(x_0)$ 为极大值; 当 $f''(x_0) > 0$ 时, $f(x_0)$ 为极小值。

(3) 曲线的凹凸与拐点

若 $f''(x) > 0$, 曲线 (向上) 凹; 若 $f''(x) < 0$, 曲线 (向上) 凸; 若 $f''(x_0) = 0$, 且 x 漫增通过 x_0 时, $f''(x)$ 变号, 则 $(x_0, f(x_0))$ 为拐点。

(4) 曲线 $y=f(x)$ 在点 (x_0, y_0) 处

$$\text{切线方程: } y - y_0 = f'(x_0)(x - x_0) \quad \text{法线方程: } y - y_0 = -\frac{1}{f'(x_0)}(x - x_0)$$

(5) 罗必塔法则

若 $\lim f(x) = \lim g(x) = 0$ 或 ∞ , 而 $\lim \frac{f(x)}{g(x)}$ 存在 (或 ∞), 则

$$\lim \frac{f(x)}{g(x)} = \lim \frac{f'(x)}{g'(x)}$$

上式左端分别称为 $\frac{0}{0}$ 型, $\frac{\infty}{\infty}$ 型未定式, 至于 $0 \cdot \infty$, ∞ , $-\infty$, 0^0 , 1^∞ , ∞^0 型未定式的极

限可化作 $\frac{0}{0}$ 或 $\frac{\infty}{\infty}$ 型用上述方法求之。

(八) 一元函数积分学

1. 原函数与不定积分

如果在区间 I 内有 $F'(x) = f(x)$, 则称 $F(x)$ 为 $f(x)$ 的原函数, 称 $f(x)$ 的全体原函数 $F(x) + C$ (C 为常数) 为 $f(x)$ 的不定积分, 记为 $\int f(x) dx$, 即

$$\int f(x) dx = F(x) + C$$

2. 不定积分法则

$$(1) \int [f(x) \pm g(x)] dx = \int f(x) dx \pm \int g(x) dx$$

$$(2) \int kf(x) dx = k \int f(x) dx (k \text{ 为常数})$$

$$(3) \int uv' dx = uv - \int vu' dx \text{ 或 } \int u dv = uv - \int v du$$

$$(4) \int f'[\varphi(x)] d[\varphi(x)] = f[\varphi(x)] + C$$

$$(5) \int f(x) dx = \int f[\varphi(t)] \varphi'(t) dt$$

被积函数含 $\sqrt{a^2 - x^2}$ 时, 可设 $x = a \sin t$ 或 $x = a \cos t$

被积函数含 $\sqrt{a^2 + x^2}$ 时, 可设 $x = a \operatorname{tg} t$

被积函数含 $\sqrt{x^2 - a^2}$ 时, 可设 $x = a \sec t$

3. 基本积分公式

$$(1) \int k dx = kx + C \quad (k \text{ 是常数})$$

$$(3) \int \frac{dx}{x} = \ln|x| + C$$

$$(5) \int \frac{dx}{x^2 - a^2} = \frac{1}{2a} \ln \frac{x-a}{x+a} + C$$

$$(7) \int \frac{dx}{\sqrt{a^2 - x^2}} = \arcsin \frac{x}{a} + C$$

$$(9) \int \sqrt{a^2 - x^2} dx = \frac{x}{2} \sqrt{a^2 - x^2} + \frac{a^2}{2} \arcsin \frac{x}{a} + C$$

$$(10) \int \sqrt{x^2 \pm a^2} dx = \frac{x}{2} \sqrt{x^2 \pm a^2} \pm \frac{a^2}{2} \ln(x + \sqrt{x^2 \pm a^2}) + C$$

$$(11) \int e^x dx = e^x + C$$

$$(13) \int \sin x dx = -\cos x + C$$

$$(15) \int \operatorname{tg} x dx = -\ln \cos x + C$$

$$(17) \int \frac{dx}{\cos^2 x} = \operatorname{tg} x + C$$

$$(19) \int \frac{dx}{\cos x} = \ln \operatorname{tg} \left(\frac{x}{2} + \frac{\pi}{4} \right) + C$$

$$(21) \int \sin^2 x dx = \frac{1}{2}x - \frac{1}{4}\sin 2x + C$$

$$(2) \int x^\mu dx = \frac{x^{\mu+1}}{\mu+1} + C \quad (\mu \neq -1)$$

$$(4) \int \frac{dx}{a^2 + x^2} = \frac{1}{a} \operatorname{arc tg} \frac{x}{a} + C$$

$$(6) \int \frac{dx}{(x+a)(x+b)} = \frac{1}{b-a} \ln \frac{x+a}{x+b} + C$$

$$(8) \int \frac{dx}{\sqrt{x^2 \pm a^2}} = \ln(x + \sqrt{x^2 \pm a^2}) + C$$

$$(10) \int \operatorname{tg} x dx = \frac{a^x}{\ln a} + C$$

$$(12) \int a^x dx = \frac{a^x}{\ln a} + C$$

$$(14) \int \cos x dx = \sin x + C$$

$$(16) \int \operatorname{ctg} x dx = \ln \sin x + C$$

$$(18) \int \frac{dx}{\sin^2 x} = -\operatorname{ctg} x + C$$

$$(20) \int \frac{dx}{\sin x} = \ln \operatorname{tg} \frac{x}{2} + C$$

$$(22) \int \cos^2 x dx = \frac{1}{2}x + \frac{1}{4}\sin 2x + C$$

4. 定积分性质

$$(1) \int_a^b f(x) dx = - \int_b^a f(x) dx$$

$$(2) \int_a^a f(x) dx = 0$$

$$(3) \int_a^b f(x) dx = \int_a^c f(x) dx + \int_c^b f(x) dx$$

$$(4) \int_a^b [\alpha f(x) + \beta g(x)] dx = \alpha \int_a^b f(x) dx + \beta \int_a^b g(x) dx$$

$$(5) \text{当 } g(x) \leq f(x), a < b \text{ 时, } \int_a^b g(x) dx \leq \int_a^b f(x) dx$$

$$(6) \text{若 } m \leq f(x) \leq M, a < b, \text{ 则 } m(b-a) \leq \int_a^b f(x) dx \leq M(b-a)$$

$$(7) \left| \int_a^b f(x) dx \right| \leq \int_a^b |f(x)| dx \quad (a < b)$$

$$(8) \text{设 } f(x) \text{ 在 } [a, b] \text{ 上连续, 则在 } [a, b] \text{ 上至少有一点 } \xi, \text{ 使 } \int_a^b f(x) dx = f(\xi)(b-a).$$

5. 定积分计算法则

(1) 若 $F(x)$ 是 $f(x)$ 的一个原函数, 则有

$$\int_a^b f(x) dx = F(b) - F(a) = F(x) \Big|_a^b$$

$$(2) \int_a^b f[\varphi(x)]\varphi'(x)dx = \int_a^b f[\varphi(x)]d\varphi(x)$$

$$(3) \int_a^b f(x)dx = \int_a^\beta f[\varphi(t)]\varphi'(t)dt, \text{ 其中 } \varphi(\alpha) = a, \varphi(\beta) = b, x = \varphi(t) \text{ 单值有连续}$$

导数

$$(4) \text{若 } f(x) \text{ 为偶函数, 则 } \int_{-a}^a f(x)dx = 2 \int_0^a f(x)dx$$

$$\text{若 } f(x) \text{ 为奇函数, 则 } \int_{-a}^a f(x)dx = 0$$

$$(5) \int_0^{\frac{\pi}{2}} \sin^n x dx = \int_0^{\frac{\pi}{2}} \cos^n x dx = \begin{cases} \frac{n-1}{n} \cdot \frac{n-3}{n-2} \cdots \frac{4}{5} \cdot \frac{2}{3} & (n \text{ 为大于 1 的奇数}) \\ \frac{n-1}{n} \cdot \frac{n-3}{n-2} \cdots \frac{3}{4} \cdot \frac{1}{2} \cdot \frac{\pi}{2} & (n \text{ 为正偶数}) \end{cases}$$

$$6. \frac{d}{dx} \int_a^{u(x)} f(t)dt = f[u(x)]u'(x), \quad \frac{d}{dx} \int_u(x)^b f(t)dt = -f[u(x)]u'(x)$$

(九) 多元函数微积分

1. 二元函数 $z = f(x, y)$ 的微分法

(1) 偏导数

$$\frac{\partial z}{\partial x} = \lim_{\Delta x \rightarrow 0} \frac{f(x + \Delta x, y) - f(x, y)}{\Delta x}, \quad \frac{\partial z}{\partial y} = \lim_{\Delta y \rightarrow 0} \frac{f(x, y + \Delta y) - f(x, y)}{\Delta y} \text{ 或分}$$

别记为 $f_x(x, y), f_y(x, y)$ 。

(2) 全微分 若 $z = f(x, y)$ 的各偏导数都存在且连续, 则全微分是

$$dz = \frac{\partial z}{\partial x} dx + \frac{\partial z}{\partial y} dy$$

(3) 复合函数求导法

① 设 $z = f(u, v), u = \varphi(x, y), v = \psi(x, y)$ 则

$$\frac{\partial z}{\partial x} = \frac{\partial z}{\partial u} \frac{\partial u}{\partial x} + \frac{\partial z}{\partial v} \frac{\partial v}{\partial x}, \quad \frac{\partial z}{\partial y} = \frac{\partial z}{\partial u} \frac{\partial u}{\partial y} + \frac{\partial z}{\partial v} \frac{\partial v}{\partial y}$$

② 设 $z = f(u, v), u = \varphi(x), v = \psi(x)$, 则全导数

$$\frac{dz}{dx} = \frac{\partial z}{\partial u} \frac{du}{dx} + \frac{\partial z}{\partial v} \frac{dv}{dx}$$

③ 隐函数微分法, 设 $F(x, y) = 0$ 确定 y 是 x 的函数, 则

$$\frac{dy}{dx} = -\frac{F_x}{F_y}$$

(4) 若混合偏导数连续, 则 $\frac{\partial^2 z}{\partial x \partial y} = \frac{\partial^2 z}{\partial y \partial x}$

(5) 方向导数 若 $f(x, y)$ 在点 (x, y) 可微分, 方向 l 与 x 轴正向的夹角为 φ , 则沿 l 方向的方向导数为

$$\frac{\partial f}{\partial l} = \frac{\partial f}{\partial x} \cos \varphi + \frac{\partial f}{\partial y} \sin \varphi$$

(6) 曲面 $z = f(x, y)$ 在点 (x_0, y_0, z_0) 处的切平面及法线方程

$$\text{切平面 } z - z_0 = f_x(x_0, y_0)(x - x_0) + f_y(x_0, y_0)(y - y_0)$$

法线

$$\frac{x - x_0}{f_x(x_0, y_0)} = \frac{y - y_0}{f_y(x_0, y_0)} = \frac{z - z_0}{-1}$$

(7) 空间曲线 $x = \varphi(t)$, $y = \psi(t)$, $z = \omega(t)$ 的切线及法平面方程

切线

$$\frac{x - x_0}{\varphi'(t_0)} = \frac{y - y_0}{\psi'(t_0)} = \frac{z - z_0}{\omega'(t_0)}$$

$$\text{法平面 } \varphi'(t_0)(x - x_0) + \psi'(t_0)(y - y_0) + \omega'(t_0)(z - z_0) = 0$$

其中 t_0 对应曲线上的点 (x_0, y_0, z_0) 。

2. 重积分

(1) 用极坐标计算二重积分

$$\iint_D f(x, y) dx dy = \iint_D f(r \cos \theta, r \sin \theta) r dr d\theta$$

(2) 用柱坐标计算三重积分

$$\iiint_{\Omega} f(x, y, z) dx dy dz = \iiint_{\Omega} f(r \cos \theta, r \sin \theta, z) r dr d\theta dz$$

(3) 用球坐标计算三重积分

$$\iiint_{\Omega} f(x, y, z) dx dy dz = \iiint_{\Omega} F(r, \varphi, \theta) r^2 \sin \varphi dr d\varphi d\theta$$

其中, r 为原点 O 到点 $M(x, y, z)$ 的距离, φ 为 OM 与 z 轴正向之夹角, θ 是 \overrightarrow{OP} (P 为 M 在 XOY 面上的投影) 与 x 轴正向之夹角, $F(r, \varphi, \theta) = f(r \sin \varphi \cos \theta, r \sin \varphi \sin \theta, r \cos \varphi)$ 。

3. 曲线积分

(1) 对弧长的曲线积分的计算

设曲线弧 L : $\begin{cases} x = \varphi(t) \\ y = \psi(t) \end{cases}$ ($\alpha \leq t \leq \beta$), 则有

$$\int_L f(x, y) ds = \int_{\alpha}^{\beta} f[\varphi(t), \psi(t)] \sqrt{[\varphi'(t)]^2 + [\psi'(t)]^2} dt$$

(2) 对坐标的曲线积分的计算

①设有向曲线弧 L : $\begin{cases} x = \varphi(t) \\ y = \psi(t) \end{cases}$, 且 $t = \alpha$ 对应弧 L 的起点, $t = \beta$ 对应 L 的终点, 则有

$$\int_L P(x, y) dx + Q(x, y) dy = \int_{\alpha}^{\beta} \{P[\varphi(t), \psi(t)] \varphi'(t) + Q[\varphi(t), \psi(t)] \psi'(t)\} dt$$

②若把弧 L 分为两段 L_1 和 L_2 , 则

$$\int_L P dx + Q dy = \int_{L_1} P dx + Q dy + \int_{L_2} P dx + Q dy$$

③若以 $-L$ 表示与 L 相反的有向曲线弧, 则

$$\int_{-L}^L P dx + Q dy = - \int_L^L P dx + Q dy$$

(3) 格林公式 设闭区域 D 的正向边界曲线为 L , $P(x, y)$, $Q(x, y)$ 在 D 上具有一阶连续偏导数, 则有

$$\iint_D \left(\frac{\partial Q}{\partial x} - \frac{\partial P}{\partial y} \right) dx dy = \oint_L P dx + Q dy$$

(4) 曲线积分与路径无关的条件 在上述格林公式的条件下, 若 $\frac{\partial Q}{\partial x} = \frac{\partial P}{\partial y}$, 则下述结论成立:

$$\textcircled{1} \oint_L P dx + Q dy = 0$$

② 曲线积分与路径无关, 只与起点 $M_0(x_0, y_0)$ 及终 $M(x, y)$ 有关, 此时曲线积分可写为

$$\int_{(x_0, y_0)}^{(x, y)} P dx + Q dy.$$

4. 积分应用

(1) 几何应用

① 由曲线 $y = y_2(x)$ 及 $y = y_1(x)$ ($y_1(x) \leq y_2(x)$) 及直线 $x = a$, $x = b$ ($a < b$) 所围成的图形的面积 $A = \int_a^b [y_2(x) - y_1(x)] dx$

② 平面上闭区域 D (正向边界曲线为 L) 的面积

$$A = \iint_D dx dy = \frac{1}{2} \oint_L x dy - y dx$$

③ 平面图形 $0 \leq y \leq y(x)$, $a \leq x \leq b$, 绕 x 轴所生成的旋转体体积 $V = \pi \int_a^b [y(x)]^2 dx$

④ 平面曲线 $y = y(x)$ ($a \leq x \leq b$) 的弧长

$$s = \int_L ds = \int_a^b \sqrt{1 + y'^2} dx$$

⑤ 设空间区域 Ω 由上、下边界曲面 $z = z_2(x, y)$ 与 $z = z_1(x, y)$ 围成, D 是 Ω 在 XOY 平面上的投影, 空间区域 Ω 的体积

$$V = \iiint_{\Omega} dx dy dz = \iint_D [z_2(x, y) - z_1(x, y)] dx dy$$

(2) 物理应用

① 平面薄片 (占有区域 D) 的重心坐标

$$\bar{x} = \frac{\iint_D x \rho(x, y) d\sigma}{\iint_D \rho(x, y) d\sigma}, \bar{y} = \frac{\iint_D y \rho(x, y) d\sigma}{\iint_D \rho(x, y) d\sigma} \quad (\rho(x, y) \text{ 为密度})$$

② 平面薄片 (占有区域 D) 对 x 轴以及对 y 轴的转动惯量分别是

$$I_x = \iint_D y^2 \rho(x, y) d\sigma, I_y = \iint_D x^2 \rho(x, y) d\sigma$$

(十) 常微分方程

1. 一阶可分离变量微分方程

$$\frac{dy}{dx} = \frac{f(x)}{g(y)} \text{ 或 } g(y) dy = f(x) dx$$

解:

$$\int g(y) dy = \int f(x) dx$$

2. 一阶线性非齐次微分方程 $\frac{dy}{dx} + P(x)y = Q(x)$

$$\text{解: } y = e^{-\int P(x) dx} \left(\int Q(x) e^{\int P(x) dx} dx + C \right)$$

3. 可降阶二阶微分方程 $y'' = f(x)$

$$\text{解: } y = \int \left\{ \int f(x) dx \right\} dx + c_1 x + c_2$$

4. 二阶常系数线性齐次微分方程 $y'' + py' + qy = 0$ (其中, p, q 为常数), 其特征方程为 $r^2 + pr + q = 0$, 设特征方程的根为 r_1, r_2 :

(1) 当 $r_1 \neq r_2$ (实根), 通解 $Y = c_1 e^{r_1 x} + c_2 e^{r_2 x}$

(2) 当 $r_1 = r_2 = r$ (实根), 通解 $Y = (c_1 + c_2 x) e^{rx}$

(3) $r_{1,2} = \alpha \pm i\beta$ (复根), 通解 $Y = e^{\alpha x} (c_1 \cos \beta x + c_2 \sin \beta x)$

5. 二阶常系数线性非齐次微分方程

$$y'' + py' + qy = f(x)$$

若有特解 y^* , 且它的对应齐次方程通解为 Y , 则非齐次微分方程的通解为 $y = Y + y^*$ 。

特解 y^* 的形式由特征方程的根及自由项 $f(x)$ 决定。见表 2-3:

表 2-3

| $f(x)$ 的形式 | 特解 y^* 的形式 |
|---|--|
| $f(x) = e^{\lambda x} P_m(x)$ ($P_m(x)$ 为 x 的 m 次多项式) | λ 不是特征方程的根, $y^* = e^{\lambda x} Q_m(x)$ λ 是特征方程的单根, $y^* = e^{\lambda x} x Q_m(x)$ λ 是特征方程的重根, $y^* = e^{\lambda x} x^2 Q_m(x)$ ($Q_m(x)$ 是 x 的 m 次多项式) |
| $f(x) = A \cos \omega x + B \sin \omega x$ (A, B 不同时为零) | $\pm \omega i$ 不是特征方程的根, $y^* = a \cos \omega x + b \sin \omega x$ $\pm \omega i$ 是特征方程的根, $y^* = x(a \cos \omega x + b \sin \omega x)$ |

(十一) 无穷级数

1. 常数项级数

(1) 若级数 $\sum_{n=1}^{\infty} a_n$ 收敛, 则必有 $\lim_{n \rightarrow \infty} a_n = 0$

(2) 比值审敛法: 正项级数 $\sum_{n=1}^{\infty} a_n$ ($a_n \geq 0$), 若 $\lim_{n \rightarrow \infty} \frac{a_{n+1}}{a_n} = \rho$, 则当 $\rho < 1$ 时级数收敛; $\rho > 1$ (或 $\lim_{n \rightarrow \infty} \frac{a_{n+1}}{a_n} = \infty$) 时级数发散, $\rho = 1$ 时级数可能收敛也可能发散。

(3) 若级数 $\sum_{n=1}^{\infty} |a_n|$ 收敛, 则 $\sum_{n=1}^{\infty} a_n$ 必收敛, 称为绝对收敛; 若 $\sum_{n=1}^{\infty} |a_n|$ 发散而 $\sum_{n=1}^{\infty} a_n$ 收敛, 称为条件收敛。

(4) 莱布尼兹定理: 若交错级数 $\sum_{n=1}^{\infty} (-1)^{n-1} a_n$ ($a_n > 0$) 满足 (1) $a_n \geq a_{n+1}$ ($n =$

1, 2, ...), (ii) $\lim_{n \rightarrow \infty} a_n = 0$, 则此级数收敛, 且其和 $S \leq a_1$, 余项 r_n 的绝对值 $|r_n| \leq a_{n+1}$.

(5) 等比级数 $\sum_{n=1}^{\infty} aq^n$ (公比 q), 前 n 项和 $= \frac{a(1-q^n)}{1-q}$ 当 $|q| < 1$ 时级数收敛, 和为 $\frac{a}{1-q}$; 当 $|q| \geq 1$ 时级数发散。

(6) p 级数 $\sum_{n=1}^{\infty} \frac{1}{n^p}$, 当 $p > 1$ 时收敛; 当 $p \leq 1$ 时发散。特别是 $\sum_{n=1}^{\infty} \frac{1}{n}$ (称为调和级数) 发散, 但交错级数 $\sum_{n=1}^{\infty} \frac{(-1)^{n+1}}{n}$ 收敛, 此为条件收敛。

2. 幂级数 $\sum_{n=1}^{\infty} a_n x^n$

(1) 若 $\lim_{n \rightarrow \infty} \left| \frac{a^{n+1}}{a_n} \right| = \rho \neq 0$, 则收敛半径 $R = \frac{1}{\rho}$; 若 $\rho = 0$, 则 $R = +\infty$; 若 $\rho = +\infty$,

则 $R = 0$ 。

(2) 把函数展开为幂级数

$$\text{泰勒级数 } f(x) = f(x_0) + f'(x_0)(x - x_0) + \frac{f''(x_0)}{2!}(x - x_0)^2 + \cdots + \frac{f^{(n)}(x_0)}{n!}(x - x_0)^n + \cdots$$

$$(x - x_0)^n + \cdots$$

$$\text{麦克劳林级数 } f(x) = f(0) + f'(0)x + \frac{f''(0)}{2!}x^2 + \cdots + \frac{f^{(n)}(0)}{n!}x^n + \cdots \text{ 几个函数的展开式:}$$

$$\frac{1}{1-x} = 1 + x + x^2 + \cdots + x^n + \cdots = \sum_{n=1}^{\infty} x^n (-1 < x < 1)$$

$$\frac{1}{1+x} = 1 - x + x^2 - x^3 + \cdots + (-1)^n x^n + \cdots = \sum_{n=1}^{\infty} (-1)^n x^n (-1 < x < 1)$$

$$e^x = 1 + x + \frac{x^2}{2!} + \frac{x^3}{3!} + \cdots + \frac{x^n}{n!} + \cdots = \sum_{n=1}^{\infty} \frac{x^n}{n!} (-\infty < x < +\infty)$$

$$\sin x = x - \frac{x^3}{3!} + \frac{x^5}{5!} - \frac{x^7}{7!} + \cdots + (-1)^{n-1} \frac{x^{2n-1}}{(2n-1)!} + \cdots = \sum_{n=1}^{\infty} (-1)^{n-1} \frac{x^{2n-1}}{(2n-1)!} (-\infty < x < +\infty)$$

$$\cos x = 1 - \frac{x^2}{2!} + \frac{x^4}{4!} - \frac{x^6}{6!} + \cdots + (-1)^n \frac{x^{2n}}{(2n)!} + \cdots = \sum_{n=1}^{\infty} (-1)^n \frac{x^{2n}}{(2n)!} (-\infty < x < +\infty)$$

$$\ln(1+x) = x - \frac{x^2}{2} + \frac{x^3}{3} - \frac{x^4}{4} + \cdots + (-1)^{n-1} \frac{x^n}{n} + \cdots = \sum_{n=1}^{\infty} (-1)^{n-1} \frac{x^n}{n} (-1 < x \leq 1)$$

3. 傅立叶级数

(1) 设 $f(x)$ 在区间 $[-\pi, \pi]$ 上可展开为傅立叶级数, 则有

$$f(x) = \frac{a_0}{2} + \sum_{n=1}^{\infty} (a_n \cos nx + b_n \sin nx)$$

$$\text{其中 } a_0 = \frac{1}{\pi} \int_{-\pi}^{\pi} f(x) dx, a_n = \frac{1}{\pi} \int_{-\pi}^{\pi} f(x) \cos nx dx, b_n = \frac{1}{\pi} \int_{-\pi}^{\pi} f(x) \sin nx dx$$

若 $f(x)$ 为奇函数, 即 $f(-x) = -f(x)$, 则有

$$f(x) = \sum_{n=1}^{\infty} b_n \sin nx, \text{ 其中 } b_n = \frac{2}{\pi} \int_0^{\pi} f(x) \sin nx dx$$

若 $f(x)$ 为偶函数, 即 $f(-x) = f(x)$, 则有

$$f(x) = \frac{a_0}{2} + \sum_{n=1}^{\infty} a_n \cos nx, \text{ 其中 } a_0 = \frac{2}{\pi} \int_0^{\pi} f(x) dx, a_n = \frac{2}{\pi} \int_0^{\pi} f(x) \cos nx dx$$

(2) 设 $f(x)$ 在区间 $[-l, l]$ 上可展开为傅立叶级数, 则有

$$f(x) = \frac{a_0}{2} + \sum_{n=1}^{\infty} \left(a_n \cos \frac{n\pi x}{l} + b_n \sin \frac{n\pi x}{l} \right)$$

其中, $a_0 = \frac{1}{l} \int_{-l}^l f(x) dx, a_n = \frac{1}{l} \int_{-l}^l f(x) \cos \frac{n\pi x}{l} dx, b_n = \frac{1}{l} \int_{-l}^l f(x) \sin \frac{n\pi x}{l} dx$ 若 $f(x)$ 为奇函数, 有

$$f(x) = \sum_{n=1}^{\infty} b_n \sin \frac{n\pi x}{l}, b_n = \frac{2}{l} \int_0^l f(x) \sin \frac{n\pi x}{l} dx$$

若 $f(x)$ 为偶函数, 有

$$f(x) = \frac{a_0}{2} + \sum_{n=1}^{\infty} a_n \cos \frac{n\pi x}{l}, a_0 = \frac{2}{l} \int_0^l f(x) dx, a_n = \frac{2}{l} \int_0^l f(x) \cos \frac{n\pi x}{l} dx$$

(十二) 线性代数

1. 行列式

$$\begin{vmatrix} a_1 & b_1 \\ a_2 & b_2 \end{vmatrix} = a_1 b_2 - a_2 b_1$$

$$\begin{vmatrix} a_1 & b_1 & c_1 \\ a_2 & b_2 & c_2 \\ a_3 & b_3 & c_3 \end{vmatrix} = a_1 \begin{vmatrix} b_2 & c_2 \\ b_3 & c_3 \end{vmatrix} - a_2 \begin{vmatrix} b_1 & c_1 \\ b_3 & c_3 \end{vmatrix} + a_3 \begin{vmatrix} b_1 & c_1 \\ b_2 & c_2 \end{vmatrix}$$

$$= a_1 b_2 c_3 - a_1 b_3 c_2 + a_2 b_3 c_1 - a_2 b_1 c_3 + a_3 b_1 c_2 - a_3 b_2 c_1$$

2. 矩阵及其运算

m 行 n 列矩阵简记为 $(a_{ij})_{m \times n}$, 即

$$A = \begin{bmatrix} a_{11} & a_{12} & \cdots & a_{1n} \\ a_{21} & a_{22} & \cdots & a_{2n} \\ \cdots & \cdots & \cdots & \cdots \\ a_{m1} & a_{m2} & \cdots & a_{mn} \end{bmatrix} = (a_{ij})_{m \times n}$$

A 的转置矩阵记为 A' (或 A^T), A' 是把 A 的行换成同序数的列。 $(A')' = A$ 。
若 A 的行数等于列数即 $m = n$ 时, 称 A 为 n 阶方阵。若 $A' = A$, 即 $a_{ij} = a_{ji}$ ($i, j = 1, \dots, n$), 称 A 为对称矩阵。

若 $A = -A'$ 称 A 为反对称矩阵。若 $A = \begin{bmatrix} \lambda_1 & 0 & & \\ & \ddots & & \\ 0 & & \ddots & \\ & & & \lambda_n \end{bmatrix}$, $\lambda_1, \dots, \lambda_n$ 为数, 称 A 为对角矩阵, 特别 $\lambda_i = 1$ ($i = 1, \dots, n$) 时称为单位矩阵, 记为 E 。

矩阵相等: $(a_{ij})_{m \times n} = (b_{ij})_{m \times n}$, 即 $a_{ij} = b_{ij}$

矩阵相加减: $(a_{ij})_{m \times n} \pm (b_{ij})_{m \times n} = (c_{ij})_{m \times n}$, 其中 $c_{ij} = a_{ij} \pm b_{ij}$

数 λ 乘矩阵: $\lambda A = \lambda (a_{ij})_{m \times n} = (\lambda a_{ij})_{m \times n}$

矩阵相乘: $A = (a_{ij})_{m \times i}$, $B = (b_{ij})_{l \times n}$, $AB = C = (c_{ij})_{m \times n}$, 其中 $c_{ij} = \sum_{k=1}^l a_{ik} b_{kj}$, 对于转置矩阵, 有 $(AB)' = B'A'$ 。

3. 矩阵的秩

矩阵 $A = (a_{ij})_{m \times n}$ 中不等于零的子行列式的最大阶数称为 A 的秩, 记为 $R(A)$ 。

4. 矩阵行列式, 逆矩阵

设 A 为 n 阶方阵, $|A|$ 表示 A 的行列式

$$|A'| = |A|, |AB| = |BA| = |A||B|$$

秩 $R(A) = n$ 的充要条件是 $|A| \neq 0$, 并称 A 为满秩矩阵或非奇异矩阵。

当且仅当 A 为满秩时, 存在逆矩阵 A^{-1} , 逆矩阵是唯一的。

$$AA^{-1} = A^{-1}A = E \quad A^{-1} = \frac{1}{|A|}A^*$$

其中 A^* 为 A 的伴随矩阵, 形如:

$$A^* = \begin{bmatrix} A_{11} & A_{21} & \cdots & A_{n1} \\ A_{12} & A_{22} & \cdots & A_{n2} \\ \cdots & \cdots & \cdots & \cdots \\ A_{1n} & A_{2n} & \cdots & A_{nn} \end{bmatrix}, \text{ 其中 } A_{ij} \text{ 为元素 } a_{ij} \text{ 的代数余子式。}$$

5. 矩阵的初等变换

(1) 对调 A 的两行 (列);

(2) 以数 $k (\neq 0)$ 乘某一行 (列) 中所有元素;

(3) 把某一行 (列) 所有元素的 k 倍加到另一行 (列) 对应的元素上去。

矩阵经初等变换, 其秩不变。

用初等变换求逆矩阵: 对 $n \times 2n$ 矩阵 $(A|E)$ 进行行变换, 当把 A 变成 E 时, 原来的 E 就变为 A^{-1} 。

6. 线性方程组

线性方程组

$$(I) \left\{ \begin{array}{l} a_{11}x_1 + a_{12}x_2 + \cdots + a_{1n}x_n = b_1 \\ a_{21}x_1 + a_{22}x_2 + \cdots + a_{2n}x_n = b_2 \\ \cdots \cdots \cdots \cdots \\ a_{m1}x_1 + a_{m2}x_2 + \cdots + a_{mn}x_n = b_m \end{array} \right. \text{ 的增广矩阵 } \bar{A} = \begin{bmatrix} a_{11} & a_{12} & \cdots & a_{1n} & b_1 \\ a_{21} & a_{22} & \cdots & a_{2n} & b_2 \\ \cdots & \cdots & \cdots & \cdots & \cdots \\ a_{m1} & a_{m2} & \cdots & a_{mn} & b_m \end{bmatrix}$$

$$(1) (I) \text{ 有解的充要条件是 } R(A) = R(\bar{A}), \text{ 其中 } A = \begin{bmatrix} a_{11} & a_{12} & \cdots & a_{1n} \\ \cdots & \cdots & \cdots & \cdots \\ a_{21} & a_{22} & \cdots & a_{2n} \\ a_{m1} & a_{m2} & \cdots & a_{mn} \end{bmatrix}$$

(2) 方程组有无穷多个解的充要条件是 $R(A) = R(\bar{A}) < n$

(3) 方程组有唯一解的充要条件是 $R(A) = R(\bar{A}) = n$

(4) 当 $m = n$ 时, (I) 有唯一解的充要条件是 $|A| \neq 0$, 其解可表示为

$$x_j = \frac{|A_j|}{|A|} \quad (j = 1, 2, \dots, n)$$

其中 $|A_j|$ 是将行列式 $|A|$ 中第 j 列元素相应换为常数项一列元素所得的行列式。

7. 特征值与特征向量

(1) 若 A 是 n 阶方阵, 如果数 λ 和 n 维非零列向量 x 使式子 $Ax = \lambda x$ (或 $A - \lambda E)x = 0$) 成立, 则称 λ 为方阵 A 的特征值, x 为 A 的对应于特征值 λ 的特征向量。

(2) A 的特征值 λ 是 A 的特征方程

$$|A - \lambda E| = \begin{vmatrix} a_{11} - \lambda & a_{12} & \cdots & a_{1n} \\ a_{21} & a_{22} - \lambda & \cdots & a_{2n} \\ \cdots & \cdots & \cdots & \cdots \\ a_{n1} & a_{n2} & \cdots & a_{nn} - \lambda \end{vmatrix} = 0$$

的解。因此, 在复数范围内 A 有 n 个特征值(重根按重数计)。

(十三) 概率与数理统计

1. 事件及其运算

随机事件简称事件, 必然事件记 Ω (或记 U), 不可能事件记 \emptyset 。事件的运算及记号:

(1) 包含 $A \subset B$: 事件 A 发生必导致事件 B 发生。

(2) 相等 $A = B$: $A \subset B$ 且 $B \subset A$ 。

(3) 和 $A \cup B$ (或 $A + B$): 事件 A 、 B 中至少有一个发生。

(4) 积 $A \cap B$ (或 AB): A 、 B 两事件同时发生。

(5) $A - B$: 事件 A 发生而 B 不发生。

(6) 对立事件: 称事件 $\Omega - A$ 为事件 A 的对立事件, 记为 \bar{A} 。减法运算满足 $A - B = A \bar{B}$ 。

(7) 互斥事件: 若 $A \cap B = \emptyset$, 称 A 、 B 为互斥 (或互不相容) 事件。

事件运算满足加法和乘法的交换律、结合律及分配律, 还满足对偶原理:

$$\overline{\bigcup_i A_i} = \bigcap_i \overline{A_i}, \overline{\bigcap_i A_i} = \bigcup_i \overline{A_i}$$

2. 概率定义和计算公式

(1) 古典概率 设等概基本事件组有 n 个元素, 导致事件 A 发生的基本事件为 m 个, 则事件 A 的概率为

$$P(A) = \frac{m}{n}$$

(2) 概率的性质:

① $0 \leq P(A) \leq 1$, $P(\Omega) = 1$, $P(\emptyset) = 0$

② $P(A) = 1 - P(\bar{A})$ 或 $P(\bar{A}) = 1 - P(A)$

③ $P(A + B) = P(A) + P(B) - P(AB)$ (加法公式)

若 A , B 互斥, 则 $P(A + B) = P(A) + P(B)$

(3) 条件概率: 设 A , B 为事件, $P(A) > 0$, 在事件 B 发生的条件下, 事件 A 发生的概率称为条件概率, 记作 $P(A|B)$, 且有关系式

$$P(A|B) = \frac{P(AB)}{P(B)}$$

(4) 乘法公式

$$P(AB) = \begin{cases} P(B)P(A+B) & P(B) > 0 \\ P(A)P(B+A) & P(A) > 0 \end{cases}$$

特别地, 若 $P(AB) = P(A)P(B)$, 则称 A, B 互相独立。

(5) 全概率公式 如果 A_1, A_2, \dots, A_n 两两互斥且 $P(A_i) > 0$ ($i = 1, \dots, n$), $A_1 + A_2 + \dots + A_n = \Omega$ (或 U), 则有

$$P(B) = \sum_{i=1}^n P(A_i)P(B|A_i)$$

(6) 贝叶斯 (逆概) 公式: 在全概率公式假设下, 则有

$$P(A_j|B) = \frac{P(A_j)P(B|A_j)}{\sum_{i=1}^n P(A_i)P(B|A_i)} (j = 1, \dots, n)$$

3. 一维随机变量的分布函数与分布密度

(1) 设 X 是一随机变量, 称函数

$$F(x) = P(X \leq x) (-\infty < x < \infty)$$

为 X 的分布函数。有如下性质:

① $0 \leq F(x) \leq 1$ $\lim_{x \rightarrow -\infty} F(x) = 0$, $\lim_{x \rightarrow +\infty} F(x) = 1$

② $F(x)$ 是 x 的不减函数

③ $F(x)$ 右连续, 即 $\lim_{x \rightarrow x_0+0} F(x) = F(x_0)$

(2) 离散型随机变量 X 的概率分布表 (分布列)

| | | | | | | |
|-----|-------|-------|-------|-----|-------|-----|
| X | x_1 | x_2 | x_3 | ... | x_k | ... |
| p | p_1 | p_2 | p_3 | ... | p_k | ... |

p_i 是 X 取值 x_i 时的概率, 简记为 $p_k = P\{X = x_k\}$ 。有性质

① $p_k \geq 0$ ($k = 1, 2, \dots$)

② $\sum_k p_k = 1$

③ 分布函数 $F(x) = P\{X \leq x\} = \sum_{x_k \leq x} P\{X = x_k\}$

(3) 连续型随机变量及其分布密度

$F(x)$ 为随机变量 X 的分布函数, 若有非负可积函数 $p(x)$ ($-\infty < x < +\infty$), 对任意 a, b ($a < b$), 使

$$P\{a < X < b\} = \int_a^b p(x)dx$$

成立, 则称 X 为连续型随机变量, $p(x)$ 为 X 的概率密度函数 (简称概率密度或密度)。

性质: ① $p(x) \geq 0$ ② $\int_{-\infty}^{+\infty} p(x)dx = 1$

③ $P\{a < X < b\} = P\{a \leq X < b\} = P\{a < X \leq b\} = P\{a \leq X \leq b\}$

④ $F(x) = \int_{-\infty}^x p(t)dt$

4. 几种常用概率分布

(1) 二点分布 X 的分布如下: $P\{X = 1\} = p$ ($0 < p < 1$)

$$P\{X=0\} = q = 1-p$$

(2) 二项分布 X 的分布如下:

$$P\{X=k\} = C_n^k p^k q^{n-k} \quad (k=0, 1, 2, \dots, n) \quad (0 < p < 1, q = 1-p)$$

记为 $X \sim B(n, p)$

(3) 泊松分布 X 的分布如下: $P\{X=k\} = \frac{\lambda^k}{k!} e^{-\lambda}$ ($k=0, 1, 2, \dots, \lambda > 0$) 记为

$X \sim p(\lambda)$

(4) 均匀分布 X 的概率密度为: $p(x) = \begin{cases} \frac{1}{b-a} & \text{当 } a < x < b \\ 0 & \text{其他} \end{cases}$

(5) 指数分布 X 的概率密度为:

$$p(x) = \begin{cases} \lambda e^{-\lambda x} & \text{当 } x \geq 0 \\ 0 & \text{当 } x < 0 \end{cases} \quad (\lambda > 0)$$

(6) 正态分布 X 的概率密度为:

$$p(x) = \frac{1}{\sqrt{2\pi}\sigma} e^{-\frac{(x-\mu)^2}{2\sigma^2}} \quad (\sigma > 0, -\infty < x < +\infty)$$

记为 $X \sim N(\mu, \sigma^2)$ 。特别称 $N(0, 1)$ 为标准正态分布, 它的分布函数记为:

$$\Phi(x) = \int_{-\infty}^x \frac{1}{\sqrt{2\pi}} e^{-\frac{t^2}{2}} dt$$

若 $X \sim N(\mu, \sigma^2)$, 则有

$$\textcircled{1} F(x) = \Phi\left(\frac{x-\mu}{\sigma}\right)$$

$$\textcircled{2} P(a < X < b) = \Phi\left(\frac{b-\mu}{\sigma}\right) - \Phi\left(\frac{a-\mu}{\sigma}\right)$$

$$\textcircled{3} \Phi(-x) = 1 - \Phi(x)$$

5. 数学期望的常用公式

随机变量 X 的数学期望记为 $E(X)$

(1) 若 C 为常数, 则 $E(C) = C$

(2) 若 k 为常数, 则 $E(kX) = kE(X)$

(3) 若 k_1, k_2, \dots, k_n, b 为常数, 则

$$E\left(\sum_{i=1}^n k_i X_i + b\right) = \sum_{i=1}^n k_i E(X_i) + b$$

$$E\left(\prod_{i=1}^n k_i X_i\right) = \prod_{i=1}^n k_i E(X_i) \quad (X_1, X_2, \dots, X_n \text{ 为独立随机变量})$$

6. 方差常用公式

随机变量 X 的方差记为 $D(X)$

(1) $D(X) = E(X^2) - (E(X))^2$

(2) 若 C 为常数, 则 $D(C) = 0$

(3) 若 k 为常数, 则 $D(kX) = k^2 D(X)$

(4) 若 X_1, X_2, \dots, X_n 是独立随机变量, k_1, k_2, \dots, k_n, b 均为常数, 则

$$D\left(\sum_{i=1}^n k_i X_i + b\right) = \sum_{i=1}^n k_i^2 D(X_i)$$

7. 一些常用分布的期望与方差

- (1) 二点分布: $E(X) = p$, $D(X) = p(1-p)$
- (2) 二项分布 $B(n, p)$: $E(X) = np$, $D(X) = np(1-p)$
- (3) 泊松分布 $P(\lambda)$: $E(X) = \lambda$, $D(X) = \lambda$
- (4) 均匀分布: $E(X) = \frac{1}{2}(b+a)$, $D(X) = \frac{1}{12}(b-a)^2$
- (5) 指数分布: $E(X) = \frac{1}{\lambda}$, $D(X) = \frac{1}{\lambda^2}$
- (6) 正态分布: $E(X) = \mu$, $D(X) = \sigma^2$

8. 总体、样本及其数字特征

设总体 X , X 的样本 (X_1, \dots, X_n) , 样本均值 \bar{X} , 样本方差 S^2 ,

$$\bar{X} = \frac{1}{n} \sum_{i=1}^n X_i, \quad S^2 = \frac{1}{n-1} \sum_{i=1}^n (X_i - \bar{X})^2$$

若考虑两个总体 X , Y 及其相应的样本 (X_1, \dots, X_{n_1}) , (Y_1, \dots, Y_{n_2}) , 则样本均值分别记为 \bar{X} , \bar{Y} , 样本方差分别记为 S_1^2 , S_2^2 。

数理统计常用的分布有正态分布及

- (1) χ^2 分布, 记为 $\chi^2(n)$, 自由度 n 。
- (2) t 分布, 记为 $t(n)$, 自由度 n 。
- (3) F 分布, 记为 $F(n_1, n_2)$, 自由度 (n_1, n_2) 。

以上分布的分布函数表或临界值表见表 2-6~表 2-10。

9. 参数估计

(1) 点估计

总体期望估计值 $E(\hat{X}) = \bar{X}$, 总体方差估计值 $D(\hat{X}) = S^2$

(2) 区间估计

设 θ 是总体的未知参数, 对于给定的 α ($0 < \alpha < 1$), 若确定两个值 θ_1 , θ_2 满足概率

$$P\{\theta_1 < \theta < \theta_2\} = 1 - \alpha$$

则区间 (θ_1, θ_2) 称为 θ 的置信区间, θ_1 , θ_2 为置信限 (或临界值), α 为置信水平, $1 - \alpha$ 为置信度。

区间估计的一般步骤:

- ①选取与被估参数有关的统计量。
- ②给定 α , 查分布表 (或临界值表), 求出临界值 λ 。
- ③解出置信区间。

10. 假设检验

假设检验是先假设总体具有某种特性, 再用统计推断的方法检验假设是否可信, 一般步骤为:

- (1) 提出假设 H_0 。
- (2) 选取统计量 Q , 明确其分布。

- (3) 给定 α , 查分布表(或临界值表), 求出临界值 λ 。
 (4) 用样本值计算出统计量的值 Q_0 。
 (5) 将 Q_0 (或 $|Q_0|$) 值与 λ 进行比较, 作出接受或拒绝 H_0 的判断。

正态总体参数 μ 或 σ^2 的区间估计表

表 2-4

| 条件与待估参数 | 统计量及其分布 | 给定 α , 确定临界值 λ (或 λ_1 、 λ_2) | 置信区间 |
|---------------------------|---|---|--|
| 已知 σ^2 估计 μ | $\frac{\sqrt{n}(\bar{X} - \mu)}{\sigma} \sim N(0, 1)$ | $P\{ u < \lambda\} = 1 - \frac{\alpha}{2}$ 查标准正态分布表 | $\mu \in (\bar{X} - \lambda \frac{\sigma}{\sqrt{n}}, \bar{X} + \lambda \frac{\sigma}{\sqrt{n}})$ |
| 未知 σ^2 估计 μ | $\frac{\sqrt{n}(\bar{X} - \mu)}{S} \sim t(n-1)$ | $P\{ t > \lambda\} = \alpha$ 查 t 分布临界值表 | $\mu \in (\bar{X} - \lambda \frac{S}{\sqrt{n}}, \bar{X} + \lambda \frac{S}{\sqrt{n}})$ |
| 估计 σ^2 | $\frac{(n-1)S^2}{\sigma^2} \sim \chi^2(n-1)$ | $P\{ x^2 > \lambda_1\} = 1 - \frac{\alpha}{2}$ $P\{ x^2 > \lambda_2\} = \frac{\alpha}{2}$ 查 χ^2 分布临界值表 | $\sigma^2 \in \left(\frac{(n-1)S^2}{\lambda_2}, \frac{(n-1)S^2}{\lambda_1}\right)$ |

正态总体期望或方差检验表

表 2-5

| 条件与检验 | 假设 H_0 | 统计量及其分布 | 给定 α , 确定临界值 λ (或 λ_1 、 λ_2) | 在给定 α 下 拒绝 H_0 的条件 |
|--|---|---|---|--|
| 已知 σ^2 检验 μ | $\mu = \mu_0$ μ_0 为已知数 | $U = \frac{\sqrt{n}(\bar{X} - \mu_0)}{\sigma} \sim N(0, 1)$ | $P\{ u < \lambda\} = 1 - \frac{\alpha}{2}$ 查标准正态分布表 | $ U_0 \geq \lambda$ |
| 未知 σ^2 检验 μ | $\mu = \mu_0$ μ_0 为已知数 | $T = \frac{\sqrt{n}(\bar{X} - \mu_0)}{S} \sim t(n-1)$ | $P\{ t > \lambda\} = \alpha$ 查 t 分布临界值表 | $ T_0 \geq \lambda$ |
| 未知 μ 检验 σ^2 | $\sigma^2 = \sigma_0^2$ σ_0^2 为已知数 | $\chi^2 = \frac{(n-1)S^2}{\sigma_0^2} \sim \chi^2(n-1)$ | $P\{ x^2 > \lambda_1\} = 1 - \frac{\alpha}{2}$ $P\{ x^2 > \lambda_2\} = \frac{\alpha}{2}$ 查 χ^2 分布临界值表 | $x_0^2 \leq \lambda_1$ 或 $x_0^2 \geq \lambda_2$ |
| 未知 μ 检验 σ^2 | $\sigma^2 \leq \sigma_0^2$ σ_0^2 为已知数 | | $P\{ x^2 > \lambda\} = \alpha$ 查 χ^2 分布临界值表 | $x_0^2 \geq \lambda$ |
| 未知 μ_1, μ_2 检验 σ_1^2, σ_2^2 | $\sigma_1^2 = \sigma_2^2$ | $F = \frac{S_1^2}{S_2^2} \sim F(n_1-1, n_2-1)$ | $P\{ F > \lambda_2\} = \frac{\alpha}{2}, \lambda_1 = \frac{1}{\lambda_2}$ 查 F 分布临界值表 | $F_0 \leq \lambda_1$ 或 $F_0 \geq \lambda_2$ |

11. 线性回归分析

(1) 回归方程

设 $(x_1, y_1), \dots, (x_n, y_n)$ 是变量 x 与 y 相应的观测值(点), 若直线

$l:$

$$y = a + bx$$

使得 $\sum_{i=1}^n [y_i - (a + bx_i)]^2$ 最小值, 则 l 称为一元回归方程, a, b 为回归系数。

$$(2) \text{ 回归系数: } b = \frac{l_{xy}}{l_{xx}}, \quad a = \bar{y} - b\bar{x}$$

$$\text{其中 } \bar{x} = \frac{1}{n} \sum_{i=1}^n x_i, \quad \bar{y} = \frac{1}{n} \sum_{i=1}^n y_i$$

$$l_{xx} = \sum_{i=1}^n (x_i - \bar{x})^2, \quad l_{xy} = \sum_{i=1}^n (x_i - \bar{x})(y_i - \bar{y})$$

$$(3) \text{ 相关系数 } R = \frac{l_{xy}}{\sqrt{l_{xx}l_{yy}}}, \text{ 其中 } l_{yy} = \sum_{i=1}^n (y_i - \bar{y})^2$$

① $|R| \leq 1$ $|R|$ 值越大，相关程度越大。

② $|R| = 1$ 时，称 y 与 x 完全线性相关。观测点落在一条直线上。

③ $|R| = 0$ 时，称 y 与 x 全无线性相关。

(十四) 向量分析

1. 矢性函数的导数（导矢）

设矢性函数 $\vec{A} = \vec{A}(t) = A_x(t)\vec{i} + A_y(t)\vec{j} + A_z(t)\vec{k}$,

导矢为：

$$\vec{A}'(t) = A'_x(t)\vec{i} + A'_y(t)\vec{j} + A'_z(t)\vec{k}$$

它是矢端曲线的切向量。

设质点运动矢径 $\vec{r} = \vec{r}(t)$ ，则 $\vec{r}'(t)$ 是质点运动的速度矢量， $\vec{r}''(t)$ 是加速度矢量。

2. 导数公式

$$\frac{d\vec{C}}{dt} = 0 \quad (\vec{C} \text{ 为常矢})$$

$$\frac{d}{dt}(\vec{A} + \vec{B}) = \frac{d\vec{A}}{dt} + \frac{d\vec{B}}{dt}$$

$$\frac{d}{dt}(k\vec{A}) = k \frac{d\vec{A}}{dt} \quad (k \text{ 为常数})$$

$$\frac{d}{dt}(u\vec{A}) = \frac{du}{dt}\vec{A} + u \frac{d\vec{A}}{dt} \quad (u \text{ 为数量函数})$$

$$\frac{d}{dt}(\vec{A} \cdot \vec{B}) = \vec{A} \cdot \frac{d\vec{B}}{dt} + \frac{d\vec{A}}{dt} \cdot \vec{B}$$

$$\frac{d}{dt}(\vec{A} \times \vec{B}) = \vec{A} \times \frac{d\vec{B}}{dt} + \frac{d\vec{A}}{dt} \times \vec{B}$$

$$\text{若 } \vec{A} = \vec{A}(u), \quad u = u(t), \text{ 则 } \frac{d\vec{A}}{dt} = \frac{d\vec{A}}{du} \cdot \frac{du}{dt}$$

3. 矢性函数的不定积分

若 $\vec{B}'(t) = \vec{A}(t)$ ，则 $\int \vec{A}(t) dt = \vec{B}(t) + \vec{C}$ (\vec{C} 为任意常矢)

$$\int \vec{A}(t) dt = \left(\int A_x(t) dt \right) \vec{i} + \left(\int A_y(t) dt \right) \vec{j} + \left(\int A_z(t) dt \right) \vec{k}$$

公式： $\int k\vec{A}(t) dt = k \int \vec{A}(t) dt$ (k 为常数)

$$\int \vec{a} \cdot \vec{A}(t) dt = \vec{a} \cdot \int \vec{A}(t) dt \quad (\vec{a} \text{ 为常矢})$$

$$\int [\vec{A}(t) \pm \vec{B}(t)] dt = \int \vec{A}(t) dt \pm \int \vec{B}(t) dt$$

4. 矢性函数的定积分

$$\int_{t_1}^{t_2} \vec{A}(t) dt = \vec{B}(t_2) - \vec{B}(t_1)$$

$$\int_{t_1}^{t_2} \vec{A}(t) dt = \left(\int_{t_1}^{t_2} A_x(t) dt \right) \vec{i} + \left(\int_{t_1}^{t_2} A_y(t) dt \right) \vec{j} + \left(\int_{t_1}^{t_2} A_z(t) dt \right) \vec{k}$$

正态分布数值表

表 2-6

| x | $\Phi(x)$ | x | $\Phi(x)$ | x | $\Phi(x)$ | x | $\Phi(x)$ |
|------|-----------|------|-----------|------|-----------|------|-----------|
| 0.00 | 0.5000 | 0.80 | 0.7881 | 1.60 | 0.9452 | 2.35 | 0.9906 |
| 0.05 | 0.5199 | 0.85 | 0.8023 | 1.65 | 0.9505 | 2.40 | 0.9918 |
| 0.10 | 0.5398 | 0.90 | 0.8159 | 1.70 | 0.9554 | 2.45 | 0.9929 |
| 0.15 | 0.5596 | 0.95 | 0.8289 | 1.75 | 0.9599 | 2.50 | 0.9938 |
| 0.20 | 0.5793 | 1.00 | 0.8413 | 1.80 | 0.9641 | 2.55 | 0.9946 |
| 0.25 | 0.5987 | 1.05 | 0.8531 | 1.85 | 0.9678 | 2.58 | 0.9951 |
| 0.30 | 0.6179 | 1.10 | 0.8643 | 1.90 | 0.9713 | 2.60 | 0.9953 |
| 0.35 | 0.6368 | 1.15 | 0.8749 | 1.95 | 0.9744 | 2.65 | 0.9960 |
| 0.40 | 0.6554 | 1.20 | 0.8849 | 1.96 | 0.9750 | 2.70 | 0.9965 |
| 0.45 | 0.6736 | 1.25 | 0.8944 | 2.00 | 0.9772 | 2.75 | 0.9970 |
| 0.50 | 0.6915 | 1.30 | 0.9032 | 2.05 | 0.9798 | 2.80 | 0.9974 |
| 0.55 | 0.7088 | 1.35 | 0.9115 | 2.10 | 0.9821 | 2.85 | 0.9978 |
| 0.60 | 0.7257 | 1.40 | 0.9192 | 2.15 | 0.9842 | 2.90 | 0.9981 |
| 0.65 | 0.7422 | 1.45 | 0.9265 | 2.20 | 0.9861 | 2.95 | 0.9984 |
| 0.70 | 0.7580 | 1.50 | 0.9332 | 2.25 | 0.9878 | 3.00 | 0.9987 |
| 0.75 | 0.7731 | 1.55 | 0.9394 | 2.30 | 0.9893 | 4.00 | 1.0000 |

[注] $P\{u \leq x\} = \Phi(x) = \int_{-\infty}^x \frac{1}{\sqrt{2\pi}} e^{-\frac{t^2}{2}} dt$

t 分布临界值表

表 2-7

| n | λ | α | 0.10 | 0.05 | 0.01 | n | λ | α | 0.10 | 0.05 | 0.01 |
|-----|-----------|----------|-------|--------|--------|----------|-----------|----------|-------|-------|-------|
| 1 | | | 6.314 | 12.706 | 63.657 | 18 | | | 1.734 | 2.101 | 2.878 |
| 2 | | | 2.920 | 4.303 | 9.925 | 19 | | | 1.729 | 2.093 | 2.861 |
| 3 | | | 2.353 | 3.182 | 5.841 | 20 | | | 1.725 | 2.086 | 2.845 |
| 4 | | | 2.132 | 2.776 | 4.604 | 21 | | | 1.721 | 2.080 | 2.831 |
| 5 | | | 2.015 | 2.571 | 4.032 | 22 | | | 1.717 | 2.074 | 2.819 |
| 6 | | | 1.943 | 2.447 | 3.707 | 23 | | | 1.714 | 2.069 | 2.807 |
| 7 | | | 1.895 | 2.365 | 3.499 | 24 | | | 1.711 | 2.064 | 2.797 |
| 8 | | | 1.860 | 2.306 | 3.355 | 25 | | | 1.708 | 2.060 | 2.787 |
| 9 | | | 1.833 | 2.262 | 3.250 | 26 | | | 1.706 | 2.056 | 2.779 |
| 10 | | | 1.812 | 2.228 | 3.169 | 27 | | | 1.703 | 2.052 | 2.771 |
| 11 | | | 1.796 | 2.201 | 3.106 | 28 | | | 1.701 | 2.048 | 2.763 |
| 12 | | | 1.782 | 2.179 | 3.055 | 29 | | | 1.699 | 2.045 | 2.756 |
| 13 | | | 1.771 | 2.160 | 3.012 | 30 | | | 1.697 | 2.042 | 2.750 |
| 14 | | | 1.761 | 2.145 | 2.977 | 40 | | | 1.684 | 2.021 | 2.704 |
| 15 | | | 1.753 | 2.131 | 2.947 | 60 | | | 1.671 | 2.000 | 2.660 |
| 16 | | | 1.746 | 2.120 | 2.921 | 120 | | | 1.658 | 1.980 | 2.617 |
| 17 | | | 1.740 | 2.110 | 2.898 | ∞ | | | 1.645 | 1.960 | 2.576 |

[注] n 是自由度; λ 是临界值, $P\{|t| > \lambda\} = \alpha$

表 2-8

 χ^2 分布临界值表

| λ | α | 0.975 | 0.05 | 0.025 | 0.01 | λ | α | 0.975 | 0.05 | 0.025 | 0.01 |
|-----------|----------|---------|-------|-------|------|-----------|----------|-------|------|-------|------|
| n | | | | | | n | | | | | |
| 1 | | 0.00098 | 3.84 | 5.02 | 6.63 | 16 | | 6.91 | 26.3 | 28.8 | 32.0 |
| 2 | | 0.0506 | 5.99 | 7.38 | 9.21 | 17 | | 7.56 | 27.6 | 30.2 | 33.4 |
| 3 | | 0.216 | 7.81 | 0.35 | 11.3 | 18 | | 8.23 | 28.9 | 31.5 | 34.8 |
| 4 | | 0.484 | 9.49 | 11.1 | 13.3 | 19 | | 8.91 | 30.1 | 32.9 | 36.2 |
| 5 | | 0.831 | 11.07 | 12.8 | 15.1 | 20 | | 9.59 | 31.4 | 34.2 | 37.6 |
| 6 | | 1.24 | 12.6 | 14.4 | 16.8 | 21 | | 10.3 | 32.7 | 35.5 | 38.9 |
| 7 | | 1.69 | 14.3 | 16.0 | 18.5 | 22 | | 11.0 | 33.9 | 36.8 | 40.3 |
| 8 | | 2.18 | 15.5 | 17.5 | 21.1 | 23 | | 11.7 | 35.2 | 38.1 | 41.6 |
| 9 | | 2.70 | 16.9 | 19.0 | 21.7 | 24 | | 12.4 | 36.4 | 39.4 | 43.0 |
| 10 | | 3.25 | 18.3 | 20.5 | 23.2 | 25 | | 13.1 | 37.7 | 40.6 | 44.3 |
| 11 | | 3.82 | 19.7 | 21.9 | 24.7 | 26 | | 13.8 | 38.9 | 41.9 | 45.6 |
| 12 | | 4.40 | 21.0 | 23.3 | 26.2 | 27 | | 14.6 | 40.1 | 43.2 | 47.0 |
| 13 | | 5.01 | 22.4 | 24.7 | 27.7 | 28 | | 15.3 | 41.3 | 44.5 | 48.3 |
| 14 | | 5.63 | 23.7 | 26.1 | 29.1 | 29 | | 16.0 | 42.6 | 45.7 | 49.6 |
| 15 | | 6.26 | 25.0 | 27.5 | 30.6 | 30 | | 16.8 | 43.8 | 47.0 | 50.9 |

[注] n 是自由度; λ 是临界值, $P\{x^2 > \lambda\} = \alpha$ F 分布临界值表 ($\alpha = 0.05$)

表 2-9

| λ | n_1 | 1 | 2 | 3 | 4 | 5 | 6 | 7 | 8 | 12 | 24 | ∞ |
|-----------|-------|-------|-------|-------|-------|-------|-------|-------|-------|-------|-------|----------|
| n_2 | | | | | | | | | | | | |
| 1 | 161.4 | 199.5 | 215.7 | 224.6 | 230.2 | 234.0 | 236.8 | 238.9 | 243.9 | 249.1 | 254.3 | 19.5 |
| 2 | 18.5 | 19.0 | 19.2 | 19.2 | 19.3 | 19.3 | 19.4 | 19.4 | 19.4 | 19.5 | 19.5 | 8.53 |
| 3 | 10.1 | 9.55 | 9.28 | 9.12 | 9.01 | 8.94 | 8.89 | 8.85 | 8.74 | 8.64 | 5.63 | 4.36 |
| 4 | 7.71 | 6.94 | 6.59 | 6.39 | 6.26 | 6.16 | 6.09 | 6.04 | 5.91 | 5.77 | 3.67 | 3.23 |
| 5 | 6.61 | 5.79 | 5.41 | 5.19 | 5.05 | 4.95 | 4.88 | 4.82 | 4.68 | 4.53 | 2.93 | 2.71 |
| 6 | 5.99 | 5.14 | 4.76 | 4.53 | 4.39 | 4.28 | 4.21 | 4.15 | 4.00 | 3.84 | 2.74 | 2.54 |
| 7 | 5.59 | 4.74 | 4.35 | 4.12 | 3.97 | 3.87 | 3.79 | 3.73 | 3.57 | 3.41 | 2.30 | 2.21 |
| 8 | 5.32 | 4.46 | 4.07 | 3.84 | 3.69 | 3.58 | 3.50 | 3.44 | 3.28 | 3.12 | 2.13 | 2.07 |
| 9 | 5.12 | 4.26 | 3.86 | 3.63 | 3.48 | 3.37 | 3.29 | 3.23 | 3.07 | 2.90 | 1.96 | 1.88 |
| 10 | 4.96 | 4.10 | 3.71 | 3.48 | 3.33 | 3.22 | 3.14 | 3.07 | 2.91 | 2.74 | 1.78 | 1.71 |
| 11 | 4.84 | 3.98 | 3.59 | 3.36 | 3.20 | 3.09 | 3.01 | 2.95 | 2.79 | 2.61 | 1.61 | 1.53 |
| 12 | 4.75 | 3.89 | 3.49 | 3.26 | 3.11 | 3.00 | 2.91 | 2.83 | 2.77 | 2.60 | 1.53 | 1.45 |
| 13 | 4.67 | 3.81 | 3.41 | 3.18 | 3.03 | 2.92 | 2.83 | 2.76 | 2.70 | 2.53 | 1.45 | 1.37 |
| 14 | 4.60 | 3.74 | 3.34 | 3.11 | 2.96 | 2.85 | 2.76 | 2.71 | 2.64 | 2.48 | 1.37 | 1.29 |
| 15 | 4.54 | 3.68 | 3.29 | 3.06 | 2.90 | 2.79 | 2.66 | 2.59 | 2.42 | 2.24 | 1.24 | 1.16 |
| 16 | 4.49 | 3.63 | 3.24 | 3.01 | 2.85 | 2.74 | 2.61 | 2.55 | 2.38 | 2.19 | 1.16 | 1.08 |
| 17 | 4.45 | 3.59 | 3.20 | 2.96 | 2.81 | 2.70 | 2.58 | 2.51 | 2.34 | 2.15 | 1.08 | 1.00 |
| 18 | 4.41 | 3.55 | 3.16 | 2.93 | 2.77 | 2.66 | 2.54 | 2.48 | 2.31 | 2.11 | 1.00 | 0.92 |
| 19 | 4.38 | 3.52 | 3.13 | 2.90 | 2.74 | 2.63 | 2.51 | 2.45 | 2.28 | 2.08 | 0.92 | 0.84 |
| 20 | 4.35 | 3.49 | 3.10 | 2.87 | 2.71 | 2.60 | 2.51 | 2.42 | 2.25 | 2.05 | 0.84 | 0.76 |
| 21 | 4.32 | 3.47 | 3.07 | 2.84 | 2.68 | 2.57 | 2.49 | 2.42 | 2.25 | 2.03 | 0.76 | 0.68 |
| 22 | 4.30 | 3.44 | 3.05 | 2.82 | 2.66 | 2.55 | 2.46 | 2.40 | 2.23 | 2.01 | 0.74 | 0.66 |
| 23 | 4.28 | 3.42 | 3.03 | 2.80 | 2.64 | 2.53 | 2.44 | 2.37 | 2.20 | 1.98 | 0.72 | 0.64 |
| 24 | 4.26 | 3.40 | 3.01 | 2.78 | 2.62 | 2.51 | 2.42 | 2.36 | 2.18 | 1.98 | 0.70 | 0.62 |

三、物理 (声、光、热)

(一) 声强

$$I = \frac{1}{2} \rho u A^2 \omega^2$$

式中, ρ : 媒质密度, u : 声速, ω : 圆频率, A : 声振动的振幅

(二) 麦克斯韦速率分布函数

$$f(v) = 4\pi \left(\frac{\mu}{2\pi kT} \right)^{3/2} e^{-\frac{\mu}{2kT}v^2}$$

式中, μ : 气体分子质量, T : 气体处于热平衡下的温度, k : 玻耳兹曼常数

(三) 三种统计速度

最概然速率

$$v_p = \sqrt{\frac{2kT}{\mu}}$$

平均速率

$$\bar{v} = \sqrt{\frac{8kT}{\pi\mu}}$$

方均根速率

$$\sqrt{\bar{v}^2} = \sqrt{\frac{3kT}{\mu}}$$

式中: μ : 气体分子质量, k : 玻耳兹曼常数

(四) 理想气体分子的平均碰撞频率

$$\bar{z} = \sqrt{2\pi d^2 n \bar{v}}$$

式中, d : 分子直径, n : 分子数密度, \bar{v} : 分子平均速率

(五) 理想气体绝热作功表达式

$$A = \frac{P_1 V_1 - P_2 V_2}{\nu - 1}$$

式中: ν : 摩尔热容化

四、化学

(一) 基本常数

| | |
|--|---|
| N_A 阿佛加德罗 (Avogadro) 常数 | $6.022 \times 10^{23} \text{ mol}^{-1}$ |
| R 摩尔气体常数 | $8.314 \text{ J} \cdot \text{mol}^{-1} \cdot \text{K}^{-1}$ |
| V_m 理想气体摩尔体积 | $2.24 \times 10^{-2} \text{ m}^3 \cdot \text{mol}^{-1}$ |
| ($T_0 = 273.15 \text{ K}$, $P_0 = 101.3 \text{ kPa}$) | |
| F 法拉第 (Faraday) 常数 | $96485 \text{ C} \cdot \text{mol}^{-1}$ |

续表

| λ | n_1 | 1 | 2 | 3 | 4 | 5 | 6 | 7 | 8 | 12 | 24 | ∞ |
|-----------|-------|------|------|------|------|------|------|------|------|------|------|----------|
| n_2 | | | | | | | | | | | | |
| 25 | | 4.24 | 3.39 | 2.99 | 2.76 | 2.60 | 2.49 | 2.40 | 2.34 | 2.16 | 1.96 | 1.71 |
| 26 | | 4.23 | 3.37 | 2.98 | 2.74 | 2.59 | 2.47 | 2.39 | 2.32 | 2.15 | 1.95 | 1.69 |
| 27 | | 4.21 | 3.35 | 2.96 | 2.73 | 2.57 | 2.46 | 2.37 | 2.31 | 2.13 | 1.93 | 1.67 |
| 28 | | 4.20 | 3.34 | 2.95 | 2.71 | 2.56 | 2.45 | 2.36 | 2.29 | 2.12 | 1.91 | 1.65 |
| 29 | | 4.18 | 3.33 | 2.93 | 2.70 | 2.55 | 2.43 | 2.35 | 2.28 | 2.10 | 1.90 | 1.64 |
| 30 | | 4.17 | 3.32 | 2.92 | 2.69 | 2.53 | 2.42 | 2.33 | 2.27 | 2.09 | 1.89 | 1.62 |
| 40 | | 4.08 | 3.23 | 2.84 | 2.61 | 2.45 | 2.34 | 2.25 | 2.18 | 2.00 | 1.79 | 1.51 |
| 60 | | 4.00 | 3.15 | 2.76 | 2.53 | 2.37 | 2.25 | 2.17 | 2.10 | 1.92 | 1.70 | 1.39 |
| 120 | | 3.92 | 3.07 | 2.68 | 2.45 | 2.29 | 2.17 | 2.09 | 2.02 | 1.83 | 1.61 | 1.25 |
| ∞ | | 3.84 | 3.00 | 2.60 | 2.37 | 2.21 | 2.10 | 2.01 | 1.94 | 1.75 | 1.52 | 1.00 |

[注] n_1 是第一自由度, n_2 是第二自由度; λ 是临界值, $P\{F > \lambda\} = \alpha = 0.05$ 。

标准正态分布的分布函数表

表 2-10

| x | 0.00 | 0.01 | 0.02 | 0.03 | 0.04 | 0.05 | 0.06 | 0.07 | 0.08 | 0.09 |
|-----|---------|---------|---------|---------|---------|---------|---------|---------|---------|---------|
| 0.0 | 0.500 0 | 0.504 0 | 0.508 0 | 0.512 0 | 0.516 0 | 0.519 9 | 0.523 9 | 0.527 9 | 0.531 9 | 0.535 9 |
| 0.1 | 0.539 8 | 0.543 8 | 0.547 8 | 0.551 7 | 0.555 7 | 0.559 6 | 0.563 6 | 0.567 5 | 0.571 4 | 0.575 3 |
| 0.2 | 0.579 3 | 0.583 2 | 0.587 1 | 0.591 0 | 0.594 8 | 0.598 7 | 0.602 6 | 0.606 4 | 0.610 3 | 0.614 1 |
| 0.3 | 0.617 9 | 0.621 7 | 0.625 5 | 0.629 3 | 0.633 1 | 0.636 8 | 0.640 6 | 0.644 3 | 0.648 0 | 0.651 7 |
| 0.4 | 0.655 4 | 0.659 1 | 0.662 8 | 0.666 4 | 0.670 0 | 0.673 6 | 0.677 2 | 0.680 8 | 0.684 4 | 0.687 9 |
| 0.5 | 0.691 5 | 0.695 0 | 0.698 5 | 0.701 9 | 0.705 4 | 0.708 8 | 0.712 3 | 0.715 7 | 0.719 0 | 0.722 4 |
| 0.6 | 0.725 7 | 0.729 1 | 0.732 4 | 0.735 7 | 0.738 9 | 0.742 2 | 0.745 4 | 0.748 6 | 0.751 7 | 0.754 9 |
| 0.7 | 0.758 0 | 0.761 1 | 0.764 2 | 0.767 3 | 0.770 4 | 0.773 4 | 0.776 4 | 0.779 4 | 0.782 3 | 0.785 2 |
| 0.8 | 0.788 1 | 0.791 0 | 0.793 9 | 0.796 7 | 0.799 5 | 0.802 3 | 0.805 1 | 0.807 8 | 0.810 6 | 0.813 3 |
| 0.9 | 0.815 9 | 0.818 6 | 0.821 2 | 0.823 8 | 0.826 4 | 0.828 9 | 0.831 5 | 0.834 0 | 0.836 5 | 0.838 9 |
| 1.0 | 0.841 3 | 0.843 8 | 0.846 1 | 0.848 5 | 0.850 8 | 0.853 1 | 0.855 4 | 0.857 7 | 0.859 9 | 0.862 1 |
| 1.1 | 0.864 3 | 0.866 5 | 0.868 6 | 0.870 8 | 0.872 9 | 0.874 9 | 0.877 0 | 0.879 0 | 0.881 0 | 0.883 0 |
| 1.2 | 0.884 9 | 0.866 9 | 0.888 8 | 0.890 7 | 0.892 5 | 0.894 4 | 0.896 2 | 0.898 0 | 0.899 7 | 0.901 5 |
| 1.3 | 0.903 2 | 0.904 9 | 0.906 6 | 0.908 2 | 0.909 9 | 0.711 5 | 0.913 1 | 0.914 7 | 0.916 2 | 0.917 7 |
| 1.4 | 0.919 2 | 0.920 7 | 0.922 2 | 0.923 6 | 0.925 1 | 0.926 5 | 0.927 9 | 0.929 2 | 0.930 6 | 0.931 9 |
| 1.5 | 0.933 2 | 0.934 5 | 0.935 7 | 0.937 0 | 0.938 2 | 0.939 4 | 0.940 6 | 0.941 8 | 0.942 9 | 0.944 1 |
| 1.6 | 0.945 2 | 0.946 3 | 0.947 4 | 0.948 4 | 0.949 5 | 0.950 5 | 0.951 5 | 0.952 5 | 0.953 5 | 0.954 5 |
| 1.7 | 0.955 4 | 0.956 4 | 0.957 3 | 0.958 2 | 0.959 1 | 0.959 9 | 0.960 8 | 0.961 6 | 0.962 5 | 0.963 3 |
| 1.8 | 0.964 1 | 0.964 9 | 0.965 6 | 0.966 4 | 0.967 1 | 0.967 8 | 0.968 6 | 0.969 3 | 0.969 9 | 0.970 6 |
| 1.9 | 0.971 3 | 0.971 9 | 0.972 6 | 0.973 2 | 0.973 8 | 0.974 4 | 0.975 0 | 0.975 6 | 0.976 1 | 0.976 7 |
| 2.0 | 0.977 2 | 0.977 8 | 0.978 3 | 0.978 8 | 0.979 3 | 0.979 8 | 0.980 3 | 0.980 8 | 0.981 2 | 0.981 7 |
| 2.1 | 0.982 1 | 0.982 6 | 0.983 0 | 0.983 4 | 0.983 8 | 0.984 2 | 0.984 6 | 0.985 0 | 0.985 4 | 0.985 7 |
| 2.2 | 0.986 1 | 0.986 4 | 0.986 8 | 0.987 1 | 0.987 5 | 0.987 8 | 0.988 1 | 0.988 4 | 0.988 7 | 0.989 0 |
| 2.3 | 0.989 3 | 0.989 6 | 0.989 8 | 0.990 1 | 0.990 4 | 0.990 6 | 0.990 9 | 0.991 1 | 0.991 3 | 0.991 6 |
| 2.4 | 0.991 8 | 0.992 0 | 0.992 2 | 0.992 5 | 0.992 7 | 0.992 9 | 0.993 1 | 0.993 2 | 0.993 4 | 0.993 6 |
| 2.5 | 0.993 8 | 0.994 0 | 0.994 1 | 0.994 3 | 0.994 5 | 0.994 6 | 0.994 8 | 0.994 9 | 0.995 1 | 0.995 2 |
| 2.6 | 0.995 3 | 0.995 5 | 0.995 6 | 0.995 7 | 0.995 9 | 0.996 0 | 0.996 1 | 0.996 2 | 0.996 3 | 0.996 4 |
| 2.7 | 0.996 5 | 0.996 6 | 0.996 7 | 0.996 8 | 0.996 9 | 0.997 0 | 0.997 1 | 0.997 2 | 0.997 3 | 0.997 4 |
| 2.8 | 0.997 4 | 0.997 5 | 0.997 6 | 0.997 7 | 0.997 7 | 0.997 8 | 0.997 9 | 0.997 9 | 0.998 0 | 0.998 1 |
| 2.9 | 0.998 1 | 0.998 2 | 0.998 2 | 0.998 3 | 0.998 4 | 0.998 4 | 0.998 5 | 0.998 5 | 0.998 6 | 0.998 6 |
| 3.0 | 0.998 7 | 0.998 7 | 0.998 7 | 0.998 8 | 0.998 8 | 0.998 9 | 0.998 9 | 0.998 9 | 0.999 0 | 0.999 0 |
| 3.1 | 0.999 0 | 0.999 1 | 0.999 1 | 0.999 1 | 0.999 2 | 0.999 2 | 0.999 2 | 0.999 2 | 0.999 3 | 0.999 3 |
| 3.2 | 0.999 3 | 0.999 3 | 0.999 4 | 0.999 4 | 0.999 4 | 0.999 4 | 0.999 4 | 0.999 5 | 0.999 5 | 0.999 5 |
| 3.3 | 0.999 5 | 0.999 5 | 0.999 5 | 0.999 6 | 0.999 6 | 0.999 6 | 0.999 6 | 0.999 6 | 0.999 6 | 0.999 6 |
| 3.4 | 0.999 7 | 0.999 7 | 0.999 7 | 0.999 7 | 0.999 7 | 0.999 7 | 0.999 7 | 0.999 7 | 0.999 7 | 0.999 7 |

一些溶剂的沸点上升常数和凝固点下降常数

表 4-1

| 溶剂 | 沸点/ (°C) | $K_{bp}/ (\text{K} \cdot \text{kg} \cdot \text{mol}^{-1})$ | 凝固点/ (°C) | $K_{fp}/ (\text{K} \cdot \text{kg} \cdot \text{mol}^{-1})$ |
|----|----------|--|-----------|--|
| 醋酸 | 118.1 | 2.93 | 17 | 3.9 |
| 苯 | 80.2 | 2.53 | 5.4 | 5.12 |
| 氯仿 | 61.2 | 3.63 | — | — |
| 萘 | 217.9 | 5.80 | 80 | 6.8 |
| 水 | 100.0 | 0.51 | 0 | 1.86 |

一些弱电解质在水溶液中的电离常数

表 4-2

| 电解质 | 电离方程式 | 电离常数 (K) | 温度/ °C |
|-----|---|------------------------------|--------|
| 醋酸 | $\text{HAc} \rightleftharpoons \text{H}^+ + \text{Ac}^-$ | $1.75 \times 10^{-5} (K_a)$ | 25 |
| 碳酸 | $\text{CO}_2 + \text{H}_2\text{O} \rightleftharpoons \text{H}^+ + \text{HCO}_3^-$ | $4.30 \times 10^{-7} (K_a)$ | 25 |
| | $\text{HCO}_3^- \rightleftharpoons \text{H}^+ + \text{CO}_3^{2-}$ | $5.61 \times 10^{-11} (K_a)$ | 25 |
| 氢氰酸 | $\text{HCN} \rightleftharpoons \text{H}^+ + \text{CN}^-$ | $4.93 \times 10^{-10} (K_a)$ | 25 |
| 氢氟酸 | $\text{HF} \rightleftharpoons \text{H}^+ + \text{F}^-$ | $3.53 \times 10^{-4} (K_a)$ | 25 |
| 氨水 | $\text{NH}_3 + \text{H}_2\text{O} \rightleftharpoons \text{NH}_4^+ + \text{OH}^-$ | $1.79 \times 10^{-5} (K_b)$ | 25 |

一些物质的溶度积常数 K_{sp}

表 4-3

| 难溶物质 | 化 学 式 | 溶度积常数 K_{sp} | 温度/ °C |
|------|------------------------------|------------------------|--------|
| 氯化银 | AgCl | 1.56×10^{-10} | 25 |
| 硫酸钡 | BaSO_4 | 1.08×10^{-10} | 25 |
| 碳酸钙 | CaCO_3 | 8.7×10^{-9} | 25 |
| 磷酸钙 | $\text{Ca}_3(\text{PO}_4)_2$ | 2.0×10^{-29} | 25 |
| 氢氧化铁 | Fe(OH)_3 | 1.1×10^{-36} | 18 |
| 氢氧化镁 | Mg(OH)_2 | 1.8×10^{-11} | 18 |

一些电对的标准电极电势

表 4-4

| 电 对 | 电 极 反 应 | 电极电势/V |
|---|--|---------|
| (氧化态/还原态) | 氧化态 + ne \rightleftharpoons 还原态 | |
| Na^+/Na | $\text{Na}^+ + \text{e} \rightleftharpoons \text{Na}$ | -2.711 |
| Zn^{2+}/Zn | $\text{Zn}^{2+} + 2\text{e} \rightleftharpoons \text{Zn}$ | -0.763 |
| Fe^{2+}/Fe | $\text{Fe}^{2+} + 2\text{e} \rightleftharpoons \text{Fe}$ | -0.440 |
| Ni^{2+}/Ni | $\text{Ni}^{2+} + 2\text{e} \rightleftharpoons \text{Ni}$ | -0.230 |
| H^+/H_2 | $\text{H}^+ + \text{e} \rightleftharpoons \frac{1}{2}\text{H}_2$ | 0.000 |
| AgCl/Ag | $\text{AgCl} + \text{e} \rightleftharpoons \text{Ag} + \text{Cl}^-$ | +0.222 |
| $\text{Hg}_2\text{Cl}_2/\text{Hg}$ | $\text{Hg}_2\text{Cl}_2 + 2\text{e} \rightleftharpoons 2\text{Hg} + 2\text{Cl}^-$ | +0.268 |
| O_2/OH^- | $\frac{1}{2}\text{O}_2 + \text{H}_2\text{O} + 2\text{e} \rightleftharpoons 2\text{OH}^-$ | +0.401 |
| I_3/I^- | $\text{I}_3 + 2\text{e} \rightleftharpoons 2\text{I}^-$ | +0.535 |
| $\text{Fe}^{3+}/\text{Fe}^{2+}$ | $\text{Fe}^{3+} + \text{e} \rightleftharpoons \text{Fe}^{2+}$ | +0.771 |
| Ag^+/Ag | $\text{Ag}^+ + \text{e} \rightleftharpoons \text{Ag}$ | +0.7996 |
| Hg^{2+}/Hg | $\text{Hg}^{2+} + 2\text{e} \rightleftharpoons \text{Hg}$ | +0.851 |
| $\text{MnO}_2/\text{Mn}^{2+}$ | $\text{MnO}_2 + 4\text{H}^+ + 2\text{e} \rightleftharpoons \text{Mn}^{2+} + 2\text{H}_2\text{O}$ | +1.208 |
| $\text{O}_2/\text{H}_2\text{O}$ | $\text{O}_2 + 4\text{H}^+ + 4\text{e} \rightleftharpoons 2\text{H}_2\text{O}$ | +1.229 |
| $\text{Cr}_2\text{O}_7^{2-}/\text{Cr}^{3+}$ | $\text{Cr}_2\text{O}_7^{2-} + 14\text{H}^+ + 6\text{e} \rightleftharpoons 2\text{Cr}^{3+} + 7\text{H}_2\text{O}$ | +1.33 |
| Cl_2/Cl^- | $\text{Cl}_2 + 2\text{e} \rightleftharpoons 2\text{Cl}^-$ | +1.358 |
| $\text{MnO}_4^-/\text{Mn}^{2+}$ | $\text{MnO}_4^- + 8\text{H}^+ + 5\text{e} \rightleftharpoons \text{Mn}^{2+} + 4\text{H}_2\text{O}$ | +1.491 |

(二) 基本公式

1. 水的蒸气压方程

$$\lg \frac{P_2}{P_1} = \frac{-\Delta H^\circ}{2.303R} \left(\frac{1}{T_2} - \frac{1}{T_1} \right)$$

式中 ΔH° ——水的标准气化热 373.16K 40.66kJ·mol⁻¹。

2. 拉乌尔定律

$$\Delta P = P_A^0 X_B$$

式中 ΔP ——蒸气压下降；

P_A^0 ——纯溶剂的蒸气压；

X_B ——溶质摩尔分数。

3. 沸点上升数学式

$$\Delta T_{bp} = k_{bp} \cdot m$$

式中 ΔT_{bp} ——沸点上升；

k_{bp} ——沸点上升常数；

m ——溶液的质量摩尔浓度。

4. 凝固点下降数学式

$$\Delta T_{fp} = k_{fp} \cdot m$$

式中 ΔT_{fp} ——凝固点下降；

k_{fp} ——凝固点下降常数；

m ——溶液的质量摩尔浓度。

5. 阿伦尼乌斯公式 (S. Arrhenius)

$$k = z e^{-\epsilon / RT}$$

式中 k ——速率常数；

z ——指前因子；

ϵ ——活化能。

6. 速率与温度的关系式

$$\lg \frac{k_{T_2}}{k_{T_1}} = \frac{-\epsilon}{2.303R} \left(\frac{1}{T_2} - \frac{1}{T_1} \right)$$

7. 平衡常数与温度关系式

$$\lg \frac{K_2}{K_1} = \frac{-\Delta H^\circ}{2.303R} \left(\frac{1}{T_2} - \frac{1}{T_1} \right)$$

式中 ΔH° ——标准反应热。

8. 能斯特方程式 (W. Nernst)

$$\varphi = \varphi^\circ + \frac{0.05917}{n} \lg \frac{[\text{氧化态}]^a}{[\text{还原态}]^b}$$

9. 平衡常数与标准电动势的关系式

$$\lg K = \frac{nE^\circ}{0.05917}$$

(三) 元素周期表

元素周期表

| 周期 | 1 A | | 准金属 | | | | | | | | | | | | | | 0 电子层 | | VIA 族数 | | | |
|----|-----|-------|----------------------|--------------------------|--------------------------------------|--------------------------------------|--------------------------------------|--------------------------------------|--------------------------------------|--------------------------------------|--------------------------------------|--------------------------------------|--------------------------------------|---------------------------------------|---------------------------------------|---------------------------------------|---------------------------------------|---------------------------------------|----------------------|----------------------|----------------------|----------------------|
| | 族 | 周期 | H 氢 1s ¹ | 1 A | II A | VA | VIA | VIA | VIA | He 氦 1s ² | He 氦 1s ² | VIA 族数 | | | |
| 1 | 1 | 1.008 | Li 锂 2s ¹ | Be 铍 2s ² | Mg 镁 3s ² | Ca 钙 4s ² | Sc 钪 3d ¹ 4s ² | Ti 钛 3d ² 4s ² | V 钻 3d ³ 4s ² | Cr 钨 3d ⁴ 4s ² | Mn 锰 3d ⁵ 4s ² | Fe 钴 3d ⁶ 4s ² | Co 钼 3d ⁷ 4s ² | Ni 钨 3d ⁸ 4s ² | Cu 钼 3d ⁹ 4s ¹ | Zn 锌 3d ¹⁰ 4s ² | Ga 铝 3d ¹⁰ 4s ¹ | Al 硼 3d ¹⁰ 4s ¹ | He 氦 1s ² | He 氦 1s ² | 0 | 0 |
| 2 | 2 | 6.941 | Li 锂 2s ¹ | Be 铍 2s ² | Mg 镁 3s ² | Ca 钙 4s ² | Sc 钪 3d ¹ 4s ² | Ti 钛 3d ² 4s ² | V 钻 3d ³ 4s ² | Cr 钨 3d ⁴ 4s ² | Mn 锰 3d ⁵ 4s ² | Fe 钴 3d ⁶ 4s ² | Co 钼 3d ⁷ 4s ² | Ni 钨 3d ⁸ 4s ¹ | Cu 钼 3d ⁹ 4s ¹ | Zn 锌 3d ¹⁰ 4s ² | Ga 铝 3d ¹⁰ 4s ¹ | Al 硼 3d ¹⁰ 4s ¹ | He 氦 1s ² | He 氦 1s ² | 0 | 0 |
| 3 | 3 | 22.99 | K 钾 4s ¹ | Ca 钙 4s ² | Sc 钪 3d ¹ 4s ² | Ti 钛 3d ² 4s ² | V 钻 3d ³ 4s ² | Cr 钨 3d ⁴ 4s ² | Mn 锰 3d ⁵ 4s ² | Fe 钴 3d ⁶ 4s ² | Co 钼 3d ⁷ 4s ² | Ni 钨 3d ⁸ 4s ¹ | Cu 钼 3d ⁹ 4s ¹ | Zn 锌 3d ¹⁰ 4s ² | Ga 铝 3d ¹⁰ 4s ¹ | Al 硼 3d ¹⁰ 4s ¹ | Ge 硅 3d ¹⁰ 4p ² | Ge 硅 3d ¹⁰ 4p ² | He 氦 1s ² | He 氦 1s ² | 0 | 0 |
| 4 | 4 | 39.10 | K 钾 4s ¹ | Ca 钙 4s ² | Sc 钪 3d ¹ 4s ² | Ti 钛 3d ² 4s ² | V 钻 3d ³ 4s ² | Cr 钨 3d ⁴ 4s ² | Mn 锰 3d ⁵ 4s ² | Fe 钴 3d ⁶ 4s ² | Co 钼 3d ⁷ 4s ² | Ni 钨 3d ⁸ 4s ¹ | Cu 钼 3d ⁹ 4s ¹ | Zn 锌 3d ¹⁰ 4s ² | Ga 铝 3d ¹⁰ 4s ¹ | Al 硼 3d ¹⁰ 4s ¹ | In 锡 3d ¹⁰ 5s ¹ | In 锡 3d ¹⁰ 5s ¹ | He 氦 1s ² | He 氦 1s ² | 0 | 0 |
| 5 | 5 | 85.47 | Rb 铷 5s ¹ | Sr 钡 5s ² | Y 钇 4d ¹ 5s ² | Zr 锯 4d ² 5s ² | Ta 钨 4d ³ 5s ² | Hf 钨 4d ⁴ 5s ² | Ta 钨 4d ⁵ 5s ² | Hf 钨 4d ⁶ 5s ² | Ta 钨 4d ⁷ 5s ¹ | Ru 钨 4d ⁸ 5s ¹ | Pd 钨 4d ⁹ 5s ¹ | Pt 钨 4d ¹⁰ 5s ¹ | Ir 钨 4d ¹¹ 5s ¹ | Os 钨 4d ¹² 5s ¹ | Re 钨 4d ¹³ 5s ¹ | W 钨 4d ¹⁴ 5s ¹ | He 氦 1s ² | He 氦 1s ² | 0 | 0 |
| 6 | 6 | 132.9 | Cs 钠 6s ¹ | La-Lu 镧系 6s ² | Pr 钕 4f ¹ 6s ² | Nd 钕 4f ² 6s ² | Eu 钕 4f ³ 6s ² | Dy 钕 4f ⁴ 6s ² | Tb 钕 4f ⁵ 6s ² | Ho 钕 4f ⁶ 6s ² | Er 钕 4f ⁷ 6s ² | Tm 钕 4f ⁸ 6s ² | Yb 钕 4f ⁹ 6s ² | Lu 钕 4f ¹⁰ 6s ² | He 氦 1s ² | He 氦 1s ² | He 氦 1s ² | He 氦 1s ² | He 氦 1s ² | He 氦 1s ² | He 氦 1s ² | He 氦 1s ² |
| 7 | 7 | 223 | Rb 铷 7s ¹ | Fr 钫 7s ² | Ra 钡 7s ² | Ac 钍 4f ¹ 7s ² | Uo 𬬻 6d ² 7s ² | Uo 𬬻 6d ³ 7s ² | Uo 𬬻 6d ⁴ 7s ² | Uo 𬬻 6d ⁵ 7s ² | Uo 𬬻 6d ⁶ 7s ² | Uo 𬬻 6d ⁷ 7s ² | Uo 𬬻 6d ⁸ 7s ² | Uo 𬬻 6d ⁹ 7s ² | Uo 𬬻 6d ¹⁰ 7s ² | Uo 𬬻 6d ¹¹ 7s ² | Uo 𬬻 6d ¹² 7s ² | Uo 𬬻 6d ¹³ 7s ² | Uo 习近平新素 | Uo 习近平新素 | Uo 习近平新素 | Uo 习近平新素 |

注：原子量录自 1985 年
 1. 国际原子量数，并全部
 取四位有效数字。
 2. 放射性元素的半衰期数。

| 57 La 镧系 5d ¹ 6s ² | 58 Ce 镧系 4f ¹ 5d ¹ 6s ² | 59 Pr 镧系 4f ² 5d ¹ 6s ² | 60 Nd 镧系 4f ³ 5d ¹ 6s ² | 61 Pm 镧系 4f ⁴ 5d ¹ 6s ² | 62 Sm 镧系 4f ⁵ 5d ¹ 6s ² | 63 Eu 镧系 4f ⁶ 5d ¹ 6s ² | 64 Gd 镧系 4f ⁷ 5d ¹ 6s ² | 65 Tb 镧系 4f ⁸ 5d ¹ 6s ² | 66 Dy 镧系 4f ⁹ 5d ¹ 6s ² | 67 Ho 镧系 4f ¹⁰ 5d ¹ 6s ² | 68 Er 镧系 4f ¹¹ 5d ¹ 6s ² | 69 Tm 镧系 4f ¹² 5d ¹ 6s ² | 70 Lu 镧系 4f ¹³ 5d ¹ 6s ² | |
|--|--|--|--|--|---|---|---|---|---|---|--|--|--|--|
| 138.9 | 140.1 | 140.9 | 144.2 | 145 | 150.4 | 152.0 | 153.9 | 162.5 | 164.9 | 167.3 | 168.9 | 173.0 | 175.0 | 177.0 |
| 89 Ac 钫系 6d ¹ 7s ² | 90 Th 钫系 5f ⁶ 6d ¹ 7s ² | 91 Pa 钫系 5f ⁷ 6d ¹ 7s ² | 92 U 钫系 5f ⁸ 6d ¹ 7s ² | 93 Np 钫系 5f ⁹ 6d ¹ 7s ² | 94 Pu 钫系 5f ¹⁰ 6d ¹ 7s ² | 95 Am 钫系 5f ¹¹ 6d ¹ 7s ² | 96 Cm 钫系 5f ¹² 6d ¹ 7s ² | 97 Cf 钫系 5f ¹³ 6d ¹ 7s ² | 98 Cf 钫系 5f ¹⁴ 6d ¹ 7s ² | 99 Es 钫系 5f ¹⁵ 6d ¹ 7s ² | 100 Fm 钫系 5f ¹⁶ 6d ¹ 7s ² | 101 Md 钫系 5f ¹⁷ 6d ¹ 7s ² | 102 No 钫系 5f ¹⁸ 6d ¹ 7s ² | 103 Lr 钫系 5f ¹⁹ 6d ¹ 7s ² |

五、理论力学

(一) 静力学部分

1. 力系的合成

(1) 汇交力系与力偶系的合成

力系若不是平衡力系，其合成结果如表 5-1

表 5-1

| | 汇交力系 | 力偶系 |
|------|-------------------------------|--|
| 合成结果 | 合力 $R = \sum F_i$ 作用线通过汇交点 | 合力偶 $\begin{cases} \text{空间: } m = \sum m_i \\ \text{平面: } m = \sum m_i \end{cases}$ |

(2) 任意力系的合成

以点 O 为简化中心，任意力系合成的一般结果为：

$$\begin{cases} \text{一个力 } R' = \sum F_i \text{ 作用线通过 } O \text{ 点} \\ \text{一个力偶} \begin{cases} \text{空间: } M_0 = \sum m_0 (F_i) \\ \text{平面: } M_0 = \sum m_0 (F_i) \end{cases} \end{cases}$$

R' 称原力系的主矢，与简化中心位置无关。

M_0 (或 m_0) 称原力系对 O 点的主矩，与简化中心位置有关。

2. 平衡方程

表 5-2

| 力系名称 | 平衡方程 | 独立方程的数目 |
|------|--|---------|
| 平面力系 | 力偶系 $\sum m_i = 0$ | 1 |
| | 汇交力系 $\sum X_i = 0, \sum Y_i = 0$ 或 $\sum X_i = 0, \sum m_A (F_i) = 0$ (汇交点 O 与 A 点) 或 $\sum m_A (F_i) = 0, \sum m_B (F_i) = 0$ (O, A, B 三点不共线) | 2 |
| | 平行力系 $\sum Y_i = 0, \sum m_0 (F_i) = 0$ (y 轴不垂直 F_i) 或 $\sum m_A (F_i) = 0, \sum m_B (F_i) = 0$ (A, B 连线不平行 F_i) | 2 |
| | 任意力系 $\sum X_i = 0, \sum Y_i = 0, \sum m_0 (F_i) = 0$ 或 $\sum X_i = 0, \sum m_A (F_i) = 0, \sum m_B (F_i) = 0$ (A, B 连线不垂直 x 轴) 或 $\sum m_A (F_i) = 0, \sum m_B (F_i) = 0, \sum m_C (F_i) = 0$ (A, B, C 三点不共线) | 3 |
| 空间力系 | 力偶系 $\sum m_x = 0, \sum m_y = 0, \sum m_z = 0$ | 3 |
| | 汇交力系 $\sum X_i = 0, \sum Y_i = 0, \sum Z_i = 0$ | 3 |
| | 平行力系 $\sum Z_i = 0, \sum m_x (F_i) = 0, \sum m_y (F_i) = 0$ | 3 |
| | 任意力系 $\sum X_i = 0, \sum Y_i = 0, \sum Z_i = 0$ $\sum m_x (F_i) = 0, \sum m_y (F_i) = 0, \sum m_z (F_i) = 0$ | 6 |

对空间力系，亦可用力矩方程代替投影方程，但独立方程总数不变。

平面汇交力系的平衡亦可用几何法表示，即力多边形自行封闭。

3. 滑动摩擦、摩擦角和自锁

(1) 滑动摩擦力

分表 5-3 中三种情况

表 5-3

| | 静滑动摩擦力 F | 最大静滑动摩擦力 F_m | 动滑动摩擦力 F' |
|----|---|----------------|------------------------------|
| 方向 | 与滑动趋势相反 | 与滑动趋势相反 | 与两物体间相对速度方向相反 |
| 大小 | $0 \leq F \leq F_m$ f —静滑动摩擦系数。 N —接触处的法向反力的大小。 | $F_m = fN$ | $F' = f'N$ f' —动滑动摩擦系数。 |

对于平衡问题, 当 $F = F_m$ 时, 求得的未知量是个确定值, 当 $0 \leq F \leq F_m$ 时, 求得的未知量是个范围值。

(2) 摩擦角 φ_m

摩擦角的正切

$$\operatorname{tg} \varphi_m = \frac{F_m}{N} = f$$

(3) 自锁

自锁条件: $\alpha \leq \varphi_m$ 与 p 大小无关

α —主动力的合力 p 与法向间的夹角

4. 重心

选列常用的重心计算公式于表 5-4

表 5-4

| 普遍公式 | 均质等厚薄壳的重心(形心) | 普遍公式 | 均质等厚薄壳的重心(形心) | 普遍公式 | 均质等厚薄壳的重心(形心) |
|--------------------------------|---------------------------------------|--------------------------------|---------------------------------------|--------------------------------|---------------------------------------|
| $x_c = \frac{\sum w_i x_i}{W}$ | $x_c = \frac{\sum x_i \Delta A_i}{A}$ | $y_c = \frac{\sum w_i y_i}{W}$ | $y_c = \frac{\sum x_i \Delta A_i}{A}$ | $z_c = \frac{\sum w_i z_i}{W}$ | $z_c = \frac{\sum x_i \Delta A_i}{A}$ |

表中, x_c 、 y_c 、 z_c 和 x_i 、 y_i 、 z_i —物体和其任一微小部分的重心坐标,
 W (A) 和 w_i (ΔA_i)—物体和其任一微小部分的重量 (面积)。

(二) 运动学部分

1. 点的运动

表 5-5 中, r 和 x 、 y 、 z 分别为动点 M 的矢径和直角坐标, s 和 ρ 分别为动点 M 的弧坐标和轨迹在该点的曲率半径。

表 5-5

| | 矢量法 | 直角坐标法 | 自然法 |
|------|------------|--|------------|
| 运动方程 | $r = r(t)$ | $r = xi + yj + zk$ $x = f_1(t)$ $y = f_2(t)$ $z = f_3(t)$ | $s = f(t)$ |

续表

| | 矢量法 | 直角坐标法 | 自然法 |
|-----|--------------------------------|---|---|
| 速度 | $v = \frac{dr}{dt} = \dot{r}$ | $v = v_x i + v_y j + v_z k$ $v_x = \frac{dx}{dt} = \dot{x}$ $v_y = \frac{dy}{dt} = \dot{y}$ $v_z = \frac{dz}{dt} = \dot{z}$ | $v = v \vec{\tau}$ $v = \frac{ds}{dt} = \dot{s}$ |
| 加速度 | $a = \frac{dv}{dt} = \ddot{v}$ | $a = a_x i + a_y j + a_z k$ $a_x = \frac{dv_x}{dt} = \ddot{x}$ $a_y = \frac{dv_y}{dt} = \ddot{y}$ $a_z = \frac{dv_z}{dt} = \ddot{z}$ | $a = a_\tau \tau + a_n n + a_b b$ $a_\tau = \frac{dv}{dt} = \ddot{s}$ $a_n = \frac{v^2}{\rho}$ $a_b = 0$ |

若 $a_\tau = \text{常量}$, 则 $v = v_0 + a_\tau \tau$ $s = s_0 + v_0 t + \frac{1}{2} a_\tau t^2$ 或 $v^2 - v_0^2 = 2 a_\tau (s - s_0)$

2. 刚体的平动

特点: 各点轨迹形状相同 (可以是曲线或直线), 每一瞬间各点具有相同的速度和加速度。

3. 刚体的定轴转动

(1) 转动刚体的计算公式

表 5-6

| | 变速转动 | 匀变速转动 | 匀速转动 |
|------|--|--|----------------------------------|
| 转动方程 | $\varphi = f(t)$ | $\varphi = \varphi_0 + \omega_0 t + \frac{1}{2} \epsilon t^2$ 或 $\varphi = \varphi_0 + \frac{1}{2} (\omega_0 + \omega) t$ | $\varphi = \varphi_0 + \omega t$ |
| 角速度 | $\vec{\omega} = \omega k$ $\omega = \frac{d\varphi}{dt} = \dot{\varphi}$ | $\omega = \omega_0 + \epsilon t$ 或 $\omega^2 = \omega_0^2 + 2\epsilon (\varphi - \varphi_0)$ | $\omega = \text{常数}$ |
| 角加速度 | $\vec{\epsilon} = \epsilon k$ $\epsilon = \frac{d^2 \varphi}{dt^2} = \frac{d\omega}{dt} = \ddot{\varphi} = \omega \frac{d\omega}{d\varphi}$ | $\epsilon = \text{常数}$ | $\epsilon = 0$ |

注: 表中 φ_0 和 ω_0 分别为初瞬时的转角和角速度, k 为沿转轴 x 的单位矢量

4. 点的合成运动

表 5-7

| | 牵连运动为平动 | 牵连运动为转动 |
|---------|-------------------|---|
| 速度合成定理 | $v_a = v_e + v_r$ | $a_a = a_e + a_r + a_k$ |
| 加速度合成定理 | $a_a = a_e + a_r$ | 科氏加速度 $a_k = 2\vec{\omega} \times v_r$ $\vec{\omega}$ —— 动系的角速度矢 |

注: 表中, v_a 、 a_a 为动点在绝对运动中的速度、加速度;

v_r 、 a_r 为动点在相对运动中的速度、加速度;

v_e 、 a_e 为动点的牵连点的速度、加速度。

5. 刚体的平面运动

表 5-8

| | | |
|------------|--------------|--|
| 速 度 | 合成法 (基点法) | $v_M = v_{O'} + v_{MO}$ $v_{MO} \begin{cases} \text{大小: } v_{MO} = O'M \cdot \omega \\ \text{方向: 垂直 } O'M, \text{ 并顺着 } \omega \text{ 的转向指向前方} \end{cases}$ |
| | 投影法 | $(v_M)_{O'M} = (v_{O'})_{O'M}$ O' 与 M 为图形上任意两个点 |
| | 瞬心法 | $v_M = v_{MC}$ $v_{MC} \begin{cases} \text{大小: } v_{MC} = CM \cdot \omega \\ \text{方向: 垂直 } MC, \text{ 并顺着 } \omega \text{ 的转向指向前方} \\ \text{条件: } v_C = 0, C \text{ 点称为平面图形的速度瞬心} \end{cases}$ |
| 加速度 合成法 | | $a_M^{\parallel} = a_{MO}^{\parallel}$ $a_{MO}^{\parallel} \begin{cases} \text{大小: } a_{MO}^{\parallel} = O'M \cdot \epsilon \\ \text{方向: 垂直 } O'M, \text{ 指向顺着 } \epsilon \text{ 的转向} \end{cases}$ $a_M = a_{O'} + a_{MO}^{\perp} + a_{MO}^{\parallel}$ $a_{MO}^{\perp} \begin{cases} \text{大小: } a_{MO}^{\perp} = O'M \cdot \omega^2 = \frac{v_{MO}^2}{O'M} \\ \text{方向: 沿着 } MO' \text{ 线, 并指向 } O' \text{ 点} \end{cases}$ |

(三) 动力学部分

1. 动力学基本定律与运动微分方程

根据质点动力学基本方程 $ma = \sum F_i$ 可得三种形式的质点运动微分方程。

表 5-9

| 矢量形式 | 直角坐标形式 | 自然坐标形式 |
|----------------------------|---|---|
| $m \frac{d^2 r}{dt^2} = F$ | $m \frac{d^2 x}{dt^2} = \sum X_i$ $m \frac{d^2 y}{dt^2} = \sum Y_i$ $m \frac{d^2 z}{dt^2} = \sum Z_i$ | $m \frac{d^2 s}{dt^2} = \sum F_{is}$ $m \frac{v^2}{\rho} = \sum F_{in}$ $0 = \sum F_{ib}$ |

2. 动量定理

(1) 概念

1) 质心的矢径:

$$r_c = \frac{\sum m_i r_i}{M}$$

2) 质点的动量:

$$K = mv$$

3) 质点系的动量:

$$K = \sum m_i v_i = M v_c$$

式中 m_i ——质点系中第 i 质点的质量;

$M = \sum m_i$ ——质点系的质量;

v_i ——质点系中第 i 个质点的速度;

v_c ——质点系质心 C 的速度。

4) 常力的冲量: $S = Ft$

5) 变力的冲量:

$$S = \int_{t_1}^{t_2} F dt$$

(2) 动量定理 质心运动定理

表 5-10 中, $\sum F_i^e = R^e$ 为作用在质点系上的所有外力的矢量和, 即外力系的主矢; $\sum S_i^e = S^e$ 为此外力系在时间 $(t_2 - t_1)$ 内的冲量的矢量的和; K_2 和 K_1 分别为 t_1 、 t_2 时刻的动量; a_e 和 v_e 分别为质心的加速度和速度; 脚标 x 、 y 、 z 和 τ 、 n 、 b 分别表示相应物理量在直角坐标轴和自然轴上的投影。

表 5-10

| 定理 | 表达式 | 矢量形式 | 直角坐标形式 | 自然坐标形式 |
|--------|-------|---|---|---|
| 动量定理 | 微分形式 | $\frac{dK}{dt} = \sum F_i^e = R^e$ | $\frac{dK_x}{dt} = \sum X_i^e$ $\frac{dK_y}{dt} = \sum Y_i^e$ $\frac{dK_z}{dt} = \sum Z_i^e$ | |
| | 积分形式 | $K_2 - K_1 = \sum S_i^e = S^e$ | $K_{2x} - K_{1x} = \sum S_{ix}^e$ $K_{2y} - K_{1y} = \sum S_{iy}^e$ $K_{2z} - K_{1z} = \sum S_{iz}^e$ | |
| | 守恒 | $\sum F_i^e = 0, K = \text{常矢量}$ | $\sum F_i^e = 0, K_e = \text{常数}$ | |
| 质心运动定理 | 一般表达式 | $Ma_e = \sum F_1^e = R^e$ 或 $M \frac{d^2 r_e}{dt^2} = \sum F_1^e = Re$ | $Ma_{ex} = R_x^e$ $Ma_{ey} = R_y^e$ $Ma_{ez} = R_z^e$ | $Ma_{et} = R_t^e$ $Ma_{en} = R_n^e$ $0 = R_b^e$ |
| | 守恒 | $R^e = 0, a_e = 0, v_e = \text{常矢量}$ | $R_x^e = 0, a_{ex} = 0$ $v_{ex} = \text{常数}$ | |

3. 动量矩定理

(1) 动量矩

1) 质点对固定点 O 的动量矩

$$H_0 = m_0(mv) = r \times mv$$

式中, r 为质点对定点 O 的矢径。动量矩矢量是定位矢, 应画在 O 点。其单位是 $\text{kg} \cdot \text{m}^2/\text{s}$ 或 $\text{N} \cdot \text{m} \cdot \text{s}$ 。

2) 质点系对固定点 O 的动量矩

$$H_0 = \sum m_i(v_i)$$

3) 质点系对过定点 O 的正交坐标系各轴的动量矩

$$H_x = \sum m_i(v_i)$$

$$H_y = \sum m_i(v_i)$$

$$H_z = \sum m_i(v_i)$$

4) 定轴转动刚体对转轴 z 的动量矩

$$H_z = J_z \omega$$

(2) 转动惯量及其平行轴定理

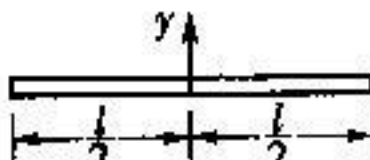
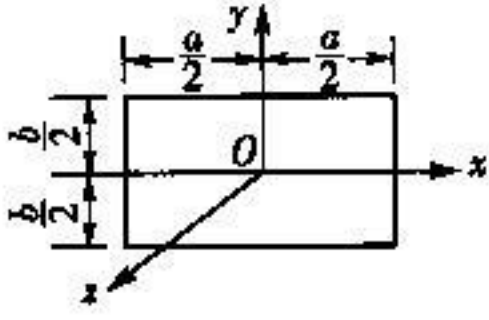
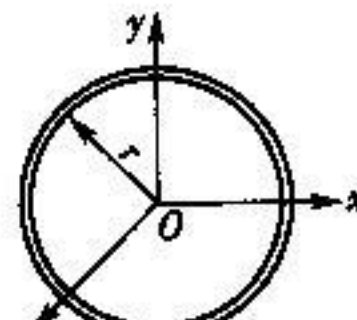
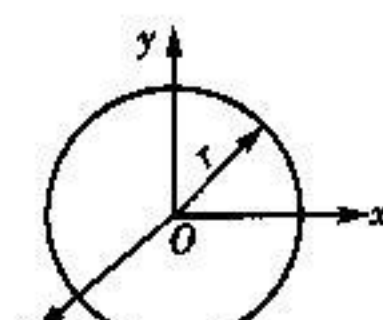
1) 转动惯量

表 5-11

| 转动惯量 | 表达式 | 说 明 |
|-----------|---|---|
| 对任一 z 轴 | $J_z = \sum m_i r_i^2$ 或 $J_z = M\rho_z^2$ | r_i 是 i 质点到 z 轴之距 ρ_z 为回转半径 |

若干均质物质的转动惯量及回转半径

表 5-12

| 物理形状 | 简 图 | 转动惯量 | 回转半径 |
|------|--|--|---|
| 细 杆 |  | $J_z = \frac{1}{12} ml^2$ | $\frac{1}{\sqrt{12}} l$ |
| 矩形薄板 |  | $J_z = \frac{1}{12} mb^2$ $J_z = \frac{1}{12} ma^2$ $J_z = \frac{1}{12} m (a^2 + b^2)$ | $\frac{1}{\sqrt{12}} b \quad \frac{1}{\sqrt{12}} a \sqrt{\frac{a^2 + b^2}{12}}$ |
| 细圆环 |  | $J_z = J_y = \frac{1}{2} mr^2$ $J_z = mr^2$ | $\frac{1}{\sqrt{2}} r$ |
| 薄圆板 |  | $J_z = J_y = \frac{1}{4} mr^2$ $J_z = \frac{1}{2} mr^2$ | $\frac{1}{2} r$ $\frac{1}{\sqrt{2}} r$ |

2) 转动惯量的平行轴定理

$$J_{z'} = J_z + Md^2$$

式中 z 轴通过质心 C 且与 z' 轴平行; d 为 z' 与 z 轴之间的距离。

(3) 动量矩定理

质点系动量矩定理的表达式随矩心不同而有所改变，具体列于表 5-13。

表 5-13

| 矩心或矩轴 | 矢量形式 | 投影形式 |
|--------|--|--|
| 定点 O | $\frac{dH_0}{dt} = \sum m_0 (F_i^*) = M_0^*$ | $\frac{dH_x}{dt} = \sum m_{x_0} (F_i^*)$ $\frac{dH_y}{dt} = \sum m_{y_0} (F_i^*)$ $\frac{dH_z}{dt} = \sum m_{z_0} (F_i^*)$ |
| | 若 $M_0^* = 0$ 则 $H_0 = \text{常矢量}$ | 称动量矩 守恒定理 若 $\sum m_x (F_i^*) = 0$ 则 $H_x = \text{常量}$ |
| 质心 C | $\frac{dH_C}{dt} = M_c^*$ | 略 |
| 转轴 z | | $J_z \ddot{\phi} = M_z^*$ 或 $J_z \dot{\phi}^2 = M_z^*$ 称刚体定轴转动微分方程 |

(4) 刚体平面运动微分方程

$$M \ddot{x}_c = \sum X_i$$

$$M \ddot{y}_c = \sum Y_i$$

$$J_c \ddot{\phi} = \sum m_c (F_i)$$

4. 动能定理

(1) 力的功

力的功是力在一段路程中对物体作用的累积效应。

表 5-14

| 物理量 | 表达式 |
|---------------------|---|
| 元功 | $d'w = F \cdot d\tau = F_i ds$ |
| 变力在路程 $M_1 M_2$ 中的功 | $w = \int_{M_1}^{M_2} F \cdot d\tau = \int_{t_1}^{t_2} F_i \cdot ds$ 或 $w = \int_{M_1}^{M_2} (X dx + Y dy + Z dz)$ |
| 合力功 | $w = \sum w_i$ |

(2) 动能

动能是物体由于速度而具有的能量，它是物体机械运动的一种量度。动能恒为正值。单位与功相同。动能的具体表达式如表 5-16。

表 5-15

| 常见力 | 功的表达式 | 说 明 |
|-----|---|---|
| 重 力 | $w = \pm \frac{1}{2} mgh$ 重心由高→低取 + 低→高取 - | h : 重心始末位置的高度差 |
| 弹性力 | $w = + \frac{1}{2} k (\delta_1^2 - \delta_2^2)$ | k : 弹簧的刚性系数 δ_1, δ_2 弹簧的始末变形 |
| 力 矩 | $w = \int_{\varphi_1}^{\varphi_2} M_i d\varphi$ | |
| 力 偶 | $w = \int_{\varphi_1}^{\varphi_2} m d\varphi$ | |

表 5-16

| 对 象 | 动能表达式 | 说 明 |
|--------|---|-------------------------------------|
| 质 点 | $T = \frac{1}{2} mv^2$ | |
| 质 点 | $T = \sum \frac{1}{2} m_i v_i^2$ | |
| 平动刚体 | $T = \frac{1}{2} Mv_c^2$ | |
| 定轴转动刚体 | $T = \frac{1}{2} J_z \omega^2$ | |
| 平面运动刚体 | $T = \frac{1}{2} Mv_c^2 + \frac{1}{2} J_z \omega^2$ | 左式中 J_z 为刚体对于通过质心且垂直于运动平面的轴的转动惯量。 |

(3) 势能

质点或质点系在势力场中从某一位置运动到零位置时，有势力的功称为质点或质点系在该位置的势能。在不同势力场中势能的表达式如表 5-17。

表 5-17

| 势 力 场 | 势 能 | 零势能位置 |
|-------|---|------------------|
| 重力场 | $V = W (z_0 - z_m)$ | 质心坐标为 z_m |
| 弹性力场 | $V = \frac{k}{2} (\delta^2 - \delta_0^2)$ | 弹簧变形为 δ_0 |
| 万有引力场 | $V = Gm_0 m \left(\frac{1}{r_0} - \frac{1}{r} \right)$ | 质点矢径为 r_0 |

(4) 动能定理·机械能守恒定律

表 5-18

| 定 理 | 表达式形式 | 微 分 形 式 | 积 分 形 式 |
|--------------------|-------|--|--|
| 质点动能定理 | | $d\left(\frac{1}{2}mv^2\right) = d'w$ | $\frac{1}{2}mv_2^2 - \frac{1}{2}mv_1^2 = w$ |
| 质点系动能定理 机械能守恒定律 | | $dT = \sum d'w_i^e + \sum d'w_i^i$ 或 $dT = \sum d'w_i^e + \sum d'w_i^N$ | $T_2 - T_1 = \sum w_i^e + \sum w_i^i$ 或 $T_2 - T_1 = \sum w_i^e + \sum w_i^N$ $T + V = \text{常量}$ |

表 5-18 中, 上角标 e 与 i 分别表示外力与内力之功, 一般内力的功不等于零; 上角标 A 与 N 分别表示主动力与约束力之功, 如果约束是理想的, 即 $\sum w_i^N = 0$, 所以对于理想约束系统, 在运用动能定理解题时, 主要是分析主动力。

6. 达朗伯原理

(1) 惯性力

惯性力的表达式为

$$F^I = -ma$$

(2) 达朗伯原理

在非自由质点 M 运动中的每一瞬时, 作用于质点的主动力 F 、约束反力 N 和该质点的惯性力 F^I 构成一假想的平衡力系。这就是质点达朗伯原理, 其表达式为

$$F + N + F^I = 0$$

在非自由质点系运动中的每一瞬时, 作用于质点系内每一质点的主动力 F_i 、约束反力 N_i 和该质点的惯性力 F_i^I 构成一假想的平衡力系。这就是质点系达朗伯原理。即

$$F_i + N_i + F_i^I = 0 (i = 1, 2, \dots, n)$$

(3) 惯性力系的简化

表 5-19

| 刚体运动形式 | 简化中心 | 惯性力系简化结果 |
|---------------------------|--------|--|
| 平 动 | 质心 C | 合力 $R^I = -Ma_e$ |
| 定轴转动 (具有垂直于转轴的质量对称平面) | 转轴 O | 惯性力 $R^I = -Ma_e = -M(a_{et} + a_{en})$ 惯性力偶 $M_0^I = -J_0\epsilon$ |
| | 质心 C | 惯性力 $R^I = -Ma_e = -M(a_{et} + a_{en})$ 惯性力偶 $M_c^I = -J_c\epsilon$ |
| 平面运动 具有与平面图形平行的质量对称平面) | 质心 C | 惯性力 $R^I = -Ma_e$ 惯性力偶 $M_c^I = -J_c\epsilon$ |

7. 虚位移原理

基本公式

表 5-20

| 内 容 | 表 达 式 |
|-------|--|
| 虚位移原理 | 矢量形式 $\sum F_i \cdot \delta r_i = 0$ 直角坐标形式 $\sum (X_i \delta x_i + Y_i \delta y_i + Z_i \delta z_i) = 0$ 广义坐标形式 $\sum Q_j \delta q_j = 0$ |
| 广 义 力 | 解析法 $Q_j = \sum_{i=1}^n \left(X_i \frac{\partial x_i}{\partial q_j} + Y_i \frac{\partial y_i}{\partial q_j} + Z_i \frac{\partial z_i}{\partial q_j} \right) (j = 1, 2, \dots, k)$ 虚元功法 $Q_j = \frac{\sum \delta w_F^{(j)}}{\delta q_j} (j = 1, 2, \dots, k)$ 势能偏导法 (对保守系统) $Q_j = -\frac{\partial V}{\partial q_j} (j = 1, 2, \dots, k)$ |

表 5-20 中, F_i 及 X_i 、 Y_i 、 Z_i 为主动力及其投影; δr 、 δq 表示虚位移与广义虚位移; Q_j 为对应于广义坐标 q_j 的广义力。

8. 单自由度系统的振动

(1) 自由振动

1) 振动方程·振动特性

现取系统平衡位置为坐标原点 O , 建立坐标轴 x , 则以 x 为独立参数的振体自由振动的运动微分方程、振动方程、特性参数等列于表 5-21。

表 5-21

| | 自由振动 | | 自由振动 |
|--------|---|-----|----------------------|
| 运动微分方程 | $\ddot{x} + px = 0$ | 周期 | $T = \frac{2\pi}{p}$ |
| 振动方程 | $x = A \sin(pt + \alpha)$ | 频率 | $f = \frac{1}{T}$ |
| 积分常数 | 振幅 $A = \sqrt{x_0^2 + \frac{v_0^2}{p^2}}$ | 圆频率 | $p = 2\pi f$ |
| | 初位相 $\alpha = \arctg \frac{px_0}{v_0}$ | | |

表 5-21 中 P 、 f 、 T 仅与系统的惯性和弹性有关, 通常称 p 、 f 为固有圆频率、固有频率, 自由振动的振幅 A 、初位相 α 与系统的初始条件有关。

2) 并联和串联弹簧的当量刚性系数 (或等效刚度)

并联: $k = k_1 + k_2 + \cdots + k_n = \sum k_i$

串联: $\frac{1}{k} = \frac{1}{k_1} + \frac{1}{k_2} + \cdots + \frac{1}{k_n} = \sum \frac{1}{k_i}$

(2) 强迫振动

由于扰力引起的振动, 称为强迫振动。若干扰力随时间而简谐变化, 则称为谐扰力, 其可表示为 $S = H \sin \omega t$ 。

现以系统的平衡位置为坐标原点, 以坐标 x 为独立参数, 将受谐扰力作用下的强迫振动的主要内容列于表 5-22。

表 5-22

| | $n = 0$ | $n < p$ |
|--------|---|---|
| 运动微分方程 | $\ddot{x} + px = h \sin \omega t$ | $\ddot{x} + 2n \dot{x} + px^2 = h \sin \omega t$ |
| 振动方程 | (a) $\omega \neq p$ $x = x_1 + x_2$ $= A \sin(pt + \alpha) + B \sin \omega t$ (自由振动) (强迫振动) (b) $\omega = p$ $x_2 = \frac{B_0}{2} p t \sin\left(pt - \frac{\pi}{2}\right)$ (共振方程) | $x = x_1 + x_2$ $= A e^{-nt} \sin(\sqrt{p^2 - n^2}t + \alpha) + B \sin(\omega t - \epsilon)$ x_1 : 衰减振动 x_2 : 强迫振动 |
| 强迫振动 | 振幅 $B = \frac{h}{p^2 - \omega^2}$ | $B = \frac{h}{\sqrt{(p^2 - \omega^2)^2 + 4n^2 \omega^2}}$ |
| | 频率 ω | ω |
| | 位相差 $\omega/p_1 < 1, = 1, > 1$ $\epsilon: 0, \pi/2, \pi$ | $\epsilon = \arg \operatorname{tg} \frac{2n\omega}{p^2 - \omega^2}$ |
| 放大系数 | $\lambda = \left \frac{B}{B_0} \right = \left \frac{1}{1 - z^2} \right $ | $\lambda_a = \frac{B}{B_0} = \frac{1}{\sqrt{(1 - z^2)^2 + 4\gamma^2 z^2}}$ |

表 5-22 中 $B_0 = \frac{h}{p^2}$, 它表示系统在干扰力的最大幅值 H 静止作用下所产生的偏移; $\omega = \frac{\omega}{p}$ 称为频率比; $\gamma = \frac{n}{p}$ 称为阻尼比。

六、材料力学

(一) 轴向拉伸和压缩

1. 横截面上应力

$$\sigma = \frac{N}{A}$$

式中 N = 轴力, A = 横截面面积。

2. 斜截面应力

$$\sigma_a = \sigma \cos^2 \alpha$$

$$\tau_a = \left(\frac{\sigma}{2} \right) \sin 2\alpha$$

式中 α = 斜截面法线与轴线夹角

$$(3) \text{虎克定律 } \Delta L = \frac{NL}{EA}$$

式中 $\Delta L = L_1 - L$ = 杆件伸长

E = 弹性模量, EA = 抗拉刚度。

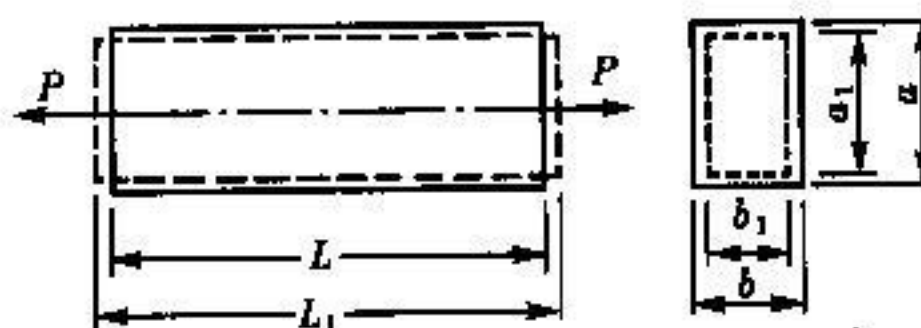


图 6-1

$$(4) \text{纵向线应变 } \epsilon = \frac{\Delta L}{L}$$

$$(5) \text{横向线应变 } \epsilon' = \frac{v_i - b}{b} = -\nu \epsilon$$

式中 ν = 泊松比

6. 单轴虎克定律

$$\sigma = E\epsilon$$

7. 应变能

$$U = \frac{N^2 L}{2 EA}$$

比能

$$u = \frac{1}{2} \sigma \epsilon$$

(二) 剪切与连接计算

$$1. \text{剪切的实用计算 } \tau = \frac{Q}{A} \leq [\tau]$$

$$2. \text{挤压的实用计算 } \sigma_{bs} = \frac{P_{bs}}{A_{bs}} \leq [\sigma_{bs}]$$

$$3. \text{剪切虎克定律 } \tau = G\gamma$$

式中 γ = 剪应变; G = 剪变模量; 对各向同性材料; 有

$$G = \frac{E}{2(1 + \nu)}$$

(三) 圆轴扭转

$$1. \text{外力偶矩 } m = 9549 \frac{P}{n} (\text{Nm})$$

式中 P = 轴所转递功率; 千瓦数, n = 轴转速, 转/分。

2. 横截面上剪应力

$$\tau_p = \frac{T_p}{I_p}$$

式中 T = 扭矩; p = 所算点与圆心距离; I_p = 极惯性矩; 对实心轴, 有

$$I_p = \frac{\pi d^4}{32}$$

对空心轴, 有

$$I_p = \frac{\pi d^4}{32} (1 - \alpha^4)$$

式中 d = 内直径; D = 外直径; $\alpha = d/D$ 。

3. 强度条件

$$\tau_{\max} = \frac{T_{\max}}{W_t} \leq [r]$$

式中 实心圆轴, 有

$$W_t = \frac{\pi d^3}{16}$$

空心圆轴, 有

$$W_t = \frac{\pi D^3}{16} (1 - \alpha^4)$$

4. 扭转角

$$\Phi = \frac{TL}{GI_p}$$

5. 刚度条件

$$\varphi = \frac{\Phi}{L} = \frac{T}{GI_p} \times \frac{180^\circ}{\pi} \leq [\varphi]$$

6. 应变能

$$U = \frac{T^2 L}{2 GI_p}$$

(四) 截面的几何性质

1. 静矩

$$S_z = \int_A y dA, S_y = \int_A z dA$$

2. 形心坐标

$$\bar{y} = \frac{S_z}{A}, \bar{z} = \frac{S_y}{A}$$

3. 轴惯性矩

$$I_z = \int_A y^2 dA = i_z^2 A, I_y = \int_A z^2 dA = i_y^2 A$$

式中 i_z, i_y 为惯性半径。

4. 对于 $b \times h$ 矩形截面

z 轴与边长为 b 的边平行且通过形心, 有

$$I_z = \frac{bh^3}{12}$$

y 轴与边长为 h 的边平行且通过形心, 则有

$$I_y = \frac{hb^3}{12}$$

5. 对于实心圆截面有

$$I_z = I_y = \frac{\pi d^4}{64}$$

对于空心圆截面, 有

$$I_z = I_y = \frac{\pi D^4}{64} (1 - \alpha^4)$$

6. 平行移轴公式

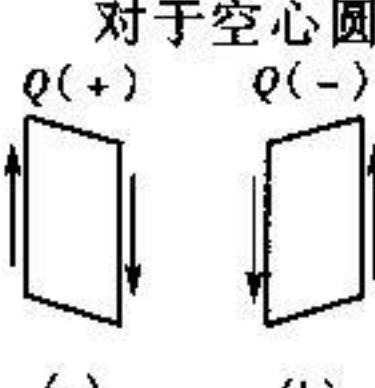
$$I_i = I_{zc} + a^2 A$$

式中 I_{zc} = 截面对形心轴惯性矩; $a = z_c$ 与 z 两平行轴间距离。

(五) 弯曲

1. 弯曲内力符号规定

产生左端向上, 右端向下错动的剪力为正如图 6-2 (a), 反之, 如图



6-2 (b) 为负。使底部纤维外凸（拉伸）的弯矩为正（图 6-3a），反之（图 6-3 (b)）为负。

2. q 、 Q 与 M 的微分关系

$$\frac{dQ}{dx} = q, \frac{dM}{dx} = Q, \frac{d^2M}{dx^2} = q,$$

q 为荷载集度，向上为正。

3. 弯曲正应力

$$\sigma = \frac{My}{I_z}$$

4. 强度条件

$$\sigma_{\max} = \frac{M_{\max}}{W_z} \leq [\sigma]$$

$b \times h$ 矩形截面

$$W_z = \frac{bh^2}{6}$$

空心圆截面

$$W_z = \frac{\pi D^3}{32}(1 - \alpha^4)$$

5. 弯曲剪应力

$$\tau = \frac{QS_z^*}{I_z b}$$

式中 $S_z^* = A^* \cdot \bar{y}$, A^* = 计算点横线以外部分截面面积。

$\bar{y} = A^*$ 部分截面形心到中性轴的距离, b = 计算点处截面宽度。

对于矩形截面, 有

$$\tau_{\max} = 1.5 \frac{Q}{A}$$

6. 弯曲变形

(1) 挠曲线微分方程

$$EIv'' = -M(x)$$

积分一次得转角方程, 再积一次得挠曲线方程, 积分常数由边界条件确定。

(2) 几种梁的变形见图 6-4、6-5。

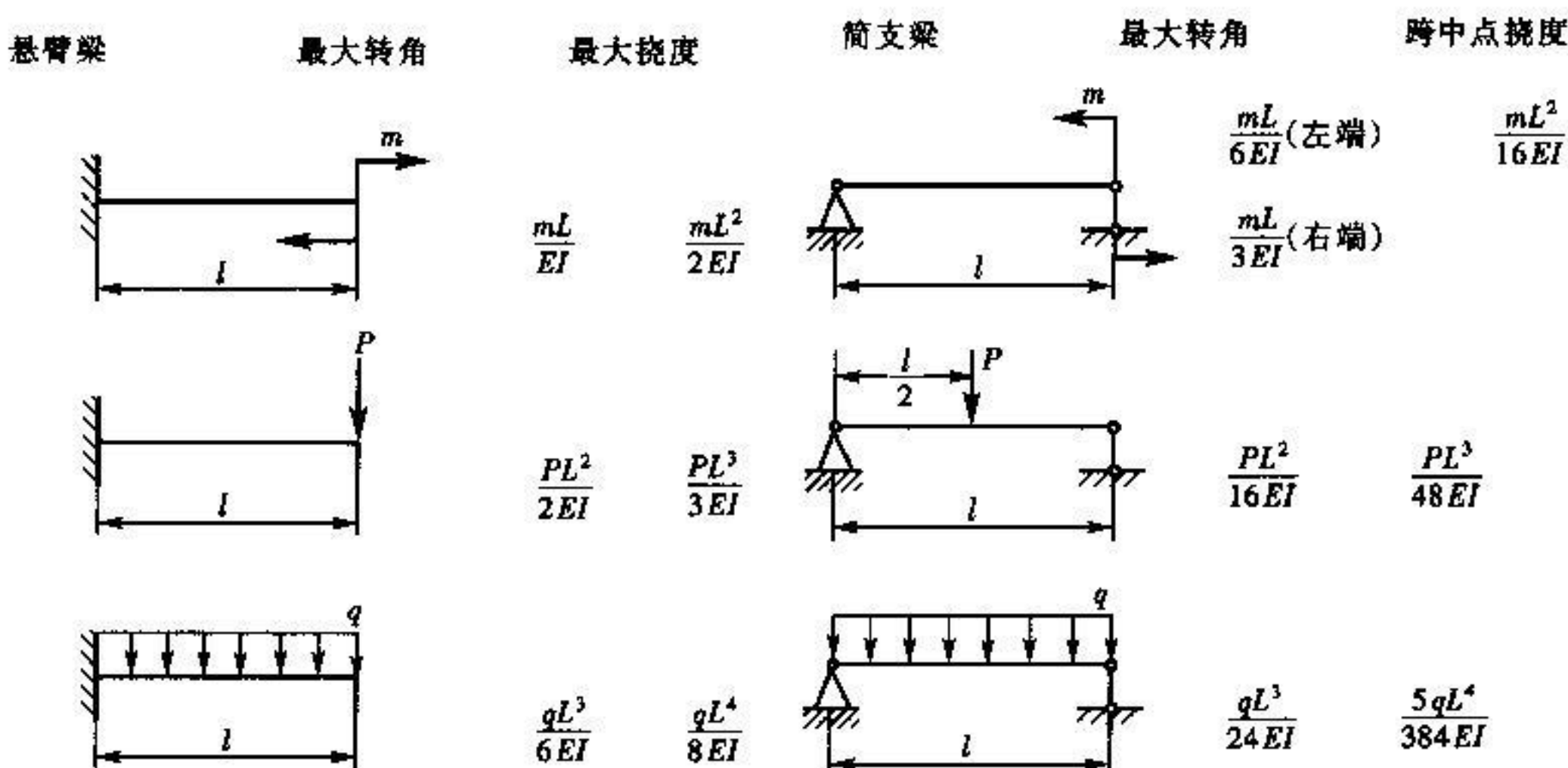


图 6-4

图 6-5

(3) 卡氏定理

$$\Delta \approx \frac{\partial U}{\partial P}$$

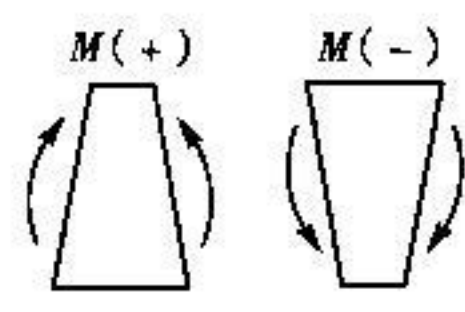


图 6-3

式中 Δ = 欲求的广义位移，可为挠度或转角等。

P = 与 Δ 相应的广义力，可为力或力偶矩。

$$\Delta = \frac{\partial U}{\partial P} = \int_L \frac{M(x)}{EI} \frac{\partial M(x)}{\partial P} dx = \int_L \frac{M(x) \bar{M}(x)}{EI} dx$$

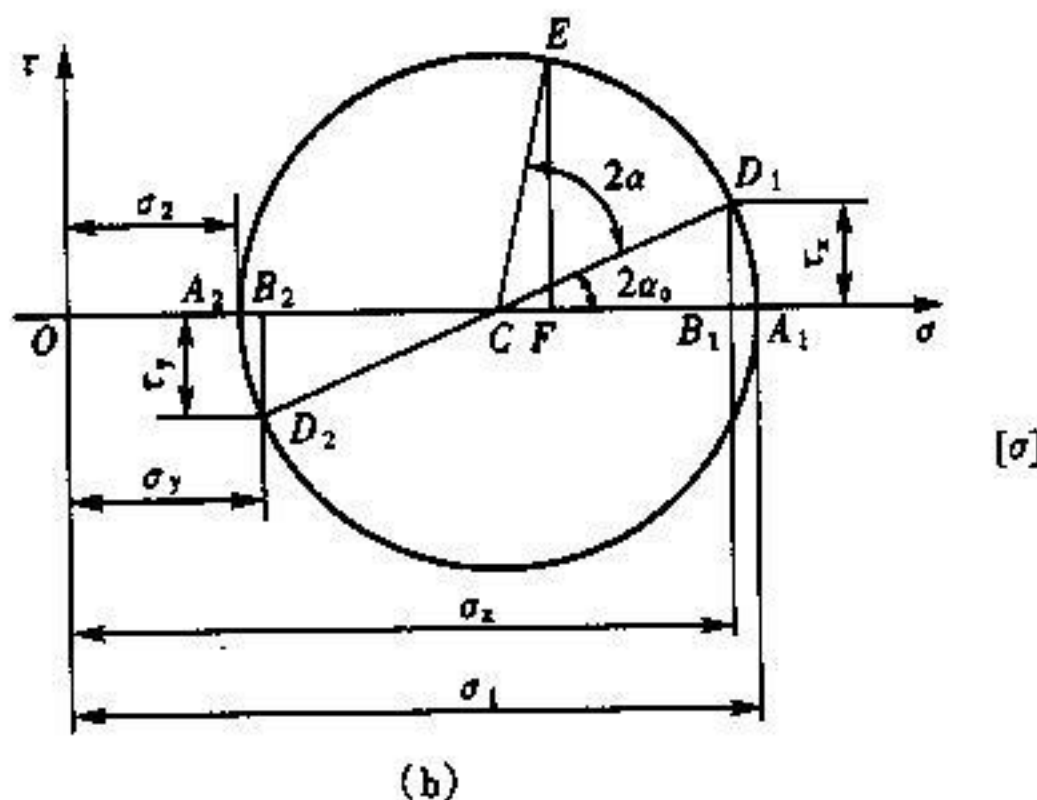
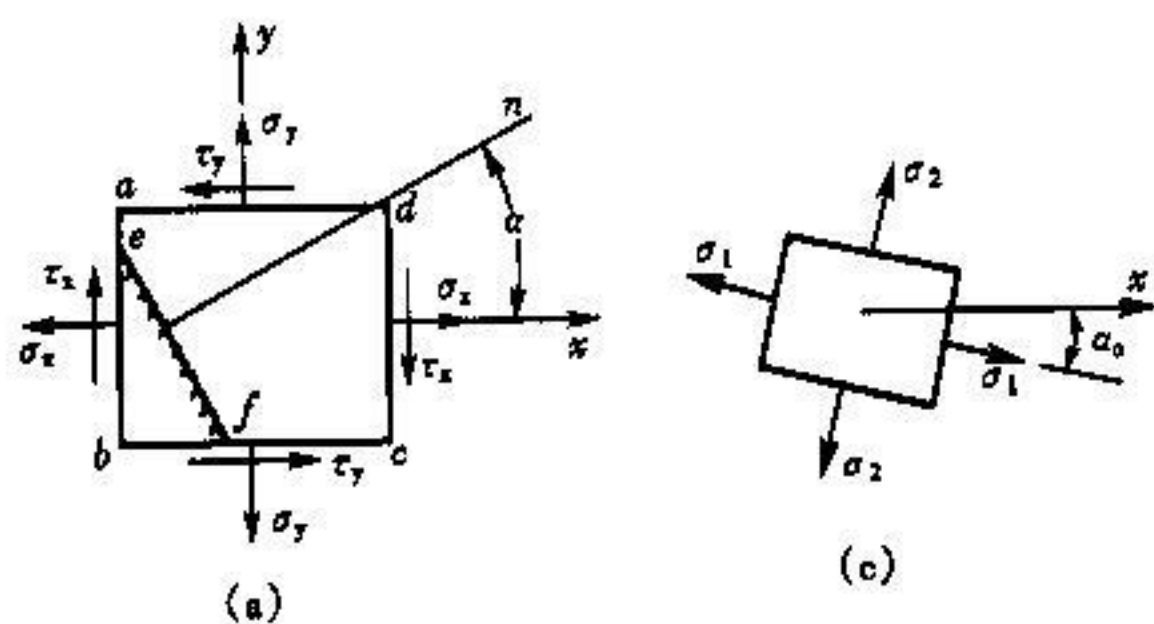


图 6-6

式中: $\frac{\partial M(x)}{\partial P} = \bar{M}(x)$ = 梁上只有与 Δ 相应的单位力或单位力偶矩作用引起的弯矩。

(六) 应力分析及强度理论

1. 任意斜截面 (图 6-6 (a)) 上的应力

$$\sigma_a = \frac{\sigma_x + \sigma_y}{2} + \frac{\sigma_x - \sigma_y}{2} \cos 2\alpha - \tau_{xy} \sin 2\alpha$$

$$\tau_a = \frac{\sigma_x - \sigma_y}{2} \sin 2\alpha + \tau_{xy} \cos 2\alpha$$

2. 应力圆如图 (6-6 (b))

在应力圆上可确定 σ_a 、 τ_a 、主应力及主平面角度。

3. 主应力及主方向 (图 6-6 (c))

$$\tan 2\alpha_0 = \frac{-2\tau_{xy}}{\sigma_x - \sigma_y}$$

$$\sigma_1 = \frac{\sigma_x + \sigma_y}{2} \pm \sqrt{\left(\frac{\sigma_x - \sigma_y}{2}\right)^2 + \tau_{xy}^2}$$

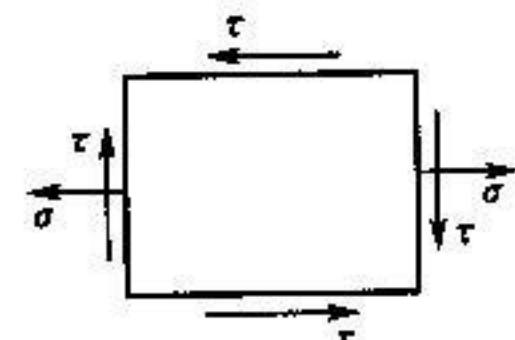
在平面应力状态，另有一个主应力为 0，应使 $\sigma_1 \geq \sigma_2 \geq \sigma_3$ (按代数值)，若公式算出的二个主应力值中一正一负，则负的一个作 σ_3 ；若公式算出的二个主应力皆负，则分别作为 σ_2 、 σ_3 。

4. 最大剪应力

$$\tau_{max} = \frac{\sigma_1 - \sigma_2}{2}$$

5. 广义虎克定律

$$\left. \begin{aligned} \epsilon_1 &= \frac{1}{E} [\sigma_1 - \nu(\sigma_2 + \sigma_3)] \\ \epsilon_2 &= \frac{1}{E} [\sigma_2 - \nu(\sigma_3 + \sigma_1)] \\ \epsilon_3 &= \frac{1}{E} [\sigma_3 - \nu(\sigma_1 + \sigma_2)] \end{aligned} \right\}$$



6. 四个常用强度理论

图 6-7

$$\sigma_{r1} = \sigma_1 \leq [\sigma]$$

$$\sigma_{r2} = \sigma_1 - \nu(\sigma_2 + \sigma_3) \leq [\sigma]$$

$$\sigma_{r3} = \sigma_1 - \sigma_3 \leq [\sigma]$$

$$\sigma_{r4} = \sqrt{\frac{1}{2}[(\sigma_1 - \sigma_2)^2 + (\sigma_2 - \sigma_3)^2 + (\sigma_3 - \sigma_1)^2]} \leq [\sigma]$$

对于图 6-7 所示应力状态，有

$$\sigma_{r3} = \sqrt{\sigma^2 + 4\tau^2}$$

$$\sigma_{r4} = \sqrt{\sigma^2 + 3\tau^2}$$

(七) 组合变形

1. 对于互相垂直两个平面弯曲的组合

矩形截面：

$$\sigma_{max} = \frac{M_y}{W_y} + \frac{M_z}{W_z} \leq [\sigma]$$

圆截面：

$$\sigma_{max} = \frac{\sqrt{M_y^2 + M_z^2}}{W} \leq [\sigma]$$

2. 拉、压与弯曲的组合

$$\sigma_{max} = \frac{N}{A} + \frac{M}{W} \leq [\sigma]$$

3. 扭转与弯曲的组合（圆截面）

$$\sigma_{r3} = \sqrt{\sigma^2 + 4\tau^2} = \frac{\sqrt{M^2 + T^2}}{W} \leq [\sigma]$$

$$\sigma_{r4} = \sqrt{\sigma^2 + 3\tau^2} = \frac{\sqrt{M^2 + 0.75T^2}}{W} \leq [\sigma]$$

(八) 压杆稳定

$$1. \text{ 细长压杆 } \left(\lambda \geq \lambda_p = \sqrt{\frac{\pi^2 E}{\sigma_p}} \right)$$

临界力公式见表 6-1

临界应力

$$\sigma_{cr} = \frac{\pi^2 E}{\lambda^2}$$

式中 $\lambda = \frac{\mu L}{i}$ = 柔度（或长细比）。

2. 中等柔度压杆 ($\lambda < \lambda_p$)

常用直线公式

$$\sigma_{cr} = a - b\lambda$$

3. 折减系数法

$$\sigma = \frac{P}{A} \leq \varphi[\sigma]$$

式中 φ 为折减系数，可根据 λ 查图表确定（表 6-1）。

各种约束条件下细长压杆的临界力公式

表 6-1

| 支端情况 | 两端铰支 | 一端固定另端铰支 | 两端固定 | 一端固定另端自由 | 两端固定但可沿横向相对移动 |
|----------------------|---------------------------------|--|--------------------------------------|------------------------------------|---------------------------------|
| 失稳时挠曲线形状 | | | | | |
| 临界力 P_{cr} 欧拉公式 | $P_{cr} = \frac{\pi^2 EI}{L^2}$ | $P_{cr} \approx \frac{\pi^2 EI}{(0.7L)^2}$ | $P_{cr} = \frac{\pi^2 EI}{(0.5L)^2}$ | $P_{cr} = \frac{\pi^2 EI}{(2L)^2}$ | $P_{cr} = \frac{\pi^2 EI}{L^2}$ |
| 长度系数 μ | $\mu = 1$ | $\mu \approx 0.7$ | $\mu = 0.5$ | $\mu = 2$ | $\mu = 1$ |

七、流体力学

(一) 流体的主要物理性质 (表 7-1)

1. 密度

对于均质流体

$$\rho = m/V$$

式中 ρ ——密度, SI 单位 kg/m^3 ;

m ——流体的质量;

V ——体积。

2. 粘度

牛顿内摩擦定律

$$\tau = \mu (du/dy)$$

式中 τ ——切应力;

du/dy ——流速梯度, 即流体微团的剪切变形速度;

μ ——[动力]粘度 (动力粘滞系数), SI 单位 $\text{Pa}\cdot\text{s}$;

ν ——运动粘度 (运动粘滞系数), $\nu = \mu/\rho$, SI 单位 m^2/s 。

3. 压缩系数

液体

$$k = -\frac{dV}{Vdp}$$

式中 k ——压缩系数, SI 单位 m^2/N ;

(dV/V) ——体积的相对压缩值;

dp ——压强增值;

K ——体积模量, $K = \frac{1}{k}$ 。

气体在通常压强范围内, 密度随温度和压强的变化符合气体状态方程。

补充说明

[1] 水的密度随温度和压强变化很小，一般以4℃时的密度 $\rho = 1000 \text{ kg/m}^3$ 做为计算值。

[2] 水的K值可采用 $2.1 \times 10^9 \text{ Pa}$ ，一般可以认为水是不可压缩的。

[3] 水银的密度一般可取 $\rho = 13600 \text{ kg/m}^3$ 做为计算值。

(二) 流体静力学

1. 重力作用下静水压强的分布规律

$$P = p_0 + \rho gh$$

$$z + \frac{P}{\rho g} = C$$

式中 P ——某点压强；

p_0 ——表面压强；

z ——某点在基准面以上的位置高度；

ρ ——流体的密度；

g ——重力加速度，一般计算取 $g = 9.807 \text{ m/s}^2$ 。

常见流体的主要物理性质

表 7-1

| 物性 流体 | 温 度 ℃ | ρ (kg/m^3) | μ ($10^{-3} \text{ Pa}\cdot\text{s}$) | ν ($10^{-6} \text{ m}^2/\text{s}$) | K (10^9 Pa) | 备 注 |
|----------|----------|-------------------------------|--|---|------------------------------|----------|
| 水 | 0 | 999.9 | 1.78 | 1.785 | 2.02 | |
| | 5 | 1000.0 | 1.518 | 1.519 | 2.06 | |
| | 10 | 999.7 | 1.307 | 1.306 | 2.10 | |
| | 20 | 998.2 | 1.002 | 1.003 | 2.18 | |
| 煤 油 | 20 | 814 | 1.900 | 2.30 | | |
| 水 银 | 0 | 13600 | | | | 压强: 1atm |
| | 20 | 13550 | 1.50 | 0.12 | | |
| 空 气 | 0 | 1.29 | 0.0172 | 13.7 | | |
| | 20 | 1.20 | 0.0183 | 15.7 | | |

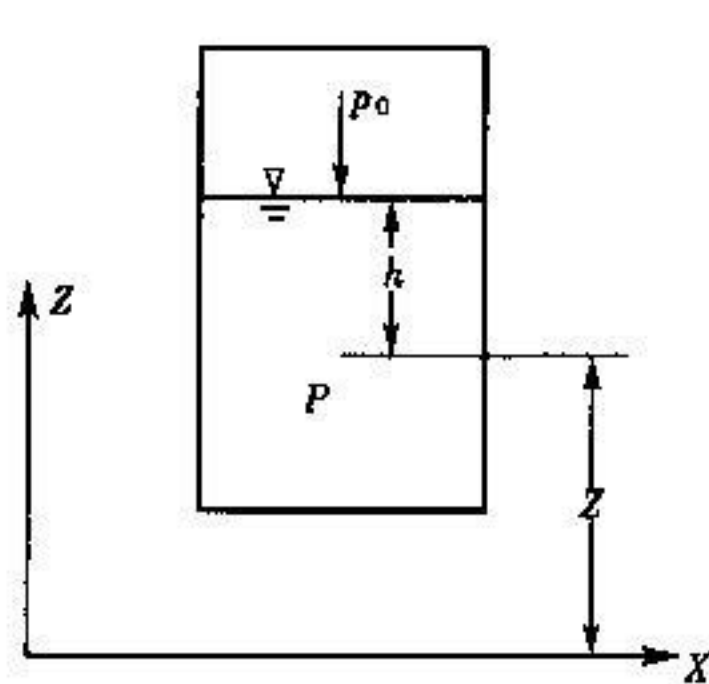


图 7-1

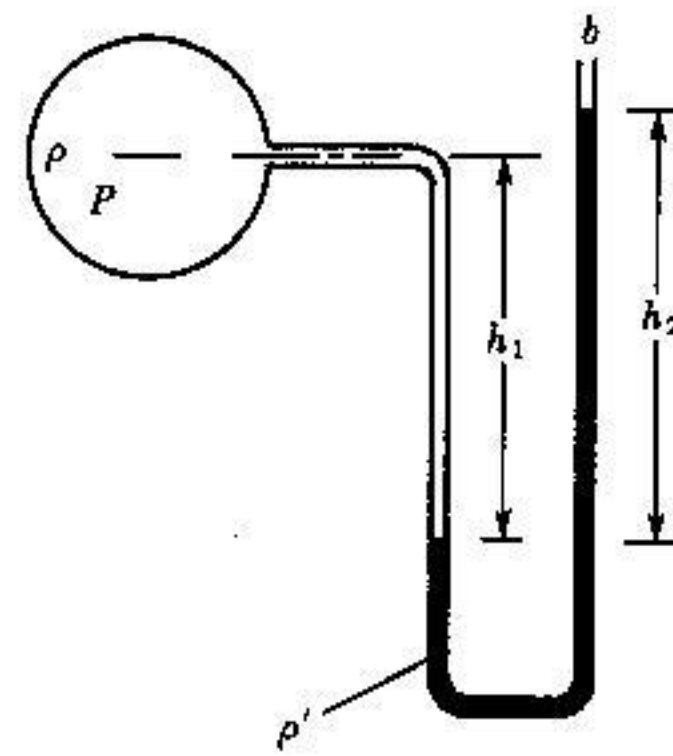


图 7-2

$$P = P_b + \rho' g h_2 - \rho g h_1$$

b 端通大气, P_b 为当地大气压 P_a , P 以绝对压强计:

$$P = P_a + \rho' g h_2 - \rho g h_1$$

P 以相对压强计:

$$P = P_a + \rho' g h_2 - \rho g h_1 - p_a = \rho' g h_2 - \rho g h_1$$

标准大气压

$$1\text{ atm} = 101325\text{ Pa}$$

2. 平面上的静水总压力

$$P = p_c A$$

$$\gamma_D = \gamma_c + I_{xc} / (y_c A)$$

式中 P —静水总压力;

p_c —受压面形心 C 点压强;

A —受压面面积;

γ_D — P 的作用点到 x 轴的距离;

γ_c —受压面形心到 x 轴的距离;

I_{xc} —面积 A 对通过形心点并与 x 轴平行的轴的惯性矩。

3. 曲面上的静水总压力

水平分力

$$P_x = p_c A_x$$

垂直分力

$$P_z = \rho g V$$

总压力

$$P = \sqrt{P_x^2 + P_z^2}$$

P 作用线与水平线夹角 $\alpha = \arctg (P_z / P_x)$

式中 p_c —曲面垂直投影面形心点的压强;

A_x —曲面垂直投影面的面积;

V —压力体的体积。

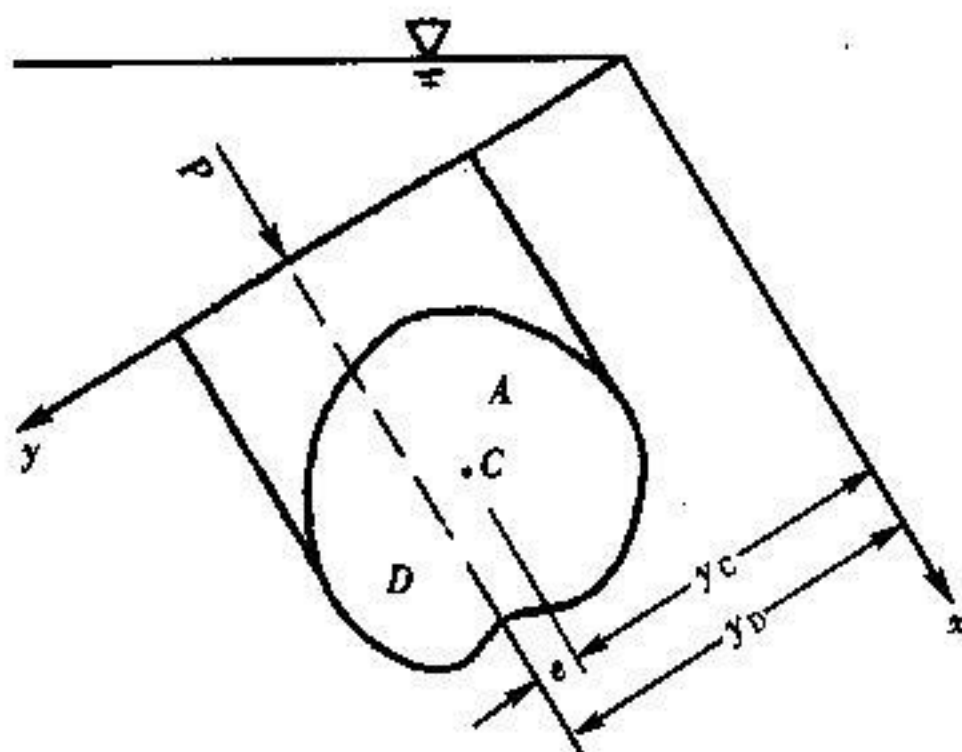


图 7-3

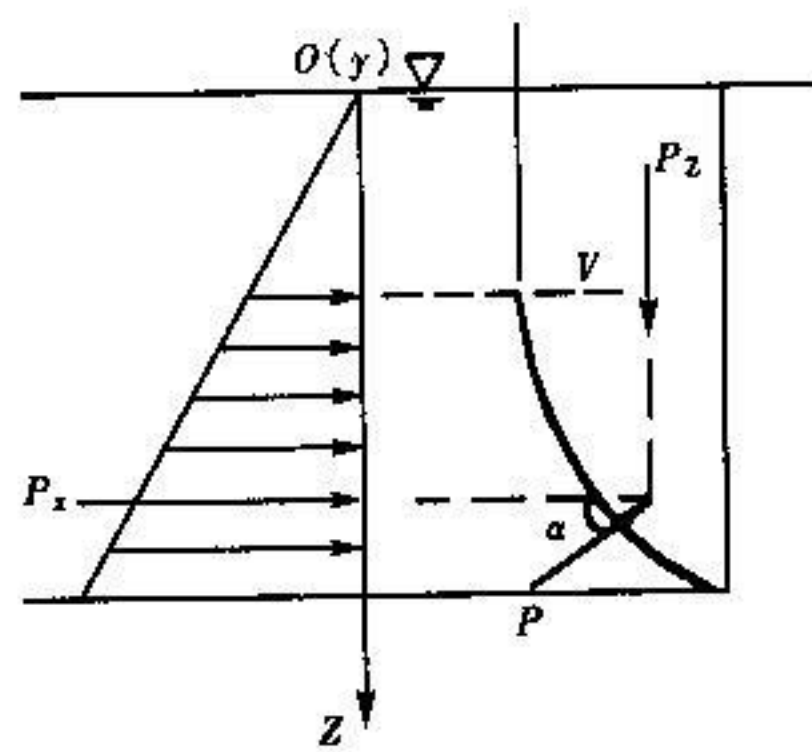


图 7-4

(三) 流体动力学基础

1. 恒定总流连续性方程

$$v_1 A_1 = v_2 A_2$$

式中 v_1 、 v_2 ——过流断面 (1, 2) 断面平均流速;

A_1 、 A_2 ——过流断面 (1, 2) 面积。

2. 恒定总流能量方程

$$z_1 + \frac{p_1}{\rho g} + \frac{\alpha_1 v_1^2}{2g} = z_2 + \frac{p_2}{\rho g} + \frac{\alpha_2 v_2^2}{2g} + h_w$$

式中 z_1 、 z_2 ——过流断面 (1, 2) 上计算点的位置高度;

p_1 、 p_2 ——过流断面 (1, 2) 上计算点的压强;

v_1 、 v_2 ——过流断面 (1, 2) 断面平均流速;

α_1 、 α_2 ——过流断面 (1, 2) 动能修正系数;

h_w ——总水头损失。

3. 恒定总流动量方程

$$\sum \bar{F} = \rho Q (\beta_2 \bar{v}_2 - \beta_1 \bar{v}_1)$$

式中 $\sum \bar{F}$ ——作用在控制体内流体上的合力;

ρ ——流体密度;

Q ——通过控制面的流量;

\bar{v}_1 、 \bar{v}_2 ——过流断面 (1, 2) 上的平均速度矢量;

β_1 、 β_2 ——过流断面 (1, 2) 动量修正系数。

(四) 流动阻力和水头损失

1. 雷诺数

$$R_e = \frac{vd\rho}{\mu} = \frac{vd}{\nu}$$

临界雷诺数

$$R_{ec} = \frac{v_c d}{\nu} = 2300$$

$$R_{ec,R} = \frac{v_c R}{\nu} = 575, \quad R \text{——水力半径}$$

$R_e < R_{ec}$: 层流; $R_e > R_{ec}$: 紊流

2. 沿程水头损失

$$h_f = \lambda \frac{l}{d} \frac{v^2}{2g}$$

沿程摩阻系数 (阻力系数):

圆管层流 $\lambda = 64/R_e$

圆管紊流 $\lambda = f(R_e, K_e/d)$, 见 Moody 图 (图 7-8)

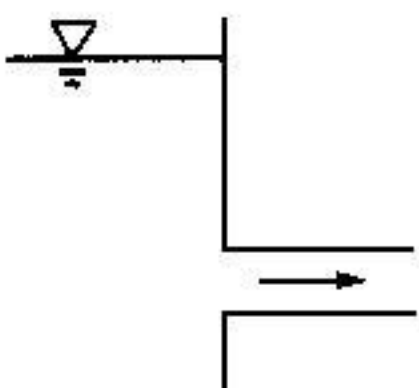
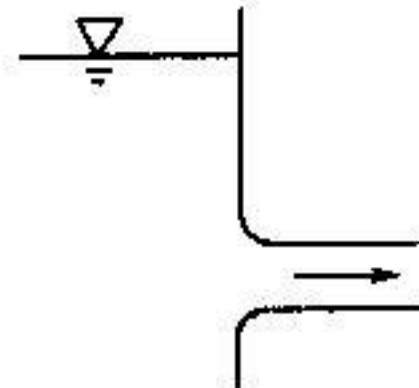
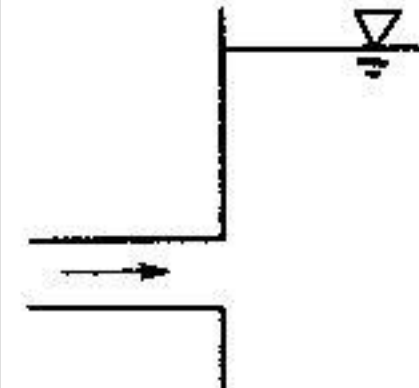
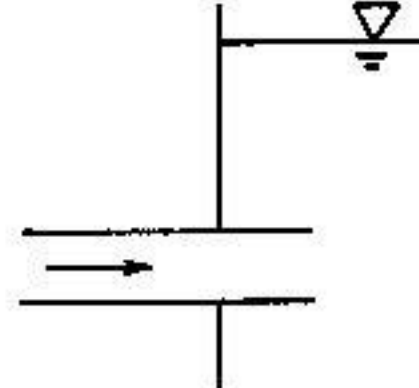
3. 局部水头损失

$$h_f = \xi \frac{v^2}{2g}$$

式中 ξ ——局部损失系数。

管道进、出口局部损失系数

表 7-2

| 类 别 | 直角进口 | 修圆进口 | 直角出口 | 插入出口 |
|-------|---|--|---|---|
| 图 示 |  |  |  |  |
| ξ | 0.5 | 0.1 | 1.0 | 0.8 |

圆管突然扩大局部水头损失

$$h_j = \frac{(v_1 - v_2)^2}{2g}$$

式中 v_1 ——细管断面平均流速； v_2 ——粗管断面平均流速。

4. 绕流阻力

$$D = C_D \frac{\rho U_\infty^2}{2} A$$

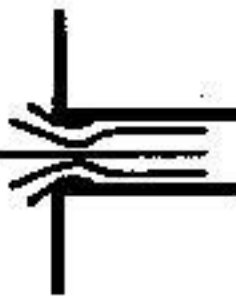
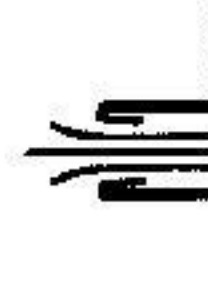
式中 D ——绕流阻力； C_D ——绕流阻力系数，其值取决于绕流体体型和 R_e ，见图 $C_D - R_e$ 曲线（图 7-9）； U_∞ ——未扰动的来流速度； A ——绕流物体的迎流面积。

(五) 孔口、管嘴出流，有压管道恒定流

1. 孔口、管嘴出流

孔口、管嘴出流系数

表 7-3

| 类 别 | 锐 缘 孔 口 | 修 圆 孔 口 | 圆柱形外管嘴 | 圆柱形内管嘴 |
|-------------------|---|---|---|---|
| 图 示 |  |  |  |  |
| 收缩系数 ϵ | 0.64 | 1.00 | 1.00 | 0.52 |
| 流速系数 φ | 0.97 | 0.98 | 0.82 | 0.98 |
| 流量系数 μ, μ_n | 0.62 | 0.98 | 0.82 | 0.52 |

孔口出流

$$Q = \mu A \sqrt{2gH}$$

管嘴出流

$$Q = \mu_n A \sqrt{2gH}$$

式中 Q ——流量; A ——孔口(管嘴)面积; H ——水头, 自由出流情况, 在上游水面通大气时, H 为水面至孔口(管嘴)形心的深度; 淹没出流情况, 在上、下游水面通大气时, H 为上、下游水面差。 μ, μ_n ——流量系数。

2. 有压管道恒定流

短管

$$z_1 + \frac{p_1}{\rho g} + \frac{\alpha_1 v_1^2}{2g} = z_2 + \frac{p_2}{\rho g} + \frac{\alpha_2 v_2^2}{2g} + h_w$$

$$v_1 A_1 = v_2 A_2$$

串联管道(长管), 图 7-5。

$$H = \sum_{i=1}^n h_{fi}$$

$$Q_i = q_i + Q_{i+1}$$

式中 Q_i ——管中流量; q_i ——节点出流量。

并联管道(长管), 图 7-6。

$$\lambda_1 \frac{l_1 v_1^2}{d_1 2g} = \lambda_2 \frac{l_2 v_2^2}{d_2 2g}$$

$$Q = Q_1 + Q_2$$

3. 泵的功率

$$P = \rho g Q H / \eta$$

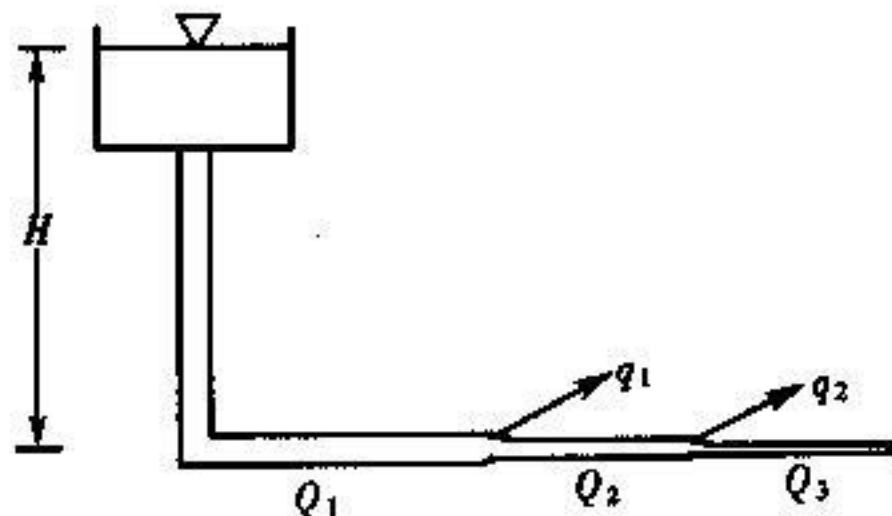
式中 P ——功率, (W); Q ——流量, (m^3/s); H ——扬程, m; η ——效率。

图 7-5

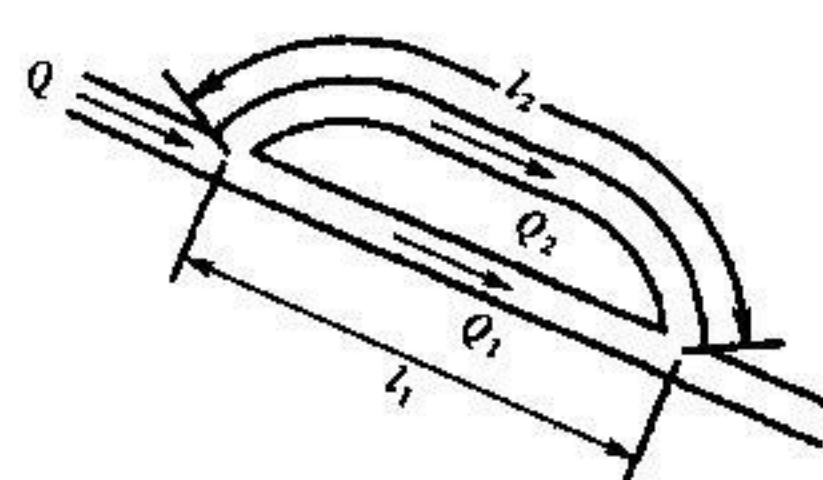


图 7-6

(六) 明渠恒定均匀流

谢才 (Chezy, A.de) 公式:

$$Q = Av \\ v = C \sqrt{Ri}$$

式中 v —平均流速 (m/s);
 C —谢才系数 ($m^{1/2}/s$);
 i —渠道底坡;
 R —水力半径 (m);
 A —过水断面积。

曼宁 (Manning, R) 公式

$$C = \frac{1}{n} R^{1/6}$$

式中 n —粗糙系数

(七) 渗流

1. 达西 (Darcy, H) 定律

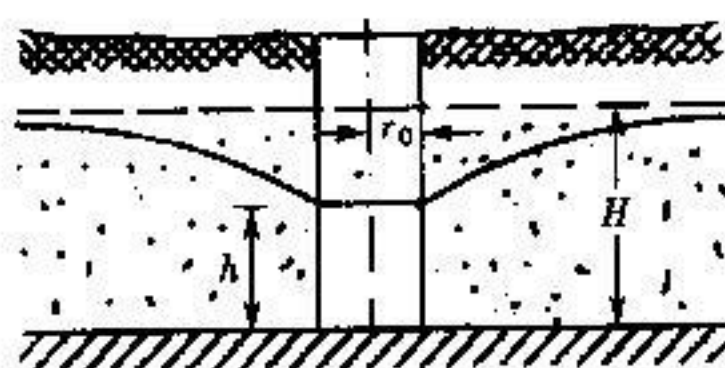


图 7-7

式中 v —渗流模型的断面平均流速;
 k —土体渗透系数;
 J —水力坡度。

2. 潜水完全井

$$Q = 1.366 \frac{k (H^2 - h^2)}{\lg \frac{R}{r_0}}$$

式中 Q —井的产水量;
 k —土体渗透系数;
 H —含水层厚度;
 h —井中水深;
 r_0 —井的半径;
 R —影响半径。

(八) 相似原理和量纲分析

1. 相似准则

雷诺 (Reynolds) 准则

$$Rep = Rem: \frac{v_p l_p}{\nu_p} = \frac{v_m l_m}{\nu_m}$$

弗劳德 (Froude) 准则

$$Fr_p = Fr_m: \frac{v_p}{\sqrt{g_p l_p}} = \frac{v_m}{\sqrt{g_m l_m}}$$

欧拉 (Euler) 准则

$$Eup = Eum: \frac{p_p}{\rho_p v_p^2} = \frac{p_m}{\rho_m v_m^2}$$

2. 量纲分析法

Ⅱ定理: 任何一个物理过程, 如包含有 n 个物理量, 涉及到 m 个基本量纲 (通常采用 L.T.M), 则这个物理过程可由 n 个物理量组成的 $(n - m)$ 个无量纲量所表达的关系式来描述。

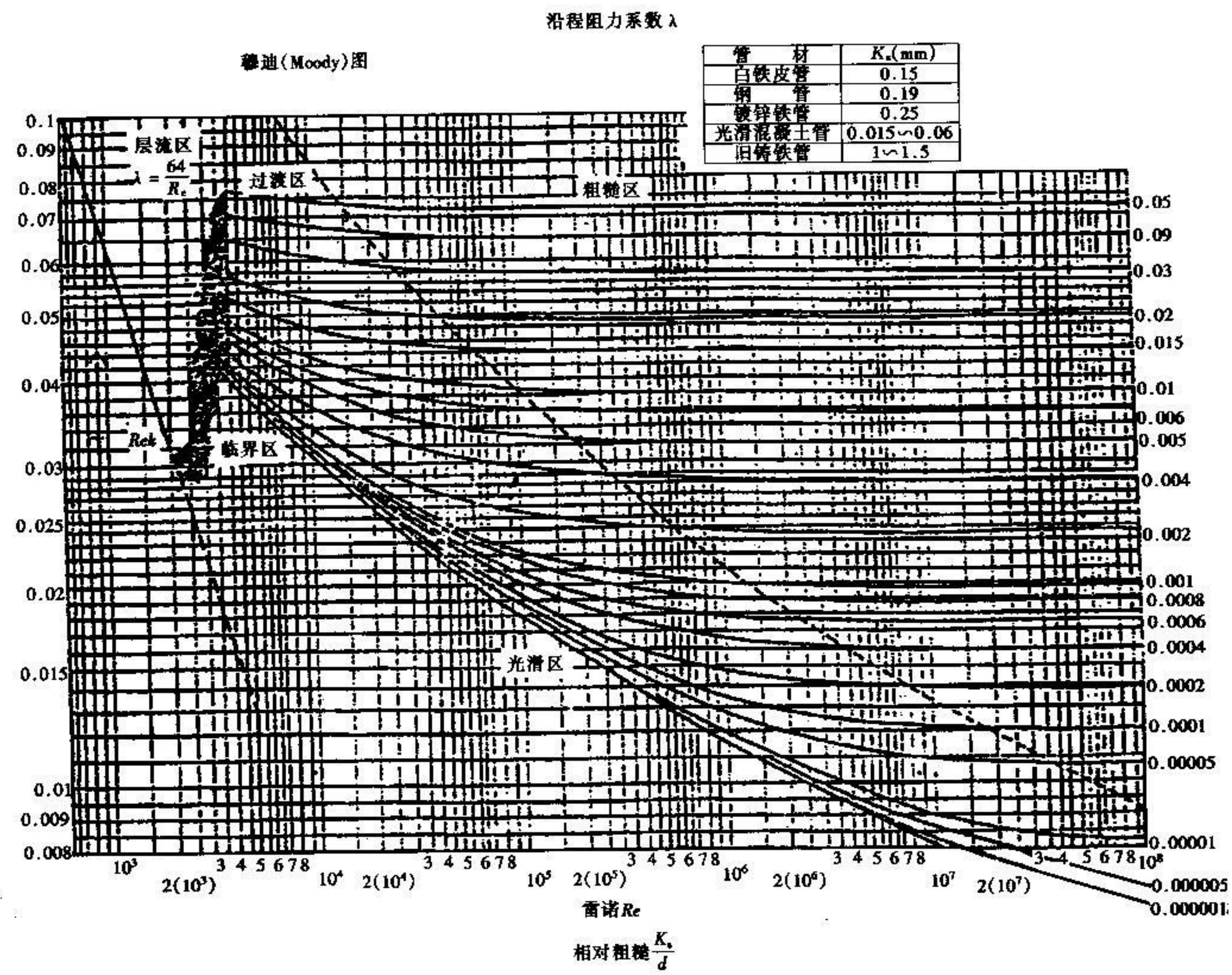


图 7-8

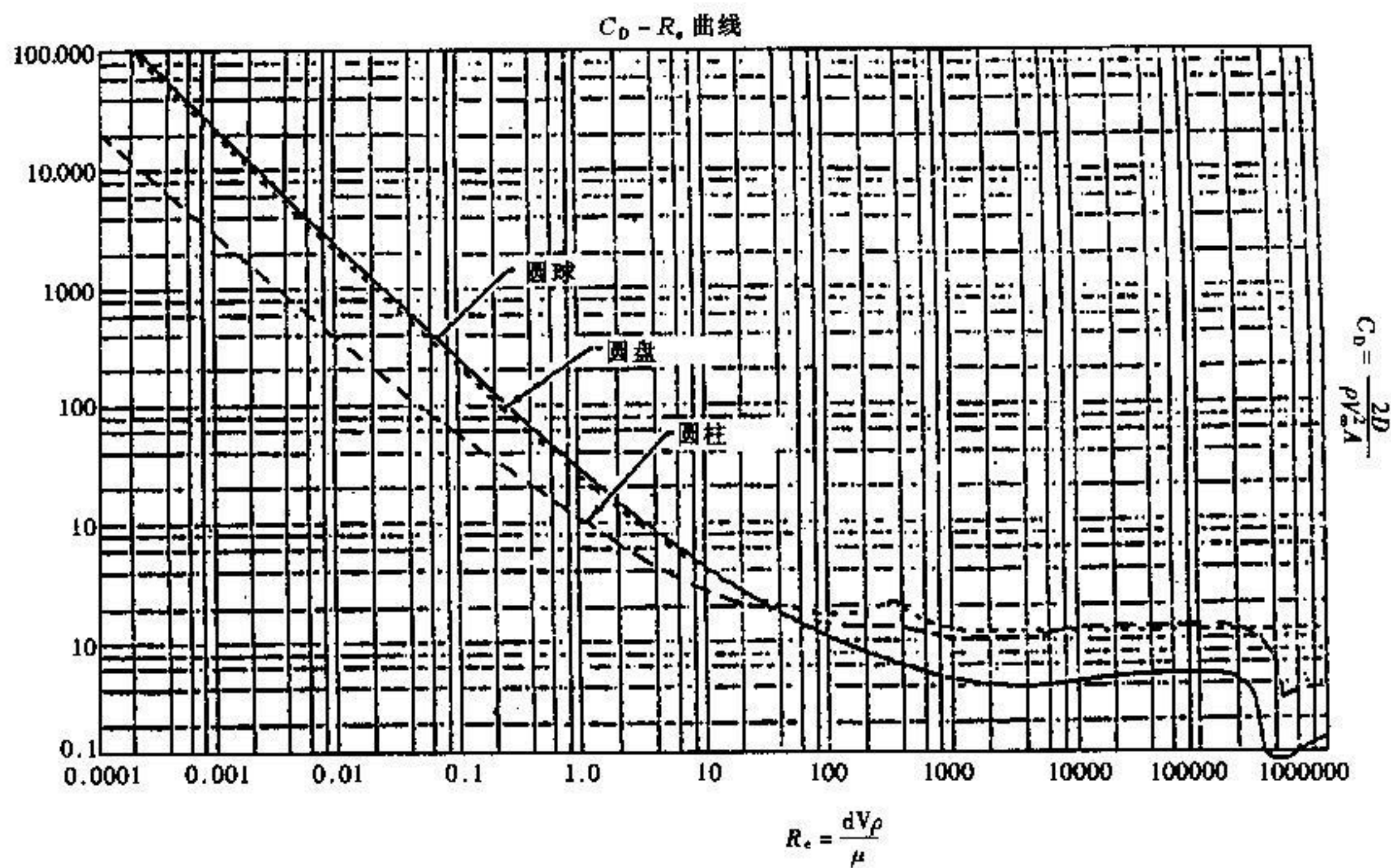


图 7-9

八、电工学

(一) 电场与磁场

1. 电场与磁场 (见表 8-1)

电场与磁场的基本定律及公式

表 8-1

| 名 称 | 公 式 | 说 明 |
|-------|---|---|
| 库仑定律 | $F_{21} = -F_{12} = \frac{1}{4\pi\epsilon_0} \frac{q_1 q_2}{r_{12}^3} r_{12}$ | F_{21} ——点电荷 q_1 对点电荷 q_2 的作用力 (N) F_{12} ——点电荷 q_2 对点电荷 q_1 的作用力 (N) r_{12} ——点电荷 q_1 和点电荷 q_2 之间的距离 (m) r_{12} ——点电荷 q_1 指向点电荷 q_2 的矢径 (m) ϵ_0 ——真空的介电常数, 其值为 $8.85 \times 10^{-12} \text{ F/m}$ |
| 电场强度 | $E = \frac{q}{4\pi\epsilon_0 r^3} r$ | E ——点电荷 q 产生的电场强度 (V/m) r ——点电荷 q 至观察点的距离 (m) r ——点电荷 q 指向观察点的矢径 (m) |
| 电场力的功 | $A_{ab} = \int_a^b \mathbf{F} \cdot d\mathbf{l}$ | A_{ab} ——电场力将电荷从 a 点移到 b 点所作的功 (J) F ——电场对电荷的作用力 (N) |

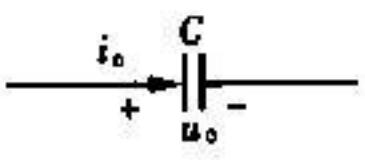
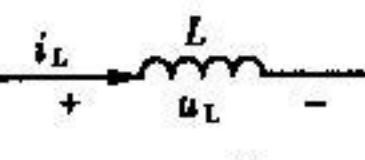
续表

| 名称 | 公式 | 说明 |
|--------------|--|---|
| 高斯定理 | $\oint_A \mathbf{E} \cdot d\mathbf{A} = \frac{\Sigma_q}{\epsilon_0}$ | E —电场强度 (V/m) Σ_q —封闭曲面内各种电荷的代数和 (C) ϵ_0 —真空的介电常数 (F/m) |
| 磁场强度 | $H = \frac{B}{\mu}$ | H —磁场强度 (A/m) B —磁通密度, 又称磁感应强度 (T) μ —磁介质的磁导率, 在空气中 $\mu = \mu_0 = 4\pi \times 10^{-7} H/m$ |
| 安培力 (电磁力) | $dF = Idl \times B$ 均匀磁场时 $F = BlI$ | F —磁场对载流导线的作用力 (N) I —导线载有的电流 (A) l —载有电流的导线长 (m) |
| 安培 环路定律 | $\oint_L \mathbf{B} \cdot d\mathbf{l} = \mu_0 \Sigma I$ | B —磁感应强度 (T) μ_0 —真空导磁率 (H/m) ΣI —闭合曲线内各电流的代数和 (A) |
| 电磁 感应定律 | $e = -N \frac{d\Phi}{dt}$ 当 Blv 三者方向互相垂直时 $e = Blv$ | e —感生电动势 (V) N —线圈匝数 $d\Phi/dt$ —磁通量对时间的变化率 v —直导线运动速度 (m/s) l —直导线长 (m) |

2. 电容元件与电感元件 (见表 8-2)

电容元件与电感元件的基本性能

表 8-2

| 元件名称及符号 | 伏 安 关 系 | 储 能 | 说 明 |
|---|---|--|--|
|  电容元件 | $u_c(t) = u_c(0) + \frac{1}{C} \int_0^t i_c(\tau) d\tau$ $i_c(t) = C(u_c/dt)$ | $\frac{1}{2} C u_c^2$ $= q_c^2 / 2C$ $= q_c \cdot u_c / 2$ | $u_c(0)$ — $t=0$ 时电容电压 (V) q_c —电容所带电量 (C) C —电容 (F) |
|  电感元件 | $u_L(t) = L(di_L/dt)$ $i_L(t) = i_L(0) + \frac{1}{L} \int_0^t u_L(\tau) d\tau$ | $\frac{1}{2} L i_L^2$ | $i_L(0)$ — $t=0$ 时电感电流 (A) L —自感 (H) |

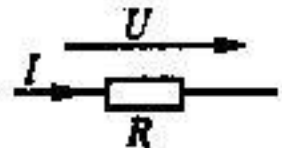
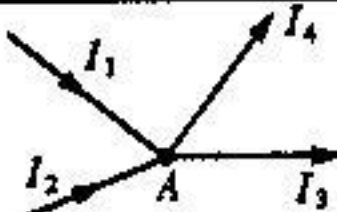
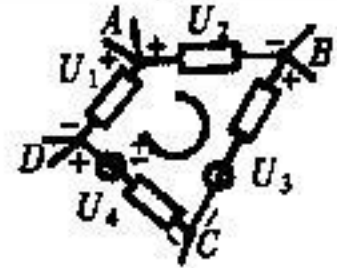
(二) 直流电路

1. 欧姆定律 (见表 8-3)

2. 基尔霍夫定律 (见表 8-3)

电路的基本定律

表 8-3

| 名 称 | 电 路 图 | 公 式 | 说 明 |
|--------|---|--------------|---|
| 欧姆定律 |  | $U = IR$ | R —电阻 (Ω) U —电阻两端电压 (V) I —流过电阻的电流 (A) |
| 基尔霍夫定律 | KCL  | $\sum I = 0$ | $\sum I$ —任一瞬间，任意节点上电流的代数和 (A) |
| | KVL  | $\sum U = 0$ | $\sum U$ —任一瞬间，任意回路内各部分电压降的代数和 (V) |

3. 戴维南定理

任何一个线性有源两端网络 N_A [图 8-1 (a)]，对外电路来说，都可以等效为戴维南网络 [图 8-1 (b)] 或诺顿网络 [图 8-1 (c)]。图中 U_0 为 N_A 的开路电压， I_s 为 N_A 端口短路时的电流， R_0 为 N_A 除源后的等效电阻。

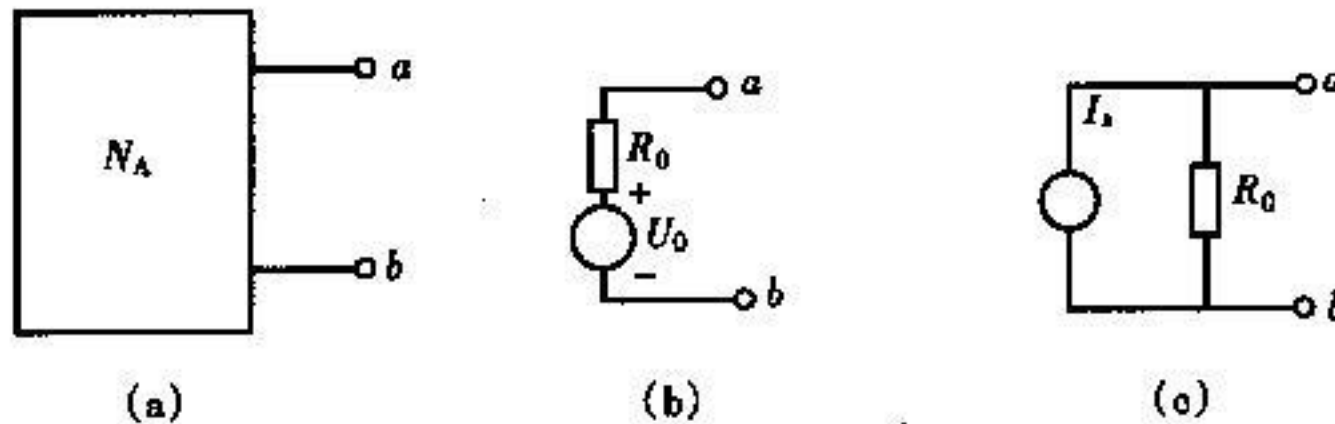


图 8-1

(三) 正弦交流电路

1. 有效值 (均方根值) $X = \left[(1/T) \int_0^T x^2(t) dt \right]^{1/2}$

式中 X —正弦量的有效值；

T —正弦量的周期 (s)；

$x(t)$ —正弦量的瞬时值，如电压 u 、电流 i 、电动势 e 等。

2. 相量法

正弦量 (例如电流) $i = \sqrt{2} I \cdot \sin(\omega t + \varphi)$ ，可表示为相量形式： $\dot{i} = I e^{j\varphi} = I \angle \varphi$

复阻抗 $Z = R + jX = |Z| \angle \varphi (\Omega)$

复阻抗摸 $|Z| = \sqrt{R^2 + X^2} = \sqrt{R^2 + (X_L - X_C)^2}$

阻抗角 $\varphi = \operatorname{tg}^{-1} \frac{X}{R} (\text{度})$

式中 X —电抗，其值为 $(X_L - X_C)(\Omega)$ ；

X_L —感抗，其值为 $X_L = \omega L(\Omega)$ ；

X_C —容抗，其值为 $X_C = 1/\omega C(\Omega)$ 。

3. 欧姆定律相量形式

$$\dot{U} = \dot{i} Z$$

4. 功率 (见表 8-4)

正弦电路的功率

表 8-4

| 电 路 图 | 名 称 | 公 式 | 说 明 |
|-------|--------------------|------------------------------|--|
| | 有功功率 (平均功率) (W) | $P = UI \cos \varphi$ | N_p ——无源二端网络 φ ——负载的阻抗角 ($^\circ$) 国家标准规定功率因数符号为 λ , 大多数科书仍沿用 $\cos \varphi$ |
| | 无功功率 (Var) | $Q = UI \sin \varphi$ | |
| | 视在功率 (VA) | $S = UI = \sqrt{P^2 + Q^2}$ | |
| | 功率因数 | $\cos \varphi = \frac{P}{S}$ | |

5. 三相电路 (见表 8-5)

对称三相电路的基本关系式

表 8-5

| 名 称 | 基 本 关 系 式 | 说 明 |
|-------------|--|--|
| 三相电源 | $\dot{U}_A = U_p / 0^\circ$ | U_A ——A 相电压 (V) U_B ——B 相电压 (V) U_C ——C 相电压 (V) U_p ——相电压 (V) |
| | $\dot{U}_B = U_p / -120^\circ$ | |
| | $\dot{U}_C = U_p / -240^\circ = U_p / 120^\circ$ | |
| 负载 星形连接 | $U_l = \sqrt{3} U_p$ $I_l = I_p$ | U_l ——线电压 (V) I_p ——相电流 (A) I_l ——线电流 (A) |
| 负载 三角形连接 | $I_l = \sqrt{3} I_p$ $U_l = U_p$ | |

6. 谐振电路 (见表 8-6)

RLC 电路中的谐振

表 8-6

| 电 路 形 式 | | |
|------------------------------|---|---------------------------------------|
| 谐振 角频率 ω_0 (rad/s) | $\frac{1}{\sqrt{LC}}$ | $\frac{1}{\sqrt{LC}}$ |
| 谐振时 电路阻抗 Z (Ω) | R | R |
| 品质因数 Q | $\frac{\omega_0 L}{R} = \frac{1}{\omega_0 C R}$ | $\omega_0 R C = \frac{R}{\omega_0 L}$ |
| 频带宽 BW (rad/s) | $\frac{\omega_0}{Q}$ | $\frac{\omega_0}{Q}$ |

(四) RC 和 RL 电路暂态过程

1. 换路定律 $u_c(0^+) = u_c(0^-); i_L(0^+) = i_L(0^-)$ 。2. 三要素法 $f(t) = f(\infty) + [f(0^+) - f(\infty)] e^{-t/\tau}$ 式中 $f(t)$ ——电路的全响应; $f(\infty)$ ——响应的稳态值; $f(0^+)$ ——响应的初始值; τ ——电路的时间常数 (s)。

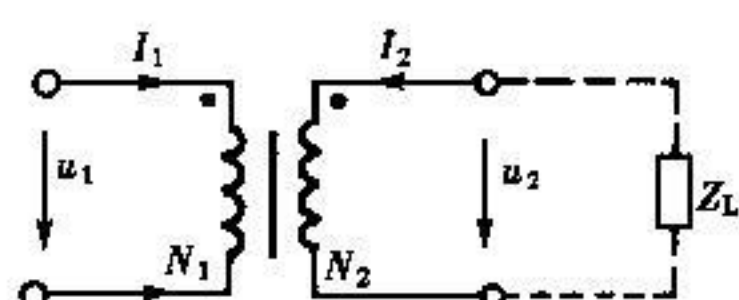
3. RC 和 RL 电路暂态过程 (见表 8-7)

RC 和 RL 电路暂态过程

表 8-7

| | | |
|----------------------|---|---|
| 电路形式 | | |
| $t \geq 0$ 时 电路响应 | $u_c(t) = u_c(0^+) e^{-t/RC} + U_s(1 - e^{-t/RC})$ $i(t) = \frac{U_s - u_c(0^+)}{R} e^{-t/RC}$ $u_R(t) = R \cdot i(t) = [U_s - u_c(0^+)] e^{-t/RC}$ | $i_L(t) = i_L(0^+) e^{-Rt/L} + \frac{U_s(1 - e^{-Rt/L})}{R}$ $U_R(t) = i_L(t) \cdot R$ $= i_L(0^+) Re^{-Rt/L} + U_s(1 - e^{-Rt/L})$ $u_L(t) = L(d i_L / dt)$ $= -i_L(0^+) Re^{-Rt/L} + U_s e^{-Rt/L}$ |
| 说 明 | $u_c(0^+), i_L(0^+)$ —— 分别为电容电压和电感电流的初始值 $RC, L/R$ —— 分别为 RC 电路和 RL 电路的时间常数 | |

(五) 变压器与电动机



1. 理想变压器 (图 8-2) 的匝数比

$$k = N_1/N_2 \approx U_1/U_2 = I_2/I_1$$

输入阻抗 $Z_1 = k^2 \cdot Z_L$

2. 三相异步电动机转速 n 为

$$n = (1 - s)60f_1/p \text{ (r/min)}$$

式中 s —— 转差率, 也称滑差率, 其值为 $(n_1 - n)/n_1$;

p —— 磁极对数;

f_1 —— 电源频率 (Hz)。

三相异步电动机同步转速 n_1 为 $n_1 = 60f_1/p$ (r/min)

$$\left. \begin{array}{l} \text{异步电动机的输入功率} \quad P_1 = \sqrt{3} U_1 I_1 \cos \varphi_1 (\text{W}) \\ \text{异步电动机的输出功率} \quad P_2 = \eta P_1 (\text{W}) \end{array} \right\}$$

式中 U_1 —— 异步电动机的定子电压 (V);

I_1 —— 异步电动机的定子电流 (A);

$\cos \varphi_1$ —— 异步电动机的功率因数;

η —— 异步电动机的效率。

(六) 二极管及整流、稳压电路

1. 晶体二极管

正向导通时, 硅管压降为 $0.6 \sim 0.7 \text{ V}$, 锗管为 $0.2 \sim 0.3 \text{ V}$ 。理想二极管正向导通时的管压降为零, 反偏时, 可以将其看成开路。

利用二极管可组成桥式整流电路, 如图 8-3 (a) 所示。图中 $U_L \approx 0.9U_i$; 若在电路输出端与负载 R_L 并联一个电容 C , 且使 $R_L C = (3 \sim 5) T/2$ (T 为电源电压 u_i 的周期), 则

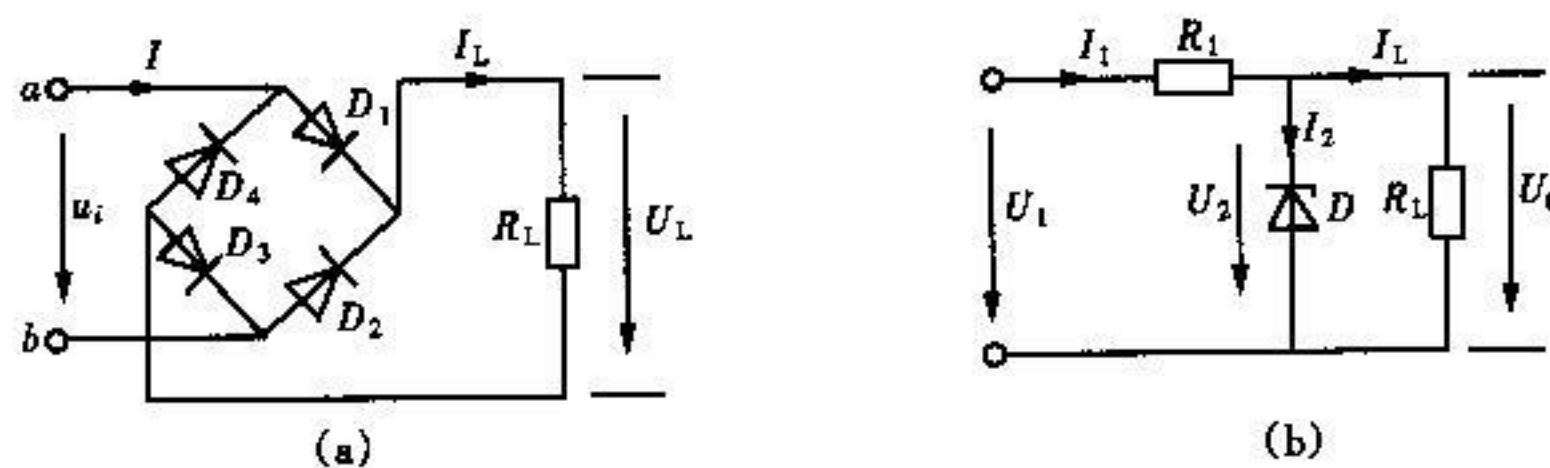


图 8-3

$$U_L \approx 1.2U_i$$

2. 稳压二极管

稳压二极管的稳定电压为 U_z ，稳定电流为 I_z ，两者变化量之比称为动态电阻，即 $r_z = \Delta U_z / \Delta I_z$ 。利用稳压二极管组成的稳压电路，如图 8-3 (b) 所示。

(七) 三极管及单管放大电路

1. 三极管 (见表 8-8)

三极管 (NPN 型)

表 8-8

| 器件符号 | 数学关系式 | 工作状态 | 小信号模型 |
|------|---|--|--|
| | $i_E = i_C + i_B$ 导通时硅管的 U_{BE} 为 $(0.6 \sim 0.8V)$ 锗管为 $(0.1 \sim 0.3V)$ | 放大区 $I_C \approx \beta I_B$ 饱和区 $I_B > 0$ $\beta I_B > I_C > 0$ 截止区 $I_B \leq 0$ | $r_{be} = 300 + (1 + \beta) \frac{26}{I_E \text{ (mA)}}$ |

2. 单管放大电路 (见表 8-9)

单管放大器电路

表 8-9

| 电路名称 | 共发射极电路 | | 共集电极电路 |
|-------|---|---|---|
| | 固定偏流式电路 | 射极偏置电路 | |
| 电路图 | | | |
| 静态工作点 | $I_B = \frac{U_{CC} - U_{BE}}{R_b}$ $I_C = \beta I_B$ $U_{CE} = U_{CC} - I_C R_C$ | $U_B = U_{CC} \frac{R_{b2}}{R_{b1} + R_{b2}}$ $I_C \approx I_E = \frac{U_B - U_{BE}}{R_e}$ $I_B = \frac{I_C}{\beta}$ $U_{CE} \approx U_{CC} - I_C (R_C + R_s)$ | $I_B = \frac{U_{CC} - U_{BE}}{R_b + (1 + \beta) R_e}$ $I_C = \beta I_B$ $U_{CE} = U_{CC} - I_C R_C$ |

续表

| 电路名称 | 共发射极电路 | | 共集电极电路 |
|-----------------------------------|---|--|--|
| | 固定偏流式电路 | 射极偏置电路 | |
| 电压放大倍数 $A_u = \frac{U_o}{U_i}$ | $A_u = -\frac{\beta R'_L}{r_{be}} (R_L = R_o // R_L)$ | $A_u = -\frac{\beta R'_L}{r_{be}} (R'_L = R_o // R_L)$ | $A_u = \frac{(1+\beta) R'_L}{r_{be} + (1+\beta) R'_L} (R'_L = R_o // R_L) \approx 1$ |
| 输入电阻 r_i | $r_i = R_b // r_{be}$ | $r_i = R_{b1} // R_{b2} // r_{be}$ | $r_i = R_b // [r_{be} + (1+\beta) R'_L]$ |
| 输出电阻 r_o | $r_o \approx R_o$ | $r_o \approx R_o$ | $r_o = R_o // \frac{r_{be} + R'_o}{1+\beta} (R'_o = R_o // R_b)$ |

(八) 运算放大器

理想运放组成的电路(图8-4(a)), 其输出为

$$u_0 = -\frac{R_F}{R_1} u_1 + \left(1 + \frac{R_F}{R_1}\right) u_2$$

若 $u_1 = 0$, 则 $u_0 = \left(1 + \frac{R_F}{R_1}\right) U_2$ 若 $u_2 = 0$, 则 $u_0 = -\frac{R_F}{R_1} u_1$

图8-4b所示的积分器, 其输出为

$$u_0 = -\frac{1}{R_1 C} \int u_i dt$$

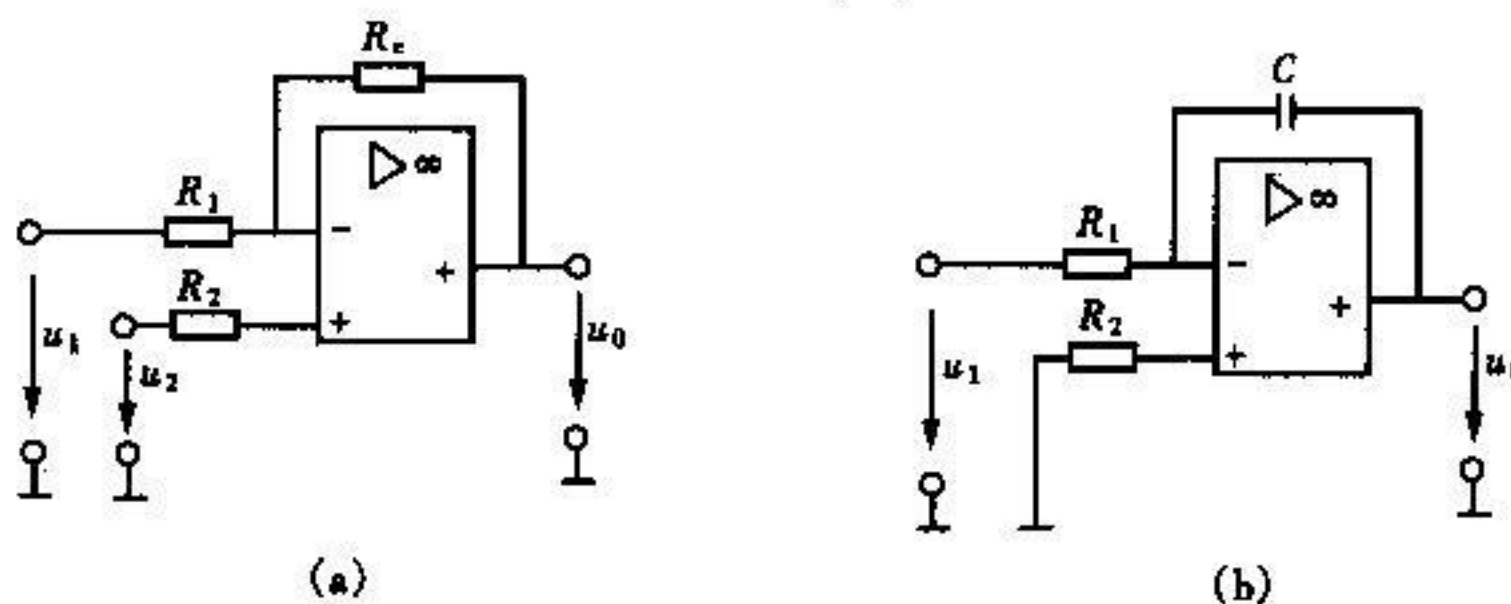


图 8-4

(九) 门电路和触发器

1. 门电路(见表8-10)

几种门电路的逻辑符号和表达式

表 8-10

| 名称 | 逻辑符号 | 逻辑函数表达式 | 名称 | 逻辑符号 | 逻辑函数表达式 |
|----|------|--------------------|-----|------|--|
| 与门 | | $F = AB$ | 与非门 | | $F = \overline{AB}$ |
| 或门 | | $F = A + B$ | 或非门 | | $F = \overline{A + B}$ |
| 非门 | | $F = \overline{A}$ | 异或门 | | $F = A \oplus B$ $\overline{AB} + A \overline{B}$ |

2. 触发器（见表 8-11）

几种触发器的逻辑符号和逻辑状态转换表

表 8-11

| 名称 | 逻辑符号 | 逻辑状态转换 | | | | | | | | | | | | | | | |
|---------------------|-----------|---|---|-----------|-----------|---|---|-------|---|---|---|---|---|-------|---|---|------------------|
| 基本 RS 触发器 (双与非门) | | <table border="1"> <thead> <tr> <th>S</th> <th>R</th> <th>Q^{n+1}</th> </tr> </thead> <tbody> <tr> <td>1</td> <td>0</td> <td>0</td> </tr> <tr> <td>0</td> <td>1</td> <td>1</td> </tr> <tr> <td>1</td> <td>1</td> <td>Q^n</td> </tr> <tr> <td>0</td> <td>0</td> <td>不定</td> </tr> </tbody> </table> | S | R | Q^{n+1} | 1 | 0 | 0 | 0 | 1 | 1 | 1 | 1 | Q^n | 0 | 0 | 不定 |
| S | R | Q^{n+1} | | | | | | | | | | | | | | | |
| 1 | 0 | 0 | | | | | | | | | | | | | | | |
| 0 | 1 | 1 | | | | | | | | | | | | | | | |
| 1 | 1 | Q^n | | | | | | | | | | | | | | | |
| 0 | 0 | 不定 | | | | | | | | | | | | | | | |
| JK 触发器 | | <table border="1"> <thead> <tr> <th>J</th> <th>K</th> <th>Q^{n+1}</th> </tr> </thead> <tbody> <tr> <td>1</td> <td>0</td> <td>Q^n</td> </tr> <tr> <td>0</td> <td>1</td> <td>0</td> </tr> <tr> <td>1</td> <td>0</td> <td>1</td> </tr> <tr> <td>1</td> <td>1</td> <td>$\overline{Q^n}$</td> </tr> </tbody> </table> | J | K | Q^{n+1} | 1 | 0 | Q^n | 0 | 1 | 0 | 1 | 0 | 1 | 1 | 1 | $\overline{Q^n}$ |
| J | K | Q^{n+1} | | | | | | | | | | | | | | | |
| 1 | 0 | Q^n | | | | | | | | | | | | | | | |
| 0 | 1 | 0 | | | | | | | | | | | | | | | |
| 1 | 0 | 1 | | | | | | | | | | | | | | | |
| 1 | 1 | $\overline{Q^n}$ | | | | | | | | | | | | | | | |
| D 触发器 | | <table border="1"> <thead> <tr> <th>D</th> <th>Q^{n+1}</th> </tr> </thead> <tbody> <tr> <td>0</td> <td>0</td> </tr> <tr> <td>1</td> <td>1</td> </tr> </tbody> </table> | D | Q^{n+1} | 0 | 0 | 1 | 1 | | | | | | | | | |
| D | Q^{n+1} | | | | | | | | | | | | | | | | |
| 0 | 0 | | | | | | | | | | | | | | | | |
| 1 | 1 | | | | | | | | | | | | | | | | |

九、工程经济

建设资金时间价值复利计算基本公式及标准代号见表 9-1。一次支付、等额多次支付复利因子见表 9-20。

建设资金时间价值复利计算基本公式及标准代号

表 9-1

| 待求 | 已知 | 因子名称 | 标准代号 | 代数式 | 计算公式 | 说明 |
|----|----|--------|--------------|---------------------------------|-----------------------|--------|
| F | P | 复利终值因子 | (F/P, i%, n) | $(1+i)^n$ | $F = P (F/P, i\%, n)$ | |
| P | F | 复利现值因子 | (P/F, i%, n) | $\frac{1}{(1+i)^n}$ | $P = F (P/F, i\%, n)$ | 一次支付 |
| F | A | 年金终值因子 | (F/A, i%, n) | $\frac{(1+i)^n - 1}{i}$ | $F = A (F/A, i\%, n)$ | |
| A | F | 偿债基金因子 | (A/F, i%, n) | $\frac{i}{(1+i)^n - 1}$ | $A = F (A/F, i\%, n)$ | |
| A | P | 资金回收因子 | (A/P, i%, n) | $\frac{i (1+i)^n}{(1+i)^n - 1}$ | $A = P (A/P, i\%, n)$ | 等额多次支付 |
| P | A | 年金现值因子 | (P/A, i%, n) | $\frac{(1+i)^n - 1}{i (1+i)^n}$ | $P = A (P/A, i\%, n)$ | |

P——现值；F——终值；A——等额年金；i——利率；n——计息期

present Final present

一次支付、等额多次支付复利因子表 (4%复利因子)

表 9-2

| 一 次 支 付 | | | 等 额 多 次 支 付 | | | | |
|---------|---------|--------|-------------|---------|--------|--------|-----|
| N | F/P | P/F | F/A | P/A | A/F | A/P | N |
| 1 | 1.0400 | 0.9615 | 1.0000 | 0.9615 | 1.0000 | 1.0400 | 1 |
| 2 | 1.0816 | 0.9246 | 2.0400 | 1.8861 | 0.4902 | 0.5302 | 2 |
| 3 | 1.1249 | 0.8890 | 3.1216 | 2.7751 | 0.3203 | 0.3603 | 3 |
| 4 | 1.1699 | 0.8548 | 4.2465 | 3.6299 | 0.2355 | 0.2765 | 4 |
| 5 | 1.2167 | 0.8219 | 5.4193 | 4.4518 | 0.1846 | 0.2246 | 5 |
| 6 | 1.2653 | 0.7903 | 6.6330 | 5.2421 | 0.1508 | 0.1908 | 6 |
| 7 | 1.3159 | 0.7599 | 7.8983 | 6.0021 | 0.1266 | 0.1666 | 7 |
| 8 | 1.3686 | 0.7307 | 9.2142 | 6.7327 | 0.1085 | 0.1485 | 8 |
| 9 | 1.4233 | 0.7026 | 10.5828 | 7.4353 | 0.0945 | 0.1345 | 9 |
| 10 | 1.4802 | 0.6756 | 12.0061 | 8.1109 | 0.0833 | 0.1233 | 10 |
| 11 | 1.5395 | 0.6496 | 13.4863 | 8.7605 | 0.0741 | 0.1141 | 11 |
| 12 | 1.6010 | 0.6246 | 15.0258 | 9.3851 | 0.0666 | 0.1066 | 12 |
| 13 | 1.6651 | 0.6006 | 16.6268 | 9.9856 | 0.0601 | 0.1001 | 13 |
| 14 | 1.7317 | 0.5775 | 18.2919 | 10.5631 | 0.0547 | 0.947 | 14 |
| 15 | 1.8009 | 0.5553 | 20.0236 | 11.1184 | 0.0499 | 0.0899 | 15 |
| 16 | 1.8730 | 0.5339 | 21.8245 | 11.6523 | 0.0458 | 0.0858 | 16 |
| 17 | 1.9479 | 0.5134 | 23.6975 | 12.1657 | 0.0422 | 0.0822 | 17 |
| 18 | 2.0258 | 0.4936 | 25.6454 | 12.6593 | 0.0390 | 0.0790 | 18 |
| 19 | 2.1068 | 0.4746 | 27.6712 | 13.1399 | 0.0361 | 0.0761 | 19 |
| 20 | 2.1911 | 0.4564 | 29.7781 | 13.5903 | 0.0336 | 0.0736 | 20 |
| 21 | 2.2788 | 0.4388 | 31.9692 | 14.0292 | 0.0313 | 0.0713 | 21 |
| 22 | 2.3699 | 0.4220 | 34.2480 | 14.4511 | 0.0292 | 0.0692 | 22 |
| 23 | 2.4647 | 0.4057 | 36.6179 | 14.8568 | 0.0273 | 0.0673 | 23 |
| 24 | 2.5633 | 0.3901 | 39.0826 | 15.2470 | 0.0256 | 0.0656 | 24 |
| 25 | 2.6658 | 0.3751 | 41.6459 | 15.6221 | 0.0240 | 0.0640 | 25 |
| 26 | 2.7725 | 0.3607 | 44.3117 | 15.9828 | 0.0226 | 0.0626 | 26 |
| 27 | 2.8834 | 0.3468 | 47.0842 | 16.3296 | 0.0212 | 0.0612 | 27 |
| 28 | 2.9987 | 0.3335 | 49.9676 | 16.6631 | 0.0200 | 0.0600 | 28 |
| 29 | 3.1187 | 0.3207 | 52.9663 | 16.9837 | 0.0189 | 0.0589 | 29 |
| 30 | 3.2434 | 0.3083 | 56.0849 | 17.2920 | 0.0178 | 0.0578 | 30 |
| 35 | 3.9461 | 0.2534 | 73.6522 | 18.6646 | 0.0136 | 0.0536 | 35 |
| 40 | 4.8010 | 0.2083 | 95.0255 | 19.7928 | 0.0105 | 0.0505 | 40 |
| 45 | 5.8412 | 0.1712 | 121.029 | 20.7200 | 0.0083 | 0.0483 | 45 |
| 50 | 7.1067 | 0.1407 | 152.667 | 21.4822 | 0.0066 | 0.0466 | 50 |
| 55 | 8.6464 | 0.1157 | 191.159 | 22.1086 | 0.0052 | 0.0452 | 55 |
| 60 | 10.5196 | 0.0961 | 237.991 | 22.6235 | 0.0042 | 0.0442 | 60 |
| 65 | 12.7987 | 0.0781 | 294.968 | 23.0467 | 0.0034 | 0.0434 | 65 |
| 70 | 15.5716 | 0.0642 | 364.290 | 23.3945 | 0.0027 | 0.0427 | 70 |
| 75 | 18.9452 | 0.0528 | 448.631 | 23.6804 | 0.0022 | 0.0422 | 75 |
| 80 | 23.0498 | 0.0434 | 551.245 | 23.9154 | 0.0018 | 0.0418 | 80 |
| 85 | 28.0486 | 0.0357 | 676.090 | 24.1085 | 0.0015 | 0.0415 | 85 |
| 90 | 34.1193 | 0.0293 | 827.98 | 24.2673 | 0.0012 | 0.0412 | 90 |
| 95 | 41.5113 | 0.0241 | 1012.78 | 24.3978 | 0.0010 | 0.0410 | 95 |
| 100 | 50.5049 | 0.0198 | 1237.62 | 24.5050 | 0.0008 | 0.0408 | 100 |

一次支付、等额多次支付复利因子表 (5%复利因子)

续表

| 一 次 支 付 | | | 等 额 多 次 支 付 | | | | |
|---------|---------|--------|-------------|---------|--------|--------|-----|
| N | F/P | P/F | F/A | P/A | A/F | A/P | N |
| 1 | 1.0500 | 0.9524 | 1.0000 | 0.9524 | 1.0000 | 1.0500 | 1 |
| 2 | 1.1025 | 0.9070 | 2.0500 | 1.8594 | 0.4878 | 0.5378 | 2 |
| 3 | 1.1576 | 0.8636 | 3.1525 | 2.7232 | 0.3172 | 0.3672 | 3 |
| 4 | 1.2155 | 0.8227 | 4.3101 | 3.5460 | 0.2320 | 0.2820 | 4 |
| 5 | 1.2768 | 0.7835 | 5.5256 | 4.3295 | 0.1810 | 0.2310 | 5 |
| 6 | 1.3401 | 0.7462 | 6.8019 | 5.0757 | 0.1470 | 0.1970 | 6 |
| 7 | 1.4071 | 0.7107 | 8.1420 | 5.7864 | 0.1223 | 0.1728 | 7 |
| 8 | 1.4775 | 0.6768 | 9.5491 | 6.4632 | 0.1047 | 0.1547 | 8 |
| 9 | 1.5513 | 0.6446 | 11.0266 | 7.1078 | 0.0907 | 0.1407 | 9 |
| 10 | 1.6289 | 0.6139 | 12.5779 | 7.7217 | 0.0795 | 0.1295 | 10 |
| 11 | 1.7103 | 0.5847 | 14.2068 | 8.3064 | 0.0704 | 0.1204 | 11 |
| 12 | 1.7959 | 0.5568 | 15.9171 | 8.8633 | 0.0628 | 0.1128 | 12 |
| 13 | 1.8856 | 0.5303 | 17.7130 | 9.3936 | 0.0565 | 0.1065 | 13 |
| 14 | 1.9799 | 0.5051 | 19.5986 | 9.8986 | 0.0510 | 0.1010 | 14 |
| 15 | 2.0789 | 0.4810 | 21.5786 | 10.3797 | 0.0463 | 0.0963 | 15 |
| 16 | 2.1829 | 0.4581 | 23.6575 | 10.8378 | 0.0423 | 0.0923 | 16 |
| 17 | 2.2920 | 0.4363 | 25.8404 | 11.2741 | 0.0387 | 0.0887 | 17 |
| 18 | 2.4066 | 0.4155 | 28.1324 | 11.6896 | 0.0355 | 0.0855 | 18 |
| 19 | 2.5269 | 0.3957 | 30.5390 | 12.0853 | 0.0327 | 0.0827 | 19 |
| 20 | 2.6533 | 0.3769 | 33.0659 | 12.4622 | 0.0302 | 0.0802 | 20 |
| 21 | 2.7860 | 0.3589 | 35.7192 | 12.8212 | 0.0280 | 0.0780 | 21 |
| 22 | 2.9253 | 0.3418 | 38.5052 | 13.1630 | 0.0260 | 0.0760 | 22 |
| 23 | 3.0715 | 0.3256 | 41.4305 | 13.4886 | 0.0240 | 0.0741 | 23 |
| 24 | 3.2251 | 0.3101 | 44.5020 | 13.7986 | 0.0225 | 0.0725 | 24 |
| 25 | 3.3864 | 0.2953 | 47.7271 | 14.0939 | 0.0210 | 0.0710 | 25 |
| 26 | 3.5557 | 0.2812 | 51.1134 | 14.3752 | 0.0196 | 0.0696 | 26 |
| 27 | 3.7335 | 0.2678 | 54.6691 | 14.6430 | 0.0183 | 0.0683 | 27 |
| 28 | 3.9201 | 0.2551 | 58.4026 | 14.8981 | 0.0171 | 0.0671 | 28 |
| 29 | 4.1161 | 0.2429 | 62.3227 | 15.1411 | 0.0160 | 0.0660 | 29 |
| 30 | 4.3219 | 0.2314 | 66.4388 | 15.3725 | 0.0151 | 0.0651 | 30 |
| 35 | 5.5160 | 0.1813 | 90.3203 | 16.3742 | 0.0111 | 0.0611 | 35 |
| 40 | 7.0400 | 0.1420 | 120.800 | 17.1591 | 0.0083 | 0.0583 | 40 |
| 45 | 8.9850 | 0.1113 | 159.700 | 17.7741 | 0.0063 | 0.0563 | 45 |
| 50 | 11.4674 | 0.0872 | 209.348 | 18.2559 | 0.0048 | 0.0548 | 50 |
| 55 | 14.6356 | 0.0683 | 272.713 | 18.6335 | 0.0037 | 0.0537 | 55 |
| 60 | 18.6792 | 0.0535 | 353.584 | 18.9293 | 0.0028 | 0.0528 | 60 |
| 65 | 23.8399 | 0.0419 | 456.798 | 19.1611 | 0.0022 | 0.0522 | 65 |
| 70 | 30.4264 | 0.0329 | 588.528 | 19.3427 | 0.0017 | 0.0517 | 70 |
| 75 | 38.8327 | 0.0258 | 756.653 | 19.4850 | 0.0013 | 0.0513 | 75 |
| 80 | 49.5614 | 0.0202 | 971.228 | 19.5965 | 0.0010 | 0.0510 | 80 |
| 85 | 63.2543 | 0.0158 | 1245.09 | 19.6838 | 0.0008 | 0.0508 | 85 |
| 90 | 80.7303 | 0.0124 | 1594.61 | 19.7523 | 0.0006 | 0.0506 | 90 |
| 95 | 103.035 | 0.0097 | 2040.69 | 19.8059 | 0.0005 | 0.0505 | 95 |
| 100 | 131.501 | 0.0076 | 2610.02 | 19.8479 | 0.0004 | 0.0504 | 100 |

一次支付、等额多次支付复利因子表 (6% 复利因子)

续表

| 一 次 支 付 | | | 等 额 多 次 支 付 | | | | |
|---------|---------|--------|-------------|---------|--------|--------|-----|
| N | F/P | P/F | F/A | P/A | A/F | A/P | N |
| 1 | 1.0600 | 0.0434 | 1.0000 | 0.9434 | 1.0000 | 1.0600 | 1 |
| 2 | 1.1236 | 0.8900 | 2.0600 | 1.8334 | 0.4854 | 0.5454 | 2 |
| 3 | 1.1910 | 0.8396 | 3.1830 | 2.6730 | 0.3141 | 0.3741 | 3 |
| 4 | 1.2625 | 0.7091 | 4.3746 | 3.4651 | 0.2286 | 0.2886 | 4 |
| 5 | 1.3382 | 0.7473 | 5.6871 | 4.2124 | 0.1774 | 0.2374 | 5 |
| 6 | 1.4185 | 0.7050 | 6.9753 | 4.9173 | 0.1434 | 0.2034 | 6 |
| 7 | 1.5036 | 0.6651 | 8.3938 | 5.5824 | 0.1191 | 0.1791 | 7 |
| 8 | 1.5938 | 0.6274 | 9.8975 | 6.2098 | 0.1010 | 0.1610 | 8 |
| 9 | 1.6895 | 0.5919 | 11.4913 | 6.8017 | 0.0870 | 0.1470 | 9 |
| 10 | 1.7908 | 0.5584 | 13.1808 | 7.3601 | 0.0759 | 0.1359 | 10 |
| 11 | 1.8983 | 0.5268 | 14.9716 | 7.8869 | 0.0668 | 0.1268 | 11 |
| 12 | 2.0122 | 0.4970 | 16.8699 | 8.3838 | 0.0593 | 0.1193 | 12 |
| 13 | 2.1329 | 0.4688 | 18.8821 | 8.8527 | 0.0530 | 0.1130 | 13 |
| 14 | 2.2609 | 0.4423 | 21.0151 | 9.2950 | 0.0476 | 0.1076 | 14 |
| 15 | 2.3966 | 0.4173 | 23.2760 | 9.7122 | 0.0430 | 0.1030 | 15 |
| 16 | 2.5404 | 0.3936 | 25.6725 | 10.1059 | 0.0390 | 0.0990 | 16 |
| 17 | 2.6928 | 0.3714 | 28.2129 | 10.4773 | 0.0354 | 0.0954 | 17 |
| 18 | 2.8543 | 0.3503 | 30.9056 | 10.8276 | 0.0324 | 0.0924 | 18 |
| 19 | 3.0256 | 0.3305 | 33.7600 | 11.1581 | 0.0296 | 0.0896 | 19 |
| 20 | 3.2071 | 0.3118 | 36.7856 | 11.4699 | 0.0272 | 0.0872 | 20 |
| 21 | 3.3996 | 0.2942 | 39.9927 | 11.7641 | 0.0250 | 0.0850 | 21 |
| 22 | 3.6035 | 0.2775 | 43.3923 | 12.0416 | 0.0230 | 0.0830 | 22 |
| 23 | 3.8197 | 0.2618 | 46.9958 | 12.3034 | 0.0213 | 0.0813 | 23 |
| 24 | 4.0489 | 0.2470 | 50.8155 | 12.5504 | 0.0197 | 0.0797 | 24 |
| 25 | 4.2919 | 0.2330 | 54.8645 | 12.7834 | 0.0182 | 0.0782 | 25 |
| 26 | 4.5494 | 0.2198 | 59.1563 | 13.0032 | 0.0169 | 0.0760 | 26 |
| 27 | 4.8223 | 0.2074 | 63.7057 | 13.2105 | 0.0157 | 0.0757 | 27 |
| 28 | 5.1117 | 0.1956 | 68.5281 | 13.4062 | 0.0146 | 0.0746 | 28 |
| 29 | 5.4184 | 0.1846 | 73.6397 | 13.5907 | 0.0136 | 0.0736 | 29 |
| 30 | 5.7435 | 0.1741 | 79.0581 | 13.7648 | 0.0126 | 0.0726 | 30 |
| 35 | 7.6861 | 0.1301 | 111.435 | 14.4982 | 0.0090 | 0.0690 | 35 |
| 40 | 10.2857 | 0.0972 | 154.762 | 15.0463 | 0.0065 | 0.0665 | 40 |
| 45 | 13.7646 | 0.0727 | 212.743 | 15.4558 | 0.0047 | 0.0647 | 45 |
| 50 | 18.4201 | 0.0543 | 290.336 | 15.7619 | 0.0034 | 0.0634 | 50 |
| 55 | 24.6503 | 0.0406 | 394.172 | 15.9905 | 0.0025 | 0.0625 | 55 |
| 60 | 32.9876 | 0.0303 | 533.128 | 16.1614 | 0.0019 | 0.0619 | 60 |
| 65 | 44.1449 | 0.0227 | 719.082 | 16.2891 | 0.0014 | 0.0614 | 65 |
| 70 | 59.0758 | 0.0169 | 967.931 | 16.3845 | 0.0010 | 0.0610 | 70 |
| 75 | 79.0568 | 0.0126 | 1300.95 | 16.4558 | 0.0008 | 0.0608 | 75 |
| 80 | 105.796 | 0.0095 | 1746.60 | 16.5091 | 0.0006 | 0.0606 | 80 |
| 85 | 141.579 | 0.0071 | 2342.98 | 16.5489 | 0.0004 | 0.0604 | 85 |
| 90 | 189.464 | 0.0053 | 3141.07 | 16.5787 | 0.0003 | 0.0603 | 90 |
| 95 | 253.546 | 0.0039 | 4209.10 | 16.6009 | 0.0002 | 0.0602 | 95 |
| 100 | 339.301 | 0.0029 | 5638.36 | 16.6175 | 0.0002 | 0.0602 | 100 |

一次支付、等额多次支付复利因子表 (8%复利因子)

续表

| 一 次 支 付 | | | 等 额 多 次 支 付 | | | | |
|---------|---------|--------|-------------|---------|--------|--------|-----|
| N | F/P | P/F | F/A | P/A | A/F | A/P | N |
| 1 | 1.0800 | 0.9259 | 1.0000 | 0.9259 | 1.0000 | 1.0800 | 1 |
| 2 | 1.1664 | 0.8573 | 2.0800 | 1.7833 | 0.4808 | 0.5608 | 2 |
| 3 | 1.2597 | 0.7938 | 3.2464 | 2.5771 | 0.3080 | 0.3880 | 3 |
| 4 | 1.3605 | 0.7350 | 4.5061 | 3.3121 | 0.2219 | 0.3019 | 4 |
| 5 | 1.4693 | 0.6806 | 5.8666 | 3.9927 | 0.1705 | 0.2505 | 5 |
| 6 | 1.5869 | 0.6302 | 7.3359 | 4.6229 | 0.1363 | 0.2163 | 6 |
| 7 | 1.7138 | 0.5835 | 8.9228 | 5.2064 | 0.1121 | 0.1921 | 7 |
| 8 | 1.8509 | 0.5403 | 10.6366 | 5.7466 | 0.0940 | 0.1740 | 8 |
| 9 | 1.9990 | 0.5002 | 12.4876 | 6.2469 | 0.0801 | 0.1601 | 9 |
| 10 | 2.1589 | 0.4632 | 14.4866 | 6.7101 | 0.0690 | 0.1490 | 10 |
| 11 | 2.3316 | 0.4289 | 16.6455 | 7.1390 | 0.0601 | 0.1401 | 11 |
| 12 | 2.5182 | 0.3971 | 18.9771 | 7.5361 | 0.0527 | 0.1327 | 12 |
| 13 | 2.7196 | 0.3677 | 21.4953 | 7.9038 | 0.0465 | 0.1265 | 13 |
| 14 | 2.9372 | 0.3405 | 24.2149 | 8.2442 | 0.0413 | 0.1213 | 14 |
| 15 | 3.1722 | 0.3152 | 27.1521 | 8.5595 | 0.0368 | 0.1168 | 15 |
| 16 | 3.4269 | 0.2910 | 30.3243 | 8.8514 | 0.0330 | 0.1130 | 16 |
| 17 | 3.7000 | 0.2703 | 33.7502 | 9.1216 | 0.0296 | 0.1096 | 17 |
| 18 | 3.9960 | 0.2502 | 37.4502 | 9.3719 | 0.0267 | 0.1067 | 18 |
| 19 | 4.3157 | 0.2117 | 41.4463 | 9.6036 | 0.0241 | 0.1041 | 19 |
| 20 | 4.6610 | 0.2145 | 45.7620 | 9.8181 | 0.0219 | 0.1019 | 20 |
| 21 | 5.0338 | 0.1987 | 50.4229 | 10.0168 | 0.0198 | 0.0998 | 21 |
| 22 | 5.4365 | 0.1839 | 55.4567 | 10.2007 | 0.0180 | 0.0980 | 22 |
| 23 | 5.8715 | 0.1703 | 60.8933 | 10.3711 | 0.0164 | 0.0964 | 23 |
| 24 | 6.3412 | 0.1577 | 66.7647 | 10.5288 | 0.0150 | 0.0950 | 24 |
| 25 | 6.8485 | 0.1460 | 73.1059 | 10.6748 | 0.0137 | 0.0937 | 25 |
| 26 | 7.3964 | 0.1352 | 79.9544 | 10.8100 | 0.0125 | 0.0925 | 26 |
| 27 | 7.9881 | 0.1252 | 87.3507 | 10.9352 | 0.0114 | 0.0914 | 27 |
| 28 | 8.6271 | 0.1159 | 95.3388 | 11.0511 | 0.0105 | 0.0905 | 28 |
| 29 | 9.3173 | 0.1073 | 103.966 | 11.1584 | 0.0096 | 0.0896 | 29 |
| 30 | 10.0627 | 0.0994 | 113.283 | 11.2578 | 0.0088 | 0.0888 | 30 |
| 35 | 14.7853 | 0.0676 | 172.317 | 11.6546 | 0.0058 | 0.0858 | 35 |
| 40 | 21.7245 | 0.0460 | 259.056 | 11.9246 | 0.0039 | 0.0839 | 40 |
| 45 | 31.9204 | 0.0313 | 386.506 | 12.1084 | 0.0026 | 0.0826 | 45 |
| 50 | 46.9016 | 0.0213 | 573.770 | 12.2335 | 0.0017 | 0.0817 | 50 |
| 55 | 68.9138 | 0.0145 | 848.923 | 12.3186 | 0.0012 | 0.0812 | 55 |
| 60 | 101.257 | 0.0099 | 1253.21 | 12.3766 | 0.0008 | 0.0808 | 60 |
| 65 | 148.780 | 0.0067 | 1847.25 | 12.4160 | 0.0005 | 0.0805 | 65 |
| 70 | 218.606 | 0.0046 | 2720.08 | 12.4428 | 0.0004 | 0.0804 | 70 |
| 75 | 321.204 | 0.0031 | 4002.55 | 12.4611 | 0.0002 | 0.0802 | 75 |
| 80 | 471.955 | 0.0021 | 5886.93 | 12.4735 | 0.0002 | 0.0802 | 80 |
| 85 | 693.456 | 0.0014 | 8655.71 | 12.4820 | 0.0001 | 0.0801 | 85 |
| 90 | 1018.92 | 0.0010 | 12723.9 | 12.4877 | a | 0.0801 | 90 |
| 95 | 1497.12 | 0.0007 | 18071.5 | 12.4917 | a | 0.0801 | 95 |
| 100 | 2199.76 | 0.0005 | 27484.5 | 12.4943 | a | 0.0800 | 100 |

一次支付、等额多次支付复利因子表 (10% 复利因子)

续表

| 一 次 支 付 | | | 等 额 多 次 支 付 | | | | |
|---------|---------|--------|-------------|--------|--------|--------|-----|
| N | F/P | P/F | F/A | P/A | A/F | A/P | N |
| 1 | 1.1000 | 0.9091 | 1.0000 | 0.9091 | 1.0000 | 1.1000 | 1 |
| 2 | 1.2100 | 0.8264 | 2.1000 | 1.7355 | 0.4762 | 0.5762 | 2 |
| 3 | 1.3310 | 0.7513 | 3.3100 | 2.4809 | 0.3021 | 0.4021 | 3 |
| 4 | 1.4641 | 0.6830 | 4.6410 | 3.1609 | 0.2155 | 0.3155 | 4 |
| 5 | 1.6105 | 0.6209 | 6.1051 | 3.7908 | 0.1638 | 0.2638 | 5 |
| 6 | 1.7716 | 0.5645 | 7.7156 | 4.3553 | 0.1296 | 0.2296 | 6 |
| 7 | 1.9487 | 0.5132 | 9.4872 | 4.8684 | 0.1054 | 0.2054 | 7 |
| 8 | 2.1436 | 0.4665 | 11.4369 | 5.3349 | 0.0874 | 0.1874 | 8 |
| 9 | 2.3579 | 0.4241 | 13.5795 | 5.7590 | 0.0736 | 0.1736 | 9 |
| 10 | 2.5937 | 0.3855 | 15.9374 | 6.1446 | 0.0627 | 0.1627 | 10 |
| 11 | 2.8531 | 0.3505 | 18.5312 | 6.4951 | 0.0540 | 0.1540 | 11 |
| 12 | 3.1384 | 0.3186 | 21.8843 | 6.8137 | 0.0468 | 0.1468 | 12 |
| 13 | 3.4523 | 0.2897 | 24.5227 | 7.1034 | 0.0408 | 0.1408 | 13 |
| 14 | 3.7975 | 0.2633 | 27.9750 | 7.3667 | 0.0357 | 0.1357 | 14 |
| 15 | 4.1772 | 0.2394 | 31.7725 | 7.6061 | 0.0315 | 0.1315 | 15 |
| 16 | 4.5950 | 0.2176 | 35.9497 | 7.8237 | 0.0278 | 0.1278 | 16 |
| 17 | 5.0545 | 0.1978 | 40.5447 | 8.0216 | 0.0247 | 0.1247 | 17 |
| 18 | 5.5599 | 0.1799 | 45.5992 | 8.2014 | 0.0219 | 0.1219 | 18 |
| 19 | 6.1159 | 0.1635 | 51.1591 | 8.3649 | 0.0195 | 0.1195 | 19 |
| 20 | 6.7275 | 0.1486 | 57.2750 | 8.5136 | 0.0175 | 0.1175 | 20 |
| 21 | 7.4002 | 0.1351 | 64.0025 | 8.6487 | 0.0156 | 0.1150 | 21 |
| 22 | 8.1403 | 0.1228 | 71.4027 | 8.7715 | 0.0140 | 0.1140 | 22 |
| 23 | 8.9543 | 0.1117 | 79.5430 | 8.8832 | 0.0126 | 0.1126 | 23 |
| 24 | 9.8494 | 0.1015 | 88.4973 | 8.9847 | 0.0113 | 0.1113 | 24 |
| 25 | 10.8347 | 0.0923 | 98.3470 | 9.0770 | 0.0102 | 0.1102 | 25 |
| 26 | 11.9182 | 0.0839 | 109.182 | 9.1609 | 0.0092 | 0.1092 | 26 |
| 27 | 13.1100 | 0.0763 | 121.100 | 9.2372 | 0.0083 | 0.1083 | 27 |
| 28 | 14.4210 | 0.0693 | 134.210 | 9.3066 | 0.0075 | 0.1075 | 28 |
| 29 | 15.8631 | 0.0680 | 148.631 | 9.3696 | 0.0067 | 0.1067 | 29 |
| 30 | 17.4494 | 0.0573 | 164.494 | 9.4269 | 0.0061 | 0.1061 | 30 |
| 35 | 28.1024 | 0.0356 | 271.024 | 9.6442 | 0.0037 | 0.1037 | 35 |
| 40 | 45.2592 | 0.0221 | 442.592 | 9.7791 | 0.0023 | 0.1033 | 40 |
| 45 | 72.8904 | 0.0137 | 718.905 | 9.8628 | 0.0014 | 0.1024 | 45 |
| 50 | 117.391 | 0.0085 | 1163.91 | 9.9148 | 0.0009 | 0.1019 | 50 |
| 55 | 189.059 | 0.0053 | 1880.59 | 9.9471 | 0.0005 | 0.1005 | 55 |
| 60 | 304.481 | 0.0033 | 3034.81 | 9.9672 | 0.0003 | 0.1003 | 60 |
| 65 | 490.370 | 0.0020 | 4893.71 | 9.9796 | 0.0002 | 0.1002 | 65 |
| 70 | 780.746 | 0.0013 | 7887.47 | 9.9873 | 0.0001 | 0.1001 | 70 |
| 75 | 1271.89 | 0.0008 | 12708.9 | 9.9921 | a | 0.1001 | 75 |
| 80 | 2048.40 | 0.0005 | 20474.0 | 9.9951 | a | 0.0000 | 80 |
| 85 | 3298.97 | 0.0003 | 32979.7 | 9.9970 | a | 0.1000 | 85 |
| 90 | 5313.02 | 0.0002 | 53120.2 | 9.9981 | a | 0.1000 | 90 |
| 95 | 8556.67 | 0.0001 | 85556.7 | 9.9988 | a | 0.1000 | 95 |
| 100 | 13780.6 | a | 137796 | 9.9993 | a | 0.1000 | 100 |

一次支付、等额多次支付复利因子表 (12% 复利因子)

续表

| 一 次 支 付 | | | 等 额 多 次 支 付 | | | | |
|---------|---------|--------|-------------|--------|--------|--------|----|
| N | F/P | P/F | F/A | P/A | A/F | A/P | N |
| 1 | 1.1200 | 0.8929 | 1.0000 | 0.8929 | 1.0000 | 1.1200 | 1 |
| 2 | 1.2544 | 0.7972 | 2.1200 | 1.6901 | 0.4717 | 0.5917 | 2 |
| 3 | 1.4049 | 0.7118 | 3.3744 | 2.4018 | 0.2963 | 0.4163 | 3 |
| 4 | 1.5735 | 0.6355 | 4.7793 | 3.0373 | 0.2092 | 0.3292 | 4 |
| 5 | 1.7623 | 0.5674 | 6.3528 | 3.6048 | 0.1574 | 0.2774 | 5 |
| 6 | 1.9738 | 0.5066 | 8.1152 | 4.1114 | 0.1232 | 0.2432 | 6 |
| 7 | 2.2107 | 0.4523 | 10.0890 | 4.5638 | 0.0991 | 0.2191 | 7 |
| 8 | 2.4760 | 0.4039 | 12.2997 | 4.9676 | 0.0813 | 0.2013 | 8 |
| 9 | 2.7731 | 0.3606 | 14.7757 | 5.3282 | 0.0677 | 0.1877 | 9 |
| 10 | 3.1058 | 0.3220 | 17.5487 | 5.6502 | 0.0570 | 0.1770 | 10 |
| 11 | 3.4785 | 0.2875 | 20.6546 | 5.9377 | 0.0484 | 0.1684 | 11 |
| 12 | 3.8960 | 0.2567 | 24.1331 | 6.1944 | 0.0414 | 0.1614 | 12 |
| 13 | 4.3635 | 0.2292 | 28.0291 | 6.4235 | 0.0357 | 0.1557 | 13 |
| 14 | 4.8871 | 0.2046 | 32.3926 | 6.6282 | 0.0309 | 0.1509 | 14 |
| 15 | 5.4730 | 0.1827 | 37.2797 | 6.8109 | 0.0268 | 0.1468 | 15 |
| 16 | 6.1304 | 0.1631 | 42.7533 | 6.9740 | 0.0234 | 0.1434 | 16 |
| 17 | 6.8660 | 0.1456 | 48.8837 | 7.1196 | 0.0205 | 0.1405 | 17 |
| 18 | 7.6900 | 0.1300 | 55.7497 | 7.2497 | 0.0179 | 0.1379 | 18 |
| 19 | 8.6128 | 0.1161 | 63.4397 | 7.3658 | 0.0158 | 0.1358 | 19 |
| 20 | 9.6463 | 0.1037 | 72.0524 | 7.4694 | 0.0139 | 0.1339 | 20 |
| 21 | 10.8038 | 0.0926 | 81.6987 | 7.5620 | 0.0122 | 0.1322 | 21 |
| 22 | 12.1003 | 0.0826 | 92.5026 | 7.6446 | 0.0108 | 0.1308 | 22 |
| 23 | 13.5523 | 0.0738 | 104.603 | 7.7184 | 0.0096 | 0.1296 | 23 |
| 24 | 15.1786 | 0.0659 | 118.155 | 7.7843 | 0.0085 | 0.1285 | 24 |
| 25 | 17.0001 | 0.0588 | 133.334 | 7.8431 | 0.0075 | 0.1275 | 25 |
| 26 | 19.0401 | 0.0525 | 150.334 | 7.8957 | 0.0067 | 0.1267 | 26 |
| 27 | 21.3249 | 0.0469 | 169.374 | 7.9426 | 0.0059 | 0.1259 | 27 |
| 28 | 23.8839 | 0.0419 | 190.699 | 7.9844 | 0.0052 | 0.1252 | 28 |
| 29 | 26.7499 | 0.0374 | 214.583 | 8.0218 | 0.0047 | 0.1247 | 29 |
| 30 | 29.9599 | 0.0334 | 241.333 | 8.0552 | 0.0041 | 0.1241 | 30 |
| 35 | 52.7996 | 0.0189 | 431.663 | 8.1755 | 0.0023 | 0.1223 | 35 |
| 40 | 93.0509 | 0.0107 | 767.091 | 8.2438 | 0.0013 | 0.1213 | 40 |
| 45 | 163.988 | 0.0061 | 1358.23 | 8.2825 | 0.0007 | 0.1207 | 45 |
| 50 | 289.002 | 0.0035 | 2400.02 | 8.3045 | 0.0004 | 0.1204 | 50 |
| 55 | 509.320 | 0.0020 | 4236.00 | 8.3170 | 0.0002 | 0.1202 | 55 |
| 60 | 897.596 | 0.0011 | 7471.63 | 8.3240 | 0.0001 | 0.1201 | 60 |
| 65 | 1581.87 | 0.0006 | 13173.9 | 8.3281 | α | 0.1201 | 65 |
| 70 | 2787.80 | 0.0004 | 23223.3 | 8.3303 | α | 0.1200 | 70 |
| 75 | 4913.05 | 0.0002 | 40933.8 | 8.3316 | α | 0.1200 | 75 |
| 80 | 8068.47 | 0.0001 | 72145.6 | 8.3324 | α | 0.1200 | 80 |

一次支付、等额多次支付复利因子表 (15% 复利因子)

续表

| 一 次 支 付 | | | 等 额 多 次 支 付 | | | | |
|---------|---------|----------|-------------|--------|----------|--------|----|
| N | F/P | P/F | F/A | P/A | A/F | A/P | N |
| 1 | 1.1500 | 0.8696 | 1.0000 | 0.8000 | 1.0000 | 1.1500 | 1 |
| 2 | 1.3225 | 0.7501 | 2.1500 | 1.6257 | 0.4651 | 0.6151 | 2 |
| 3 | 1.5209 | 0.6575 | 3.4725 | 2.2832 | 0.2880 | 0.4380 | 3 |
| 4 | 1.7490 | 0.5718 | 4.9934 | 2.8550 | 0.2003 | 0.3503 | 4 |
| 5 | 2.0114 | 0.4972 | 6.7424 | 3.3522 | 0.1483 | 0.2983 | 5 |
| 6 | 2.3131 | 0.4323 | 8.7537 | 3.7845 | 0.1142 | 0.2642 | 6 |
| 7 | 2.6600 | 0.3759 | 11.0668 | 4.1604 | 0.0904 | 0.2404 | 7 |
| 8 | 3.0579 | 0.3269 | 13.7268 | 4.4873 | 0.0729 | 0.2229 | 8 |
| 9 | 3.5179 | 0.2843 | 16.7858 | 4.7716 | 0.0596 | 0.2096 | 9 |
| 10 | 4.0456 | 0.2472 | 20.3037 | 5.0188 | 0.0493 | 0.1993 | 10 |
| 11 | 4.6524 | 0.2149 | 24.3493 | 5.2337 | 0.0411 | 0.1911 | 11 |
| 12 | 5.3502 | 0.1869 | 29.0017 | 5.4206 | 0.0345 | 0.1845 | 12 |
| 13 | 6.1528 | 0.1625 | 34.3519 | 5.5831 | 0.0291 | 0.1791 | 13 |
| 14 | 7.0757 | 0.1413 | 40.5047 | 5.7245 | 0.0247 | 0.1747 | 14 |
| 15 | 8.1371 | 0.1229 | 47.5804 | 5.8474 | 0.0210 | 0.1710 | 15 |
| 16 | 9.3576 | 0.1069 | 55.7175 | 5.9542 | 0.0179 | 0.1670 | 16 |
| 17 | 10.7613 | 0.0929 | 65.0751 | 6.0072 | 0.0154 | 0.1654 | 17 |
| 18 | 12.3755 | 0.0808 | 75.8363 | 6.1280 | 0.0132 | 0.1632 | 18 |
| 19 | 14.2318 | 0.0703 | 88.2118 | 6.1982 | 0.0113 | 0.1613 | 19 |
| 20 | 16.3665 | 0.0613 | 102.444 | 6.2593 | 0.0098 | 0.1598 | 20 |
| 21 | 18.8215 | 0.0531 | 118.810 | 6.3125 | 0.0084 | 0.1584 | 21 |
| 22 | 21.6447 | 0.0462 | 137.632 | 6.3587 | 0.0073 | 0.1573 | 22 |
| 23 | 24.8915 | 0.0402 | 159.276 | 6.3988 | 0.0063 | 0.1563 | 23 |
| 24 | 28.6252 | 0.0349 | 184.168 | 6.4338 | 0.0054 | 0.1554 | 24 |
| 25 | 32.9189 | 0.0304 | 212.793 | 6.4641 | 0.0047 | 0.1547 | 25 |
| 26 | 37.8568 | 0.0264 | 245.712 | 6.4906 | 0.0041 | 0.1541 | 26 |
| 27 | 43.5353 | 0.0230 | 283.569 | 6.5135 | 0.0035 | 0.1535 | 27 |
| 28 | 50.0656 | 0.0200 | 327.104 | 6.5335 | 0.0031 | 0.1531 | 28 |
| 29 | 57.5754 | 0.0174 | 377.170 | 6.5509 | 0.0027 | 0.1527 | 29 |
| 30 | 66.2118 | 0.0151 | 434.745 | 6.5660 | 0.0023 | 0.1523 | 30 |
| 35 | 133.176 | 0.0075 | 881.170 | 6.6166 | 0.0011 | 0.1511 | 35 |
| 40 | 267.863 | 0.0037 | 1779.09 | 6.6418 | 0.0006 | 0.1506 | 40 |
| 45 | 538.769 | 0.0019 | 3585.13 | 6.6543 | 0.0003 | 0.1503 | 45 |
| 50 | 1083.66 | 0.0009 | 7217.71 | 6.6605 | 0.0001 | 0.1501 | 50 |
| 55 | 2179.62 | 0.0005 | 14524.1 | 6.6636 | α | 0.1501 | 55 |
| 60 | 4384.00 | 0.0002 | 29220.0 | 6.6651 | α | 0.1500 | 60 |
| 65 | 8817.78 | 0.0001 | 58778.5 | 6.6659 | α | 0.1500 | 65 |
| 70 | 17735.7 | α | 118231 | 6.6663 | α | 0.1500 | 70 |
| 75 | 35672.8 | α | 237812 | 6.6665 | α | 0.1500 | 75 |
| 80 | 71750.8 | α | 478332 | 6.6666 | α | 0.1500 | 80 |

一次支付、等额多次支付复利因子表 (20% 复利因子)

续表

| 一 次 支 付 | | | 等 额 多 次 支 付 | | | | |
|---------|---------|--------|-------------|--------|--------|--------|----|
| N | F/P | P/F | F/A | P/A | A/F | A/P | N |
| 1 | 1.2000 | 0.8333 | 1.0000 | 0.8333 | 1.0000 | 1.2000 | 1 |
| 2 | 1.4400 | 0.6944 | 2.2000 | 1.5278 | 0.4545 | 0.6545 | 2 |
| 3 | 1.7280 | 0.5787 | 3.6400 | 2.1065 | 0.2747 | 0.4747 | 3 |
| 4 | 2.0736 | 0.4823 | 5.3680 | 2.5887 | 0.1863 | 0.3863 | 4 |
| 5 | 2.4883 | 0.4019 | 7.4416 | 2.9906 | 0.1344 | 0.3344 | 5 |
| 6 | 2.0860 | 0.3349 | 9.9299 | 3.3255 | 0.1007 | 0.3007 | 6 |
| 7 | 3.5832 | 0.2791 | 12.9159 | 3.6046 | 0.0774 | 0.2774 | 7 |
| 8 | 4.2998 | 0.2326 | 16.4991 | 3.8372 | 0.0606 | 0.2606 | 8 |
| 9 | 5.1598 | 0.1938 | 20.7989 | 4.0310 | 0.0481 | 0.2481 | 9 |
| 10 | 6.1917 | 0.1615 | 25.9587 | 4.1925 | 0.0385 | 0.2385 | 10 |
| 11 | 7.4301 | 0.1346 | 32.1504 | 4.3271 | 0.0311 | 0.2311 | 11 |
| 12 | 8.9161 | 0.1122 | 39.5805 | 4.4392 | 0.0253 | 0.2253 | 12 |
| 13 | 10.6993 | 0.0935 | 48.4966 | 4.5327 | 0.0206 | 0.2206 | 13 |
| 14 | 12.8392 | 0.0779 | 59.1959 | 4.6106 | 0.0169 | 0.2169 | 14 |
| 15 | 15.4070 | 0.0649 | 72.0351 | 4.6755 | 0.0139 | 0.2139 | 15 |
| 16 | 18.4884 | 0.0541 | 87.4421 | 4.7296 | 0.0114 | 0.2114 | 16 |
| 17 | 22.1861 | 0.0451 | 105.931 | 4.7746 | 0.0094 | 0.2094 | 17 |
| 18 | 26.6233 | 0.0376 | 128.117 | 4.8122 | 0.0078 | 0.2078 | 18 |
| 19 | 31.9480 | 0.0313 | 154.740 | 4.8435 | 0.0065 | 0.2065 | 19 |
| 20 | 38.3376 | 0.0261 | 186.688 | 4.8696 | 0.0054 | 0.2054 | 20 |
| 21 | 46.0051 | 0.0217 | 225.026 | 4.8913 | 0.0044 | 0.2044 | 21 |
| 22 | 55.2061 | 0.0181 | 271.031 | 4.9094 | 0.0037 | 0.2037 | 22 |
| 23 | 66.2474 | 0.0151 | 326.237 | 4.9245 | 0.0031 | 0.2031 | 23 |
| 24 | 79.4968 | 0.0126 | 392.484 | 4.9371 | 0.0025 | 0.2025 | 24 |
| 25 | 95.3962 | 0.0105 | 471.981 | 4.9476 | 0.0021 | 0.2021 | 25 |
| 26 | 114.475 | 0.0087 | 567.377 | 4.9563 | 0.0018 | 0.2018 | 26 |
| 27 | 136.371 | 0.0073 | 681.853 | 4.9636 | 0.0015 | 0.2015 | 27 |
| 28 | 164.845 | 0.0061 | 819.223 | 4.9697 | 0.0012 | 0.2012 | 28 |
| 29 | 197.814 | 0.0051 | 984.068 | 4.9747 | 0.0010 | 0.2010 | 29 |
| 30 | 237.376 | 0.0042 | 1181.88 | 4.9789 | 0.0008 | 0.2008 | 30 |
| 35 | 590.668 | 0.0017 | 2948.34 | 4.9915 | 0.0003 | 0.2003 | 35 |
| 40 | 1469.77 | 0.0007 | 7343.85 | 5.9966 | 0.0001 | 0.2001 | 40 |
| 45 | 3657.26 | 0.0003 | 18281.3 | 4.9986 | α | 0.2001 | 45 |
| 50 | 9100.43 | 0.0001 | 45497.2 | 4.9995 | α | 0.2000 | 50 |
| 55 | 22644.8 | α | 113219 | 4.9998 | α | 0.2000 | 55 |
| 60 | 56347.5 | α | 281732 | 4.9999 | α | 0.2000 | 60 |

一次支付、等额多次支付复利因子表 (25% 复利因子)

续表

| 一 次 支 付 | | | 等 额 多 次 支 付 | | | | |
|---------|---------|----------|-------------|--------|----------|--------|----|
| N | F/P | P/F | F/A | P/A | A/F | A/P | N |
| 1 | 1.2500 | 0.8000 | 1.0000 | 0.8000 | 1.0000 | 1.2500 | 1 |
| 2 | 1.5625 | 0.6400 | 2.2500 | 1.4400 | 0.4444 | 0.6944 | 2 |
| 3 | 1.9531 | 0.5120 | 3.8125 | 1.9520 | 0.2623 | 0.5123 | 3 |
| 4 | 2.4414 | 0.4096 | 5.7656 | 2.3616 | 0.1734 | 0.4234 | 4 |
| 5 | 3.0518 | 0.3277 | 8.2070 | 2.6893 | 0.1218 | 0.3718 | 5 |
| 6 | 3.8147 | 0.2621 | 11.2588 | 2.9514 | 0.0888 | 0.3388 | 6 |
| 7 | 4.7684 | 0.2097 | 15.0735 | 3.1611 | 0.0663 | 0.3163 | 7 |
| 8 | 5.9605 | 0.1678 | 19.8419 | 3.3289 | 0.0504 | 0.3004 | 8 |
| 9 | 7.4506 | 0.1342 | 25.8023 | 3.4631 | 0.0388 | 0.2888 | 9 |
| 10 | 9.3132 | 0.1074 | 33.2520 | 3.5705 | 0.0310 | 0.2801 | 10 |
| 11 | 11.6415 | 0.0859 | 42.5661 | 3.6564 | 0.0235 | 0.2735 | 11 |
| 12 | 14.5519 | 0.0687 | 54.2077 | 3.7251 | 0.0184 | 0.2684 | 12 |
| 13 | 18.1899 | 0.0550 | 68.7596 | 3.7801 | 0.0145 | 0.2645 | 13 |
| 14 | 22.7374 | 0.0440 | 86.9495 | 3.8241 | 0.0115 | 0.2615 | 14 |
| 15 | 28.4217 | 0.0352 | 109.687 | 3.8593 | 0.0091 | 0.2591 | 15 |
| 16 | 35.5271 | 0.0281 | 138.109 | 3.8874 | 0.0072 | 0.2572 | 16 |
| 17 | 44.4089 | 0.0225 | 173.636 | 3.9099 | 0.0058 | 0.2558 | 17 |
| 18 | 55.5112 | 0.0180 | 218.045 | 3.9279 | 0.0040 | 0.2546 | 18 |
| 19 | 69.3889 | 0.0144 | 273.556 | 3.9424 | 0.0037 | 0.2537 | 19 |
| 20 | 86.7362 | 0.0115 | 342.945 | 3.9539 | 0.0029 | 0.2529 | 20 |
| 21 | 108.420 | 0.0092 | 429.681 | 3.9631 | 0.0023 | 0.3523 | 21 |
| 22 | 135.525 | 0.0074 | 538.101 | 3.9705 | 0.0019 | 0.2519 | 22 |
| 23 | 169.407 | 0.0059 | 673.626 | 3.9764 | 0.0015 | 0.2515 | 23 |
| 24 | 211.758 | 0.0047 | 843.033 | 3.9811 | 0.0012 | 0.2512 | 24 |
| 25 | 264.698 | 0.0038 | 1054.79 | 3.9849 | 0.0009 | 0.2509 | 25 |
| 26 | 330.872 | 0.0030 | 1319.49 | 3.9879 | 0.0008 | 0.2508 | 26 |
| 27 | 413.590 | 0.0024 | 1650.36 | 3.9903 | 0.0006 | 0.2506 | 27 |
| 28 | 516.988 | 0.0019 | 2063.95 | 3.9923 | 0.0005 | 0.2505 | 28 |
| 29 | 646.235 | 0.0015 | 2580.94 | 3.9938 | 0.0004 | 0.2504 | 29 |
| 30 | 807.794 | 0.0012 | 3227.17 | 3.9950 | 0.0003 | 0.2503 | 30 |
| 35 | 2465.19 | 0.0004 | 9856.76 | 3.9984 | 0.0001 | 0.2501 | 35 |
| 40 | 7523.16 | 0.0001 | 30088.7 | 3.9995 | α | 0.2500 | 40 |
| 45 | 22958.9 | α | 91831.5 | 3.9998 | α | 0.2500 | 45 |
| 50 | 70064.9 | α | 280256 | 3.9999 | α | 0.2500 | 50 |

 $\alpha < 0.0001$

十、结构力学

(一) 结构位移计算的一般公式

$$\Delta = \sum \int (\bar{M}_k + \bar{N}_e + \bar{Q}_{\gamma_0}) ds - \sum R_k C_k$$

1. 荷载作用下各类结构的位移计算实用(简化)公式

$$(1) \text{ 梁与刚架} \quad \Delta = \sum \int \frac{\bar{M}M_p}{EI} ds$$

$$(2) \text{ 桁架} \quad \Delta = \sum \frac{\bar{N}N_p l}{EA}$$

$$(3) \text{ 桁、梁组合结构} \quad \Delta = \sum \int \frac{\bar{M}M_p}{EI} ds + \sum \frac{\bar{N}N_p l}{EA}$$

2. 温度变化时结构的位移计算公式

$$\Delta = \sum \alpha t_0 \int \bar{N} ds + \sum \frac{\alpha \Delta t}{h} \int \bar{M} ds$$

式中 $k, \epsilon, \gamma_0, C_k$ —— 结构中实际的曲率、线应变、剪应变和支座位移

$\bar{M}, \bar{N}, \bar{Q}, \bar{R}_k$ —— 单位荷载作用下引起结构内的弯矩、轴力、剪力以及移动支座上的反力;

α —— 材料线膨胀系数;

t_0 —— 截面形心轴处的温度;

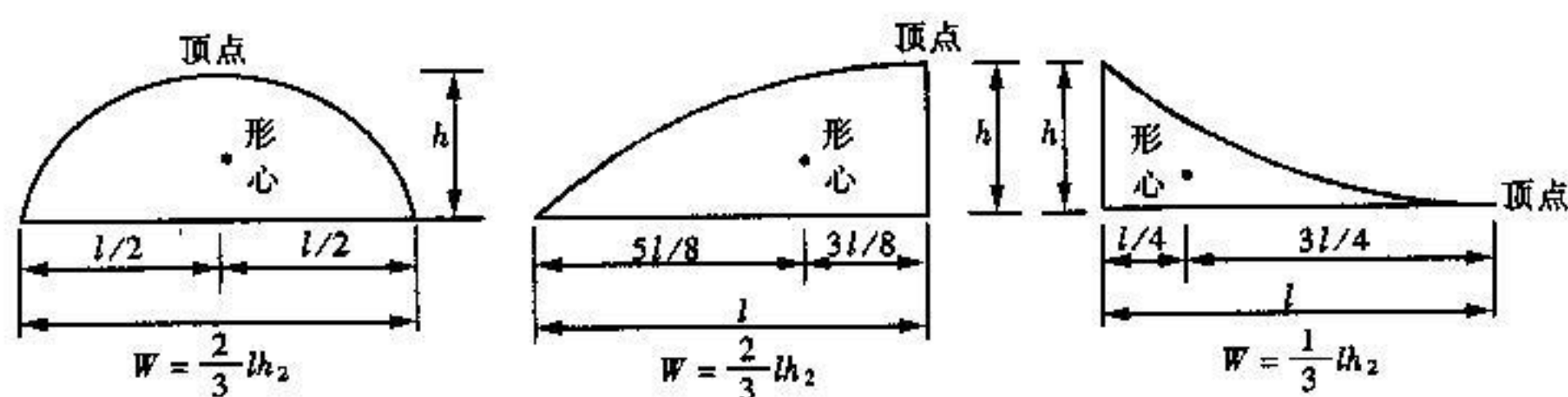
Δt —— 上、下表面温度之差;

h —— 截面高度;

E —— 弹性模量;

A, I —— 截面面积、惯性矩。

(二) 图形相乘法中二次标准抛物线图形的面积 ω 及其形心位置



(三) 结构动力计算的有关公式

1. 单自由度体系衰减振动的阻尼比(当 $\zeta < 0.2$ 时)

$$\zeta = \frac{1}{2n\pi} \ln \frac{\gamma_k}{\gamma_{k+n}} \quad (n \text{ 为周期数})$$

2. 简谐荷载作用下单自由度体系的动力系数

$$\beta = \left[\left(1 - \frac{\theta^2}{\omega^2} \right)^2 + 4\zeta^2 \frac{\theta^2}{\omega^2} \right]^{-\frac{1}{2}}$$

3. 两个自由度体系的自振频率和主振型公式

刚度法

$$\omega^2 = \frac{1}{2} \left[\left(\frac{k_{11}}{m_1} + \frac{k_{22}}{m_2} \right) \pm \sqrt{\left(\frac{k_{11}}{m_1} + \frac{k_{22}}{m_2} \right)^2 - \frac{4}{m_1 m_2} (k_{11} k_{22} - k_{12}^2)} \right]$$

柔度法

$$\lambda = \frac{1}{\omega^2} = \frac{1}{2} \left[(m_1 \delta_{11} + m_2 \delta_{22}) \pm \sqrt{(m_1 \delta_{11} + m_2 \delta_{22})^2 - 4 m_1 m_2 (\delta_{11} \delta_{22} - \delta_{12}^2)} \right]$$

第一主振型

$$\frac{Y_{11}}{Y_{21}} = - \frac{k_{12}}{k_{11} - m_1 \omega_1^2} = - \frac{m_2 \delta_{12}}{m_1 \delta_{11} - \lambda_1}$$

第二主振型

$$\frac{Y_{12}}{Y_{22}} = - \frac{k_{12}}{k_{11} - m_1 \omega_2^2} = - \frac{m_2 \delta_{12}}{m_1 \delta_{11} - \lambda_2}$$

式中

ζ ——阻尼比；

n ——周期数；

ω ——圆频率；

β ——动力系数；

θ ——简谐荷载的圆频率；

y_k, y_{k+n} ——第 k 个及 $k+n$ 个振幅；

$K_{11}, k_{22}, k_{12} = k_{21}$ ——刚度系数；

$\delta_{11}, \delta_{22}, \delta_{12} = \delta_{21}$ ——柔度系数；

$m_1 m_2$ ——两个自由度体系中的集中质量；

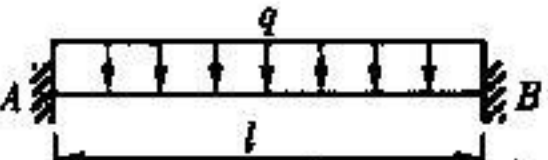
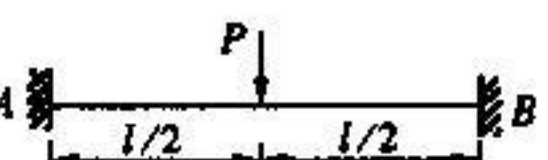
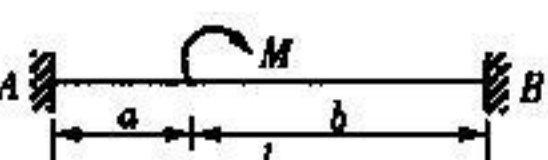
ω_1, ω_2 ——两自由度体系中两个自振频率即第一、第二圆频率；

Y_{11}, Y_{21} ——第一振型中质点 1, 2 的振幅；

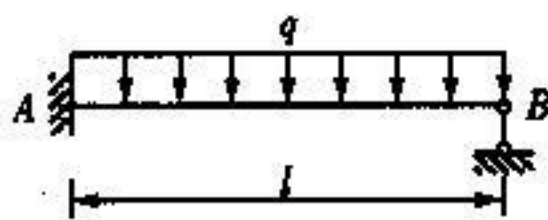
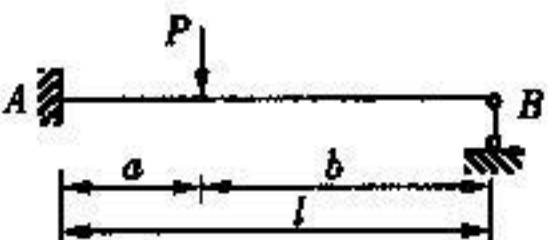
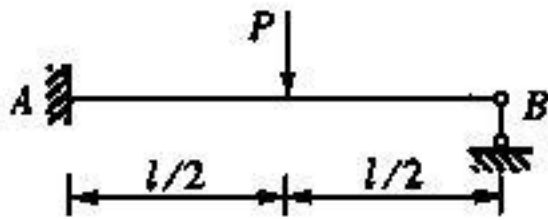
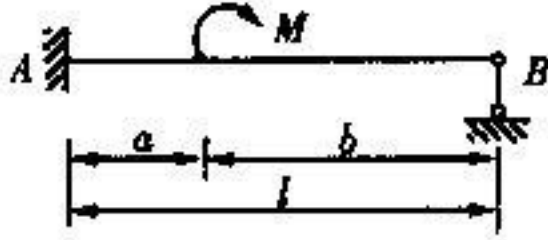
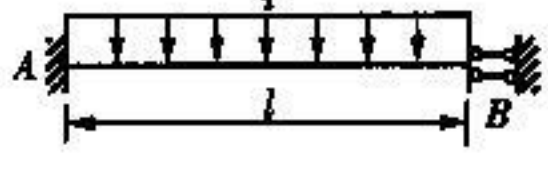
Y_{12}, Y_{22} ——第二振型中质点 1, 2 的振幅。

并且: $\lambda_1 = \frac{1}{\omega_1^2}, \lambda_2 = \frac{1}{\omega_2^2}$

(四) 等截面杆件的固端弯矩和剪力

| 情况 | 编号 | 简图 | 固端弯矩 (以顺时针转向为正) | 固端剪力 |
|------|----|--|---|---|
| 两端固定 | 1 |  | $M_{AB} = -\frac{q l^2}{12}$ $M_{BA} = +\frac{q l^2}{12}$ | $Q_{AB} = \frac{q l}{2}$ $Q_{BA} = -\frac{q l}{2}$ |
| | 2 |  | $M_{AB} = -\frac{P a b^2}{l^2}$ $M_{BA} = +\frac{P a^2 b}{l^2}$ | $Q_{AB} = \frac{P b^2}{l^2} \left(1 + \frac{2a}{l}\right)$ $Q_{BA} = -\frac{P a^2}{l^2} \left(1 + \frac{2b}{l}\right)$ |
| | 3 |  | $M_{AB} = -\frac{P l}{8}$ $M_{BA} = +\frac{P l}{8}$ | $Q_{AB} = \frac{P}{2}$ $Q_{BA} = -\frac{P}{2}$ |
| | 4 |  | $M_{AB} = \frac{M b (3a - l)}{l^2}$ $M_{BA} = +\frac{M a (3b - l)}{l^2}$ | $Q_{AB} = -\frac{6abM}{l^3}$ $Q_{BA} = +\frac{6abM}{l^3}$ |

续表

| 情况 | 编号 | 简图 | 固端弯矩(以顺时针转向为正) | 固端剪力 |
|---------------|----|--|---|--|
| 一端固定 另一端饺支 | 1 |  | $M_{AB} = -\frac{q l^2}{8}$ | $Q_{AB} = \frac{5q l}{8}$ $Q_{BA} = -\frac{3q l}{8}$ |
| | 2 |  | $M_{AB} = -\frac{Pb(l^2 - b^2)}{2l^2}$ | $Q_{AB} = \frac{Pb(3l^2 - b^2)}{2l^3}$ $Q_{BA} = -\frac{Pa^2(3l - a)}{2l^3}$ |
| | 3 |  | $M_{AB} = -\frac{3Pl}{16}$ | $Q_{AB} = \frac{11P}{16}$ $Q_{BA} = -\frac{5P}{16}$ |
| | 4 |  | $M_{AB} = \frac{l^2 - 3b^2}{2l^2}M$ | $Q_{AB} = -\frac{3(l^2 - b^2)M}{2l^3}$ $Q_{BA} = -\frac{3(l^2 - b^2)M}{2l^3}$ |
| 一端固定另端滑动支承 | 1 |  | $M_{AB} = -\frac{q l^3}{3}$ $M_{BA} = -\frac{q l^3}{6}$ | $Q_{AB} = ql$ |
| | 2 |  | $M_{AB} = -\frac{Pa(l+b)}{2l}$ $M_{BA} = -\frac{Pa^2}{2l}$ | $Q_{AB} = P$ |
| | 3 |  | $M_{AB} = -\frac{Pl}{2}$ $M_{BA} = -\frac{Pl}{2}$ | $Q_{AB} = P$ |

其中: M_{AB} —AB梁A端的弯矩, Q_{AB} —AB梁A端的剪力; M_{BA} —AB梁B端的弯矩, Q_{BA} —AB梁B端的剪力。

十一、土力学与地基基础

(一) 均布的矩形荷载角点下的竖向附加应力系数见表 11-1。

均布的矩形荷载角点下的竖向附加应力系数

表 11-1

| z/b | l/b | | | | | | | |
|-------|-------|-------|-------|-------|-------|-------|-------|-------|
| | 1.0 | 1.2 | 1.6 | 2.0 | 4.0 | 6.0 | 10.0 | 条形 |
| 0.0 | 0.250 | 0.250 | 0.250 | 0.250 | 0.250 | 0.250 | 0.250 | 0.250 |
| 0.4 | 0.240 | 0.242 | 0.243 | 0.244 | 0.244 | 0.244 | 0.244 | 0.244 |
| 0.8 | 0.200 | 0.207 | 0.215 | 0.218 | 0.220 | 0.220 | 0.220 | 0.220 |
| 1.2 | 0.152 | 0.163 | 0.176 | 0.182 | 0.188 | 0.189 | 0.189 | 0.189 |
| 1.6 | 0.112 | 0.124 | 0.140 | 0.148 | 0.159 | 0.160 | 0.160 | 0.160 |
| 2.0 | 0.084 | 0.095 | 0.110 | 0.120 | 0.135 | 0.137 | 0.137 | 0.137 |
| 2.4 | 0.064 | 0.073 | 0.088 | 0.098 | 0.116 | 0.118 | 0.119 | 0.119 |
| 2.8 | 0.050 | 0.058 | 0.071 | 0.080 | 0.100 | 0.104 | 0.105 | 0.105 |
| 3.2 | 0.040 | 0.047 | 0.058 | 0.067 | 0.087 | 0.092 | 0.093 | 0.094 |
| 3.6 | 0.033 | 0.038 | 0.048 | 0.056 | 0.076 | 0.082 | 0.084 | 0.084 |
| 4.0 | 0.027 | 0.032 | 0.040 | 0.048 | 0.067 | 0.073 | 0.076 | 0.076 |
| 5.0 | 0.018 | 0.021 | 0.027 | 0.033 | 0.050 | 0.057 | 0.061 | 0.062 |
| 6.0 | 0.013 | 0.015 | 0.020 | 0.024 | 0.039 | 0.046 | 0.051 | 0.052 |
| 8.0 | 0.007 | 0.009 | 0.011 | 0.014 | 0.025 | 0.031 | 0.037 | 0.039 |
| 10.0 | 0.005 | 0.006 | 0.007 | 0.009 | 0.017 | 0.022 | 0.028 | 0.032 |
| 20.0 | 0.001 | 0.001 | 0.002 | 0.002 | 0.005 | 0.007 | 0.010 | 0.016 |

注: l 为矩形荷载 (基础) 的长边; b 为矩形荷载 (基础) 的短边; z 为计算点离荷载作用面的竖向距离。

(二) 地基沉降的弹性力学公式

$$s = \frac{1 - \mu^2}{E_0} \omega b P_0$$

式中 b —矩形荷载 (基础) 的宽度或圆形荷载 (基础) 的直径;

μ —地基泊松比;

E_0 —地基变形模量 (或地基弹性模量 E);

P_0 —基底附加应力;

ω —沉降影响系数。

(三) 地基沉降分层总和法公式

$$s = \sum_{i=1}^n \frac{e_{1i} - e_{2i}}{1 + e_{1i}} H_i = \sum_{i=1}^n \frac{a_i(P_{2i} - P_{1i})}{1 + e_{1i}} H_i = \sum_{i=1}^n \frac{\Delta P_i}{E s_i} H_i$$

式中 H_i —第 i 分层土的厚度;

P_{1i} —第 i 分层土的自重应力平均值;

承载力修正系数

表 11-2

| 土的类别 | | η_b | η_d |
|---------------------------------|---|----------|----------|
| 淤泥和淤泥质土 | | 0 | 1.0 |
| 人工填土 e 或 I_L 大于等于 0.85 的粘性土 | | 0 | 1.0 |
| 红粘土 | 含水比 $a_w > 0.8$ | 0 | 1.2 |
| | 含水比 $a_w \leq 0.8$ | 0.15 | 1.4 |
| 大面积压实填土 | 压实系数大于 0.95、粘粒含量 $\rho_c \geq 10\%$ 的粉土 | 0 | 1.5 |
| | 最大干密度大于 $2.1 t/m^3$ 的级配砂石 | 0 | 2.0 |
| 粉土 | 粘粒含量 $\rho_c \geq 10\%$ 的粉土 | 0.3 | 1.5 |
| | 粘粒含量 $\rho_c \leq 10\%$ 的粉土 | 0.5 | 2.0 |
| e 及 I_L 均小于 0.85 的粘性土 | | 0.3 | 1.6 |
| 粉砂、细砂（不包括很湿与饱和时的稍密状态） | | 2.0 | 3.0 |
| 中砂、粗砂、砾砂和碎石土 | | 3.0 | 4.4 |

注：1 强风化和全风化的岩石，可参照所风化成的相应土类取值，其他状态下的岩石不修正；

2 地基承载力特征值按 GB50007—2002 附录 D 深层平板载荷试验确定时 η_d 取 0。

十二、结构设计

混凝土强度标准值 (N/mm^2)

表 12-1

| 强度种类 | 混凝土强度等级 | | | | | | | | | | | | | |
|----------|---------|------|------|------|------|------|------|------|------|------|------|------|------|------|
| | C15 | C20 | C25 | C30 | C35 | C40 | C45 | C50 | C55 | C60 | C65 | C70 | C75 | C80 |
| f_{ck} | 10.0 | 13.4 | 16.7 | 20.1 | 23.4 | 26.8 | 29.6 | 32.4 | 35.5 | 38.5 | 41.5 | 44.5 | 47.4 | 50.2 |
| f_u | 1.27 | 1.54 | 1.78 | 2.01 | 2.20 | 2.39 | 2.51 | 2.64 | 2.74 | 2.85 | 2.93 | 2.99 | 3.05 | 3.11 |

混凝土强度设计值 (N/mm^2)

表 12-2

| 强度种类 | 混凝土强度等级 | | | | | | | | | | | | | |
|-------|---------|------|------|------|------|------|------|------|------|------|------|------|------|------|
| | C15 | C20 | C25 | C30 | C35 | C40 | C45 | C50 | C55 | C60 | C65 | C70 | C75 | C80 |
| f_c | 7.2 | 9.6 | 11.9 | 14.3 | 16.7 | 19.1 | 21.1 | 23.1 | 25.3 | 27.5 | 29.7 | 31.8 | 33.8 | 35.9 |
| f_t | 0.91 | 1.10 | 1.27 | 1.43 | 1.57 | 1.71 | 1.80 | 1.89 | 1.96 | 2.04 | 2.09 | 2.14 | 2.18 | 2.22 |

注：1 计算现浇钢筋混凝土轴心受压及偏心受压构件时，如截面的长边或直径小于 300mm，则表中混凝土的强度设计值应乘以系数 0.8；当构件质量（如混凝土成型、截面和轴线尺寸等）确有保证时，可不受此限制；

2 离心混凝土的强度设计值应按专门标准取用。

混凝土弹性模量 ($\times 10^4 N/mm^2$)

表 12-3

| 混凝土强度等级 | C15 | C20 | C25 | C30 | C35 | C40 | C45 | C50 | C55 | C60 | C65 | C70 | C75 | C80 |
|---------|------|------|------|------|------|------|------|------|------|------|------|------|------|------|
| E_c | 2.20 | 2.55 | 2.80 | 3.00 | 3.15 | 3.25 | 3.35 | 3.45 | 3.55 | 3.60 | 3.65 | 3.70 | 3.75 | 3.80 |

普通钢筋强度标准值 (N/mm^2)

表 12-4

| 种 类 | | | | | 符号 | d (mm) | F_y | |
|------|------------------------------------|--|--|--|----|-----------------|--------|-----|
| 热轧钢筋 | HPB235 (Q235) | | | | | ϕ | 8 ~ 20 | 235 |
| | HRB335 (20MnSi) | | | | | HRB | 6 ~ 50 | 335 |
| | HRB400 (20MnSiV, 20MnSiNb, 20MnTi) | | | | | HRB400 | 6 ~ 50 | 400 |
| | RRB400 (K20MnSi) | | | | | RRB400 | 8 ~ 40 | 400 |

注：1 热轧钢筋直径 d 系指公称直径；

2 当采用直径大于 40mm 的钢筋时，应有可靠的工程经验。

预应力钢筋强度标准值 (N/mm²)

表 12-5

| 种类 | 符号 | d (mm) | f_{pk} | |
|--------|-----------|----------|---------------|--|
| 钢绞线 | 1×3 | Φ S | 8.6、10.8 | |
| | | | 12.9 | |
| | 1×7 | | 9.5、11.1、12.7 | |
| | | | 15.2 | |
| 消除应力钢丝 | 光面 螺旋肋 | Φ P | 4、5 | |
| | | | 6 | |
| | | Φ H | 7、8、9 | |
| | 刻痕 | Φ I | 5、7 | |
| 热处理钢筋 | 40Si2Mn | Φ HT | 6 | |
| | 48Si2Mn | | 8.2 | |
| | 45Si2Cr | | 10 | |

注: 1 钢绞线直径 d 系指钢绞线外接圆直径, 即现行国家标准《预应力混凝土用钢绞线》GB/T 5224 中的公称直径 D_0 , 钢丝和热处理钢筋的直径 d 均指公称直径;

2 消除应力光面钢丝直径 d 为 4~9mm, 消除应力螺旋肋钢丝直径 d 为 4~8mm。

普通钢筋强度设计值 (N/mm²)

表 12-6

| 种类 | 符号 | f_y | f_{yv} |
|------|-----------------------------------|----------------|----------|
| 热轧钢筋 | HPB 235 (Q235) | Φ | 210 |
| | HRB 335 (20MnSi) | Ⅱ | 300 |
| | HRB 400 (20MnSiV、20MnSiNb、20MnTi) | Ⅲ | 360 |
| | RRB 400 (K20MnSi) | Ⅲ _R | 360 |

注: 在钢筋混凝土结构中, 轴心受拉和小偏心受拉构件的钢筋抗拉强度设计值大于 300N/mm² 时, 仍应按 300N/mm² 取用。

预应力钢筋强度设计值 (N/mm²)

表 12-7

| 种类 | 符号 | f_{pk} | f_{py} | f_{pyv} | |
|--------|-----------|------------|----------|-----------|--|
| 钢绞线 | 1×3 | Φ S | 1860 | 1320 | |
| | | | 1720 | 1220 | |
| | | | 1570 | 1110 | |
| | 1×7 | | 1860 | 1320 | |
| | | | 1720 | 1220 | |
| 消除应力钢丝 | 光面 螺旋肋 | Φ P Φ H | 1770 | 1250 | |
| | | | 1670 | 1180 | |
| | | | 1570 | 1110 | |
| | 刻痕 | Φ I | 1570 | 1110 | |
| 热处理钢筋 | 40Si2Mn | Φ HT | 1470 | 400 | |
| | 48Si2Mn | | | | |
| | 45Si2Cr | | | | |

注: 当预应力钢绞线、钢丝的强度标准值不符合表 12-5 的规定时, 其强度设计值应进行换算。

钢筋弹性模量 ($\times 10^5 \text{ N/mm}^2$)

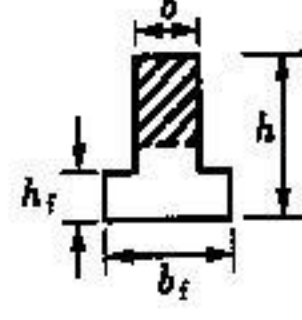
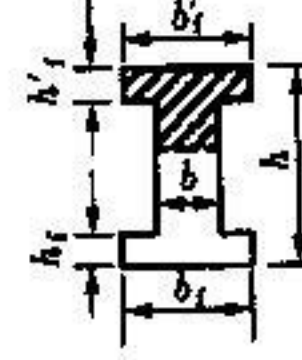
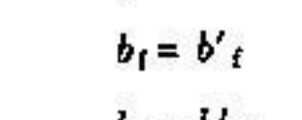
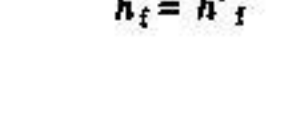
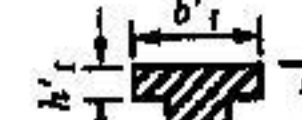
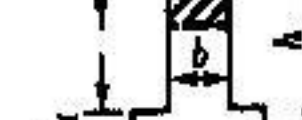
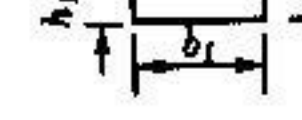
表 12-8

| 种类 | E_s |
|---|-------|
| HPB 235 级钢筋 | 2.1 |
| HRB 335 级钢筋、HRB 400 级钢筋、RRB 400 级钢筋、热处理钢筋 | 2.0 |
| 消除应力钢丝(光面钢丝、螺旋肋钢丝、刻痕钢丝) | 2.05 |
| 钢绞线 | 1.95 |

注: 必要时钢绞线可采用实测的弹性模量。

截面抵抗矩塑性系数表

表 12-9

| 截面特征 | γ_m | 截面图形 |
|--|------------|---|
| 矩形截面 | 1.75 |  |
| 翼缘位于受压区的 T 形截面 | 1.75 |  |
| 翼缘位于受拉区的 T 形截面 | 1.75 |  |
| 1) $\frac{b_f}{b} \leq 2.0$, $\frac{h_f}{h}$ 为任意值 | 1.75 | |
| 2) $\frac{b_f}{b} > 2.0$, $\frac{h_f}{h} \geq 0.2$ | 1.75 | |
| 3) $\frac{b_f}{b} > 2.0$, $\frac{h_f}{h} < 0.2$ | 1.50 | |
| 对水平轴对称的 I 形或箱形截面 | | |
| 1) $\frac{b_f}{b} \leq 2.0$, $\frac{h_f}{h}$ 为任意值 | 1.75 |  |
| 2) $2 < \frac{b_f}{b} \leq 6$, $\frac{h_f}{h}$ 为任意值 | 1.50 |  |
| 3) $\frac{b_f}{b} > 6$, $\frac{h_f}{h} \geq 0.2$ | 1.50 |  |
| 4) $6 < \frac{b_f}{b} \leq 15$, $\frac{h_f}{h} < 0.2$ | 1.25 |  |
| 5) $\frac{b_f}{b} > 15$, $\frac{h_f}{h} < 0.1$ | 1.10 |  |
| 对水平轴不对称的 I 形或箱形截面 | | |
| 1) $\frac{b'_f}{b} \leq 3$, $\frac{b_f}{b} \leq 2$, $\frac{h_f}{h}$ 为任意值 | 1.75 |  |
| 2) $\frac{b'_f}{b} \leq 3$, $2 < \frac{b_f}{b} \leq 5$, $\frac{h_f}{h}$ 为任意值 | 1.50 |  |
| 3) $\frac{b'_f}{b} \leq 3$, $\frac{b_f}{b} > 6$, $\frac{h_f}{h} > 0.1$ | 1.50 |  |
| 4) $3 < \frac{b'_f}{b} < 8$, $\frac{b_f}{b} \leq 4$, $\frac{h_f}{h}$ 为任意值 | 1.50 |  |
| 5) $3 < \frac{b'_f}{b} < 8$, $\frac{b_f}{b} > 4$, $\frac{h_f}{h} \geq 0.2$ | 1.50 |  |
| 6) $3 < \frac{b'_f}{b} < 8$, $\frac{b_f}{b} > 4$, $\frac{h_f}{h} < 0.2$ | 1.25 |  |
| 7) $\frac{b'_f}{b} \geq 8$, $\frac{h_f}{h} > 0.3$ | 1.50 |  |
| 8) $\frac{b'_f}{b} \geq 8$, $\frac{h_f}{h} \leq 0.3$ | 1.25 |  |

钢材和钢铸件的物理性能指标

表 12-11

| 弹性模量 E (N/mm ²) | 剪变模量 G (N/mm ²) | 线膨胀系数 α (以每℃计) | 质量密度 ρ (kg/m ³) |
|----------------------------------|----------------------------------|--------------------------|-------------------------------------|
| 206×10^3 | 79×10^3 | 12×10^{-6} | 7850 |

3号钢 (Q235 钢) 钢材分组尺寸 (mm)

表 12-12

| 组 别 | 圆钢、方钢和 扁钢的直径或厚度 | 角钢、工字钢和 槽钢的厚度 | 钢板的厚度 |
|-------|--------------------|------------------|----------------|
| 第 1 组 | ≤ 40 | ≤ 15 | ≤ 20 |
| 第 2 组 | $> 40 \sim 100$ | $> 15 \sim 20$ | $> 20 \sim 40$ |
| 第 3 组 | | > 20 | $> 40 \sim 50$ |

注：工字钢和槽钢的厚度系指腹板的厚度。

钢材的强度设计值 (N/mm²)

表 12-13

| 钢 号 | 组 别 | 厚度或直径 (mm) | 抗拉、抗压和抗弯 f | 抗 剪 | | 端面承压 (刨平顶紧) f_{cr} |
|----------------------|-------|---------------|-----------------|-------|-------|-----------------------------------|
| | | | | f_v | f_t | |
| 3号钢 (Q235 钢) | 第 1 组 | — | 215 | 125 | 125 | 320 |
| | 第 2 组 | — | 200 | 115 | 115 | 320 |
| | 第 3 组 | — | 190 | 110 | 110 | 320 |
| 16Mn 钢、 16Mnq 钢 | — | ≤ 16 | 315 | 185 | 185 | 445 |
| | — | $17 \sim 25$ | 300 | 175 | 175 | 425 |
| 15MnV 钢、 15MnVq 钢 | — | $26 \sim 36$ | 290 | 170 | 170 | 410 |
| | — | ≤ 16 | 350 | 205 | 205 | 450 |
| | — | $17 \sim 25$ | 335 | 195 | 195 | 435 |
| | — | $26 \sim 36$ | 320 | 185 | 185 | 415 |

注：3号镇静钢钢材的拉抗、抗压、抗弯和抗剪强度设计值，可按表中的数值增加 5%。

焊缝的强度设计值 (N/mm²)

表 12-14

| 焊接方法 和焊条型号 | 构 件 钢 材 | | | 对 接 焊 缝 | | | 角 焊 缝 | |
|--------------------------------|----------------------|-------|----------------|-------------|--------------------------------|-----|-------|-----|
| | 钢号 | 组别 | 厚度或 直径 (mm) | 抗压 f_c | 焊缝质量为下列 级别时，抗 拉和抗弯 f_t | | | |
| | | | | | 一级、 二级 | 三级 | | |
| 自动焊、半自动 焊和 E43××型 焊条的手工焊 | 3号钢 (Q235 钢) | 第 1 组 | — | 215 | 215 | 185 | 125 | 160 |
| | | 第 2 组 | — | 200 | 200 | 170 | 115 | 160 |
| | | 第 3 组 | — | 190 | 190 | 160 | 110 | 160 |
| 自动焊、半自 动焊和 E50××型 焊条的手工焊 | 16Mn 钢、 16Mnq 钢 | — | ≤ 16 | 315 | 315 | 270 | 185 | 200 |
| | | — | $17 \sim 25$ | 300 | 300 | 255 | 175 | 200 |
| | | — | $26 \sim 36$ | 290 | 290 | 245 | 170 | 200 |
| 自动焊、半自 动焊和 E55×× 型焊条的手工焊 | 15MnV 钢、 15MnVq 钢 | — | ≤ 16 | 350 | 350 | 300 | 205 | 220 |
| | | — | $17 \sim 25$ | 335 | 335 | 285 | 195 | 220 |
| | | — | $26 \sim 36$ | 320 | 320 | 270 | 185 | 220 |

注：自动焊和半自动焊所采用的焊丝和焊剂，应保证其熔敷金属抗拉强度不低于相应手工焊焊条的数值。

螺栓连接的强度设计值 (N/mm²)

表 12-15

| 螺栓的钢号 (或性能等级) 和构件的钢号 | | 构件钢材 | | 普通螺栓 | | | | | | 锚栓 | 承压型高 强度螺栓 | | |
|----------------------------|------------------------|-----------|----------------------------|---------------|---------------|-------------------|---------------|------------------------|------------------------|------------|------------------------|------------------------|---------------|
| | | | | C 级螺栓 | | | A 级、B 级螺栓 | | | | 抗剪 (I类孔) f_v^I | 承压 (I类孔) f_o^I | 抗拉 f_t^I |
| | | 组别 | 厚度 (mm) | 抗拉 f_t^I | 抗剪 f_v^I | 承压 f_o^I | 抗拉 f_t^I | 抗剪 (I类孔) f_v^I | 承压 (I类孔) f_o^I | | 抗拉 f_t^I | 抗剪 f_v^I | 承压 f_o^I |
| 普通螺栓 | 3 号钢(Q235 钢) | — | — | 170 | 130 | — | 170 | 170 | — | — | — | — | — |
| 锚栓 | 3 号钢(Q235 钢) 16Mn 钢 | — | — | — | — | — | — | — | — | 140 180 | — | — | — |
| 承压型高 强度螺栓 | 8.8 级 10.9 级 | — | — | — | — | — | — | — | — | — | 250 310 | — | — |
| 构 件 | 3 号钢(Q235 钢) | 第 1 ~ 3 组 | — | — | — | 305 | — | — | 400 | — | — | 465 | — |
| | 16Mn 钢、 16Mnq | — | ≤ 16 17 ~ 25 26 ~ 36 | — | — | 420 400 385 | — | — | 550 530 510 | — | — | 640 615 590 | — |
| | 15MnV 钢 15MnVq 钢 | — | ≤ 16 17 ~ 25 26 ~ 36 | — | — | 435 420 400 | — | — | 570 550 530 | — | — | 665 640 615 | — |
| | | | | | | | | | | | | | |

注: 孔壁质量属于下列情况者为 I 类孔:

- 1) 在装配好的构件上按设计孔径钻成的孔;
- 2) 在单个零件和构件上按设计孔径分别用钻模钻成的孔;
- 3) 在单个零件上先钻成或冲成较小的孔径, 然后在装配好的构件上再扩钻至设计孔径的孔。

砖砌体的抗压强度标准值 f_k (MPa)

表 12-16

| 砖强度等级 | 砂 浆 强 度 等 级 | | | | | 砂浆强度 |
|-------|-------------|------|------|------|------|------|
| | M15 | M10 | M7.5 | M5 | M2.5 | |
| MU30 | 6.30 | 5.23 | 4.69 | 4.15 | 3.61 | 1.84 |
| MU25 | 5.75 | 4.77 | 4.28 | 3.79 | 3.30 | 1.68 |
| MU20 | 5.15 | 4.27 | 3.83 | 3.39 | 2.95 | 1.50 |
| MU15 | 4.46 | 3.70 | 3.32 | 2.94 | 2.56 | 1.30 |
| MU10 | 3.64 | 3.02 | 2.71 | 2.40 | 2.09 | 1.07 |

烧结普通砖和烧结多孔砖砌体的抗压强度设计值 (MPa)

表 12-17

| 砖强度等级 | 砂 浆 强 度 等 级 | | | | | 砂浆强度 |
|-------|-------------|------|------|------|------|------|
| | M15 | M10 | M7.5 | M5 | M2.5 | |
| MU30 | 3.94 | 3.27 | 2.93 | 2.59 | 2.26 | 1.15 |
| MU25 | 3.60 | 2.98 | 2.68 | 2.37 | 2.06 | 1.05 |
| MU20 | 3.22 | 2.67 | 2.39 | 2.12 | 1.84 | 0.94 |
| MU15 | 2.79 | 2.31 | 2.07 | 1.83 | 1.60 | 0.82 |
| MU10 | — | 1.89 | 1.69 | 1.50 | 1.30 | 0.67 |

钢筋的计算截面面积及公称质量

钢筋的计算截面面积及公称质量表

表 12-18

| 直径 <i>d</i> mm | 不同根数钢筋的计算截面面积 (mm^2) | | | | | | | | | 单根钢筋公称质量 (kg/m) |
|----------------------|---------------------------------|------|------|------|------|------|------|-------|-------|--------------------|
| | 1 | 2 | 3 | 4 | 5 | 6 | 7 | 8 | 9 | |
| 3 | 7.1 | 14.1 | 21.2 | 28.3 | 35.3 | 42.4 | 49.5 | 56.5 | 63.6 | 0.055 |
| 4 | 12.6 | 25.1 | 37.7 | 50.2 | 62.8 | 75.4 | 87.9 | 100.5 | 113 | 0.099 |
| 5 | 19.6 | 39 | 59 | 79 | 98 | 118 | 138 | 157 | 177 | 0.154 |
| 6 | 28.3 | 57 | 85 | 113 | 142 | 170 | 198 | 226 | 255 | 0.222 |
| 6.5 | 33.2 | 66 | 100 | 133 | 166 | 199 | 232 | 265 | 299 | 0.260 |
| 8 | 50.3 | 101 | 151 | 201 | 252 | 302 | 352 | 402 | 453 | 0.395 |
| 8.2 | 52.8 | 106 | 158 | 211 | 264 | 317 | 370 | 423 | 475 | 0.432 |
| 10 | 78.5 | 157 | 236 | 314 | 393 | 471 | 550 | 628 | 707 | 0.617 |
| 12 | 113.1 | 226 | 339 | 452 | 565 | 678 | 791 | 904 | 1017 | 0.888 |
| 14 | 153.9 | 308 | 461 | 615 | 769 | 923 | 1077 | 1230 | 1387 | 1.21 |
| 16 | 201.1 | 402 | 603 | 804 | 1005 | 1206 | 1407 | 1608 | 1809 | 1.58 |
| 18 | 254.5 | 509 | 763 | 1017 | 1272 | 1526 | 1780 | 2036 | 2290 | 2.00 |
| 20 | 314.2 | 628 | 941 | 1256 | 1570 | 1884 | 2200 | 2513 | 2827 | 2.47 |
| 22 | 380.1 | 760 | 1140 | 1520 | 1900 | 2281 | 2661 | 3041 | 3421 | 2.98 |
| 25 | 490.9 | 982 | 1473 | 1964 | 2454 | 2945 | 3436 | 3927 | 4418 | 3.85 |
| 28 | 615.3 | 1232 | 1847 | 2463 | 3079 | 3695 | 4310 | 4926 | 5542 | 4.83 |
| 32 | 804.3 | 1609 | 2418 | 3217 | 4021 | 4826 | 5630 | 6434 | 7238 | 6.31 |
| 36 | 1017.9 | 2036 | 3054 | 4072 | 5089 | 6107 | 7125 | 8143 | 9161 | 7.99 |
| 40 | 1256.1 | 2513 | 3770 | 5027 | 6283 | 7540 | 8796 | 10053 | 11310 | 9.87 |

注：表中直径 $d = 8.2\text{mm}$ 的计算截面面积及公称质量仅适用于有纵肋的热处理钢筋。

十三、建筑施工与管理

1. 用“相当梁法”计算板桩的计算假定

用相当梁法计算板桩的计算图式（图 13-1）：

$$A = \gamma t_0 \tan^2 \left(45^\circ + \frac{\phi}{2} \right) \quad B = \gamma (H - t_0) \tan^2 \left(45^\circ - \frac{\phi}{2} \right)$$

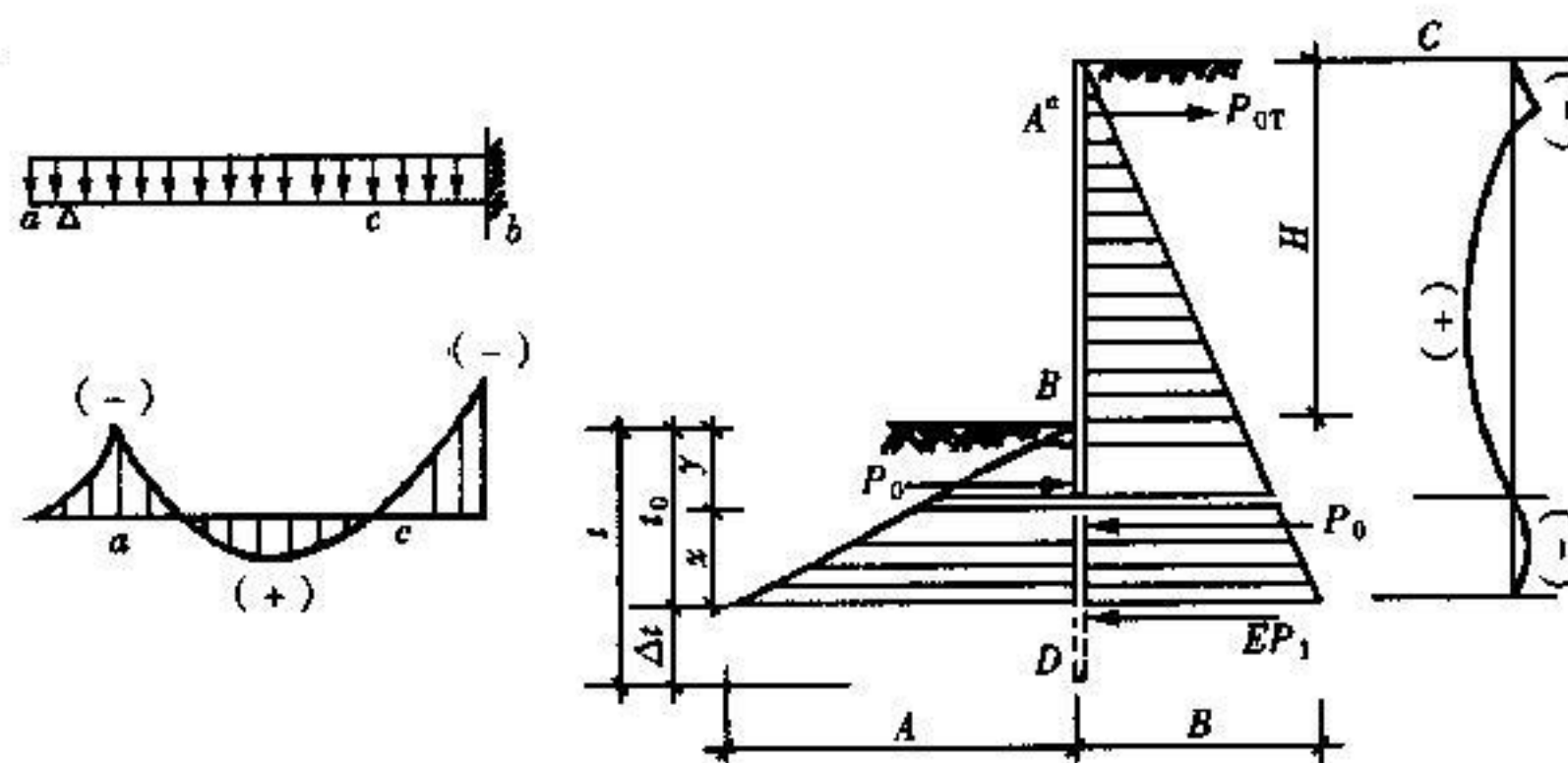


图 13-1

2. 无压完整井的环状井点系统的涌水量

计算公式：

$$Q = 1.366K \frac{(2H - S)S}{\lg R - \lg x_0}$$

式中 Q ——井点系统的涌水量 (m^3/d);

K ——土壤的渗透系数 (m/d), 可以由实验室或现场抽水试验确定;

H ——含水层厚度 (m);

S ——水位降低值 (m);

R ——抽水影响半径 (m), 常用下式计算:

$$R = 1.95S \sqrt{HK} (\text{m})$$

x_0 ——环状井点系统的假想半径 (m), 可按下式计算:

$$x_0 = \sqrt{\frac{F}{\pi}} (\text{m})$$

式中 F ——环状井点系统所包围的面积 (m^2)。

3. 承压完整井环状井点涌水量

计算公式:

$$Q = 2.73K \frac{MS}{\lg R - \lg x_0} (\text{m}^3/\text{d})$$

式中 M ——承压含水层厚度; K, R, x_0, S ——与上式相同。

4. 单根井管的最大出水量

计算公式:

$$q = 65\pi dl \sqrt[3]{K} (\text{m}^3/\text{d})$$

式中 d ——滤管直径 (m);

l ——滤管长度 (m);

K ——渗透系数 (m/d)。

5. 井点最少数量

中点最少数量由下式确定:

$$n' = \frac{Q}{q} (\text{根})$$

6. 井点管最大间距

井点最大间距由下式得:

$$D' = \frac{L}{n'} (\text{m})$$

式中 L ——总管长度 (m);

n' ——井点管最少根数。

7. 采用内部振动器

采用内部振动器时, 新浇筑的普通混凝土作用于模板上的最大侧压力可按下列二式计算, 取其中的较小值:

$$F = 0.22\gamma_c t_0 \beta_1 \beta_2 V^{1/2}$$

$$F = \gamma_c H$$

式中 F ——新浇筑混凝土对模板的最大侧压力 (kN/m^2);

V ——混凝土的浇筑速度 (m/h);

γ_c ——混凝土的重力密度 (N/m^3);

t_0 ——新浇混凝土的初凝时间 (h), 可按实测确定。当缺乏试验资料时, 可采用 $t_0 = 200 / (T + 15)$ 计算 (T 为混凝土的温度 $^{\circ}\text{C}$);

H ——混凝土侧压力计算位置处至新浇混凝土顶面的总高度 (m);

β_1 ——外加剂影响修正系数, 不掺外加剂时取 1.0, 掺加具有缓凝作用的外加剂时取 1.2;

β_2 ——混凝土坍落度修正系数, 当坍落度小于 30mm 时, 取 0.85; 50~90mm 时, 取 1.0; 110~150mm 时, 取 1.15。

8. 浇筑大体积混凝土

浇筑大体积混凝土时, 为保证混凝土整体性, 混凝土单位时间的最小浇筑量公式:

$$Q = F \cdot H / T (\text{m}^3/\text{h})$$

式中 Q ——混凝土最小浇筑量 (m^3/h);

F ——混凝土浇筑区的面积 (m^2);

H ——浇筑层厚度 (m);

T ——下层混凝土从开始浇筑到初凝为止所容许的时间间隔 (h)。

9. 钢筋冷拉设备的冷拉能力

计算公式:

$$Q = \frac{10S}{K'} - F$$

$$K' = \frac{f^{n-1}(n-1)}{f^n - 1}$$

式中 Q ——冷拉设备冷拉能力 (kN);

S ——卷扬机吨位 (t);

F ——设备阻力 (kN);

K' ——滑轮组的省力系数;

f ——单个滑轮的阻力系数;

n ——滑轮组的工作线数。

10. 预应力筋的成品长度 (即预应力筋和螺丝端杆对焊并经冷拉后的全长) L_1 :

$$L_1 = l + 2l_2$$